

(19)



Евразийское
патентное
ведомство

(21)

201592049

(13)

A1

(12) ОПИСАНИЕ ИЗОБРЕТЕНИЯ К ЕВРАЗИЙСКОЙ ЗАЯВКЕ

(43) Дата публикации заявки
2016.04.29

(51) Int. Cl. A61K 39/395 (2006.01)
A61K 39/00 (2006.01)
C12P 21/08 (2006.01)

(22) Дата подачи заявки
2014.05.28

(54) АНТИТЕЛО С "ЗАПИРАЮЩИМИ" СВОЙСТВАМИ ДЛЯ ИНАКТИВАЦИИ ЛЕКАРСТВА БЕЛКОВОГО ПРОИСХОЖДЕНИЯ

(31) 61/827,763

(32) 2013.05.28

(33) US

(86) PCT/US2014/039821

(87) WO 2014/193973 2014.12.04

(88) 2015.02.19

(71) Заявитель:

ДиЭсБи-ЮЭсЭй ЛЛК (US); ГАОСЮН
МЕДИКЛ ЮНИВЕРСИТИ (TW)

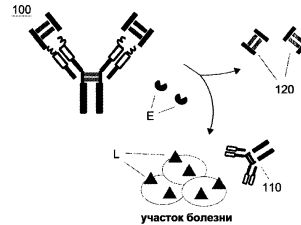
(72) Изобретатель:

Чэн Тянь-Лу, Чуан Чи-Хун, Ко Хсюо-
Фень, Люй Юнь-Чи (TW)

(74) Представитель:

Клюкин В.А. (RU)

(57) Данное изобретение предусматривает антитело с шарнирной областью, способное селективно активироваться в клетке-мишени или в ткани-мишени для лечения заболевания. Антитело с шарнирной областью включает функциональное антитело, два ингибиторных домена и четыре отщепляемых линкера. Функциональное антитело в активированном состоянии способно к лечению указанного заболевания и содержит две лёгкие цепи и две тяжёлые цепи. Каждый ингибиторный домен включает шарнирный домен иммуноглобулина и состоит из двух пептидных плечей. Каждый отщепляемый линкер включает пептидный субстрат, расщепляемый ферментом, который специфически или с высокой степенью экспрессирован в клетке-мишени или в ткани-мишени и соединяет одно из пептидных плеч ингибиторных доменов с N-концом одной из лёгких цепей и тяжёлых цепей функционального антитела. Предусмотрены также способы получения и применения антитела с шарнирной областью по изобретению.



A1

201592049

201592049

A1

АНТИТЕЛО С “ЗАПИРАЮЩИМИ” СВОЙСТВАМИ ДЛЯ ИНАКТИВАЦИИ ЛЕКАРСТВА БЕЛКОВОГО ПРОИСХОЖДЕНИЯ

СВЕДЕНИЯ О ПРЕДШЕСТВУЮЩЕМ УРОВНЕ ТЕХНИКИ

[0001] 1. ОБЛАСТЬ ТЕХНИКИ, К КОТОРОЙ ОТНОСИТСЯ ИЗОБРЕТЕНИЕ

[0002] Настоящее изобретение относится, в общем, к молекулам на основе антител, пригодным в качестве терапевтических агентов при лечении различных заболеваний. Более конкретно, данное изобретение относится к антителам с шарнирными областями, которые селективно активированы в клетке-мишени или в ткани-мишени для того, чтобы осуществлять лечение заболеваний.

[0003] 2. ОПИСАНИЕ УРОВНЯ ТЕХНИКИ

[0004] Терапевтические агенты на основе антител, включая моноклональные антитела, появляются как один из основных классов лекарств, являющихся эффективными при лечении различных заболеваний. Из 10 лекарств, занимавших первые места при продаже в мере в 2012 г., пять относились к терапевтическим антителам, включая HUMIRA™, REMICADE™, RITUXANTM, HERCEPTINTM и AVASTINTM. Указанные пять лекарств принесли прибыль, превысившую 45 миллиардов долларов во всём мире, что составило примерно 60 % от прибыли, которую в этом году принесла продажа терапевтических агентов на основе антител во всём мире. Ожидается, что их мировая продажа будет непрерывно расти, так как расширяется одобренное применение существующих продуктов. и новые лекарства появляются на рынке.

[0005] Хотя указанная область продолжает развиваться, многочисленные проблемы препятствуют более эффективному и разрешённому появлению кандидатов на основе антител на рынке. Одной из проблем, связанных с имеющимися в настоящее время терапевтическими агентами на основе антител, является их недостаточная селективность к участку их действия. Моноклональные антитела и растворимые белки слияния являются специфическими при связывании с молекулярными мишениями (такими как антигены и рецепторы на поверхности клеток) и их нейтрализации. Однако большинство молекулярных мишеней не является специфическим к участку заболевания, скорее, они могут находиться в клетках и тканях, которые не являются участками заболевания. Соответственно, терапевтический агент может действовать в этих здоровых нормальных клетках или тканях. Это побочное (нечелевое) действие может привести к нежелательным побочным эффектам. Следовательно, желательно создание терапевтических агентов направленного действия на основе антител.

[0006] Одной из возможных схем, которая позволяет избежать побочного действия и повысить селективность, является разработка проантител, активируемых в сайте-

мишени. Например, в патенте США № 8,399,219 и опубликованной заявке США на патент № 2010/0189651 описаны активируемые протеазой антитела, которые модифицированы пептидной “маской” или маскирующим фрагментом. В этих документах для скрининга пептидов или фрагментов, способных к ингибиции/восстановлению связывания функционального антитела с его мишенью, используется техника фагового дисплея. Однако маскирующие молекулы, полученные этими методами, не могут применяться универсально для всех антител, для которых они идентифицируются на основе их ингибиторной способности в отношении специфической мишени. Следовательно, при использовании этого подхода необходимо получать маскирующую молекулу для каждого терапевтического агента на основе антитела, что требует значительного времени, является дорогим и сложным. Кроме того, введение маскирующих фрагментов приводит к риску индукции нежелательного иммунного ответа у субъекта.

[0007] Похожий подход описан в опубликованной заявке США на патент № 2010/0189727, в которой предлагается маскирующий лиганд, нековалентно связанный с антиген-связывающим сайтом антитела с инактивацией антитела. В частности, маскирующий лиганд содержит две копии эпитопа антигена, с которым специфически связывается антитело, и отщепляемый полипептидный линкер, присоединённый к каждой копии эпитопа. Как и в случае техники фагового дисплея, описанной выше, необходимо также специально получать маскирующий лиганд для каждого антитела, и, следовательно, создание такого инактивированного антитела также требует много времени и больших расходов. Кроме того, поскольку маскирующий лиганд имеет высокое сродство к терапевтическому антителу, могут быть некоторые маскирующие лиганды, присоединённые к антителу после отщепления полипептидного отщепляемого линкера. Эти остаточные маскирующие лиганды могут препятствовать терапевтическому действию антитела.

[0008] Ввиду вышесказанного, в уровне техники существует необходимость в создания следующего поколения терапевтических агентов, которые тщательно разработаны и созданы для того, чтобы они обладали такими свойствами, как повышенная селективность сайта действия, а также повышенная эффективность. Кроме того, такие схемы разработки и создания должны применяться для широкого круга терапевтических агентов на основе антител и не должны вызывать нежелательного иммунного ответа.

СУЩНОСТЬ ИЗОБРЕТЕНИЯ

[0009] Ниже излагается упрощённая сущность данного изобретения для того, чтобы обеспечить читателю основное понимание изобретения. Это изложение сущности не является исчерпывающим обзором данного изобретения и в нём не идентифицированы

ключевые/критические элементы настоящего изобретения или не определён объём изобретения. Единственная цель этого изложения состоит в представлении некоторых концепций, которые описаны в упрощённом виде как прелюдия к более подробному описанию, которое приведено ниже.

[0010] Согласно одному из аспектов данное изобретение предусматривает антитело с шарнирной областью. Этот терапевтический агент на основе антитела способен селективно активироваться в клетке-мишени или ткани-мишени для лечения заболевания в клетке-мишени или ткани-мишени.

[0011] Согласно различным вариантам данного изобретения антитело с шарнирной областью включает функциональное антитело, два ингибиторных домена и четыре отщепляемых линкера. Функциональное антитело способно к лечению заболевания в активированном состоянии и включает две лёгких цепи и две тяжёлых цепи. Каждый из двух ингибиторных доменов состоит из двух пептидных “плечей”, связанных друг с другом дисульфидными связями. Каждый из четырёх отщепляемых линкеров включает пептидный субстрат, расщепляемый ферментом, который специфически или высоко экспрессирован в клетке-мишени или в ткани-мишени. Каждый отщепляемый линкер соединяет одно из двух пептидных плечей двух ингибиторных доменов с N-концами одной или двух лёгких цепей и двух тяжёлых цепей в функциональном антителе.

[0012] В соответствии с некоторыми вариантами данного изобретения каждый из двух ингибиторных доменов представляет собой домен, содержащий шарнирную область иммуноглобулина A (IgA), иммуноглобулина D или иммуноглобулина G (IgG) или фрагмент такого домена с шарнирной областью. Например, ингибиторный домен может включать любую из следующих последовательностей: SEQ ID Nos. 10, 11, 12 и 13 в IgG, 14 и 15 в IgA, и 54 и 55 в IgD.

[0013] Согласно возможным вариантам функциональное антитело представляет собой антитело к TNF- α , антитело к RANKL, антитело к CTLA-4, антитело к HER2, антитело к EGFR, антитело к VEGF, антитело к VEGFR2, антитело к IL6R, антитело к IL12/23, антитело к CD3, антитело к CD11a, антитело к CD20, антитело к CD25, антитело к CD30, антитело к CD33 или антитело к CD52. Например, аминокислотная последовательность лёгкой цепи функционального антитела является любой из аминокислотных последовательностей SEQ ID Nos. 1, 2, 3, 4, 5, 6, 7, 8 и 9; в то время как аминокислотная последовательность тяжёлой цепи функционального антитела является любой из аминокислотных последовательностей SEQ ID Nos. 58, 59, 60, 61, 62, 63, 64, 65 и 66.

[0014] Согласно некоторым вариантам пептидный субстрат расщепляется любым из следующих ферментов: матриксной металлопротеиназой (ММР), катепсином (CTS), каспазой (CASP) или дисинтегрином и металлопротеиназой (ADAM). Например, согласно некоторым вариантам фермент представляет собой ММР-2 или ММР-9, и каждый отщепляемый линкер содержит аминокислотную последовательность SEQ ID No. 16.

[0015] Согласно некоторым вариантам настоящего изобретения функциональное антитело представляет собой антитело к TNF- α , которое содержит лёгкую цепь, имеющую аминокислотную последовательность SEQ ID No. 1, и тяжёлую цепь, имеющую аминокислотную последовательность SEQ ID No. 58, при этом каждый из отщепляемых линкеров содержит аминокислотную последовательность SEQ ID No. 16; и каждый из ингибиторных доменов содержит аминокислотную последовательность SEQ ID No. 10.

[0016] Согласно другому аспекту настоящее изобретение относится к экспрессионной системе для получения антител с шарнирной областью в соответствии с указанными выше аспектами/вариантами данного изобретения.

[0017] Согласно различным вариантам настоящего изобретения экспрессионная система включает последовательность первой нуклеиновой кислоты и последовательность второй нуклеиновой кислоты. Последовательность первой нуклеиновой кислоты содержит, в направлении от 5'-конца к 3'-концу, область, кодирующую первый ингибиторный домен, область, кодирующую первый отщепляемый линкер, и область, кодирующую первое пептидное плечо. Область, кодирующая первый ингибиторный домен, кодирует первое пептидное плечо ингибиторного домена любого из описанных выше антител. Область, кодирующая первый отщепляемый линкер, кодирует отщепляемый линкер упомянутого выше антитела с шарнирной областью, и отщепляемый линкер является пептидным субстратом, который расщепляется ферментом, который экспрессирован специфически или высоко в клетке-мишени или в ткани-мишени. Область, кодирующая лёгкую цепь функционального антитела, кодирует лёгкую цепь упомянутого выше антитела с шарнирной областью, в котором функциональное антитело способно к лечению в активированном состоянии. Вторая последовательность нуклеиновой кислоты, содержит, в направлении от 5'-конца к 3'-концу, область, кодирующую второй ингибиторный домен, область, кодирующую второй отщепляемый линкер, и область, кодирующую второе пептидное плечо ингибиторного домена антитела с шарнирной областью. Область, кодирующая второй отщепляемый линкер, кодирует отщепляемый линкер антитела с шарнирной областью. Область, кодирующая тяжёлую цепь, кодирует тяжёлую цепь функционального антитела в антителе с шарнирной областью.

[0018] Согласно некоторым возможным вариантам данного изобретения первая и вторая последовательности нуклеиновой кислоты могут быть встроены в один экспрессионный вектор. Например, экспрессионная система может также содержать соединяющую последовательность нуклеиновой кислоты, которая соединяет последовательность первой нуклеиновой кислоты и последовательность второй нуклеиновой кислоты. Неограничивающие примеры соединяющей последовательности нуклеиновой кислоты включают последовательность, кодирующую полипептид фурин-2A или последовательность участка внутренней посадки рибосомы (IRES).

[0019] В случае, когда последовательности первой и второй нуклеиновой кислоты встроены в один экспрессионный вектор, экспрессионная система может также необязательно включать регуляторную последовательность, функционально соединённую с последовательностью первой нуклеиновой кислоты и последовательностью второй нуклеиновой кислоты таким образом, чтобы регулировать трансляцию последовательности первой нуклеиновой кислоты, последовательности второй нуклеиновой кислоты и необязательно последовательности соединяющей нуклеиновой кислоты в клетке-хозяине. Альтернативно, экспрессионная система может включать по меньшей мере две отдельных регуляторных последовательности, функционально соединённые с последовательностью первой нуклеиновой кислоты и последовательностью второй нуклеиновой кислоты, соответственно, для осуществления индивидуальной регуляции экспрессии последовательности первой и второй нуклеиновой кислоты.

[0020] Согласно некоторым другим вариантам последовательности первой и второй нуклеиновой кислоты могут быть встроены в два отдельных экспрессионных вектора. Например, последовательность первой нуклеиновой кислоты вместе с функционально связанный первой регуляторной последовательностью встраивается в первый экспрессионный вектор, в то время как последовательностью второй нуклеиновой кислоты вместе с функционально связанный второй регуляторной последовательностью встраивается во второй экспрессионный вектор. Первый и второй экспрессионные векторы могут быть затем доставлены и экспрессированы в одной и той же клетке-хозяине или в разных клетках хозяина.

[0021] Согласно некоторым вариантам настоящего изобретения ингибиторный домен представляет собой шарнирный домен иммуноглобулина A (IgA), иммуноглобулина D или иммуноглобулина G (IgG) или фрагмент этого шарнирного домена.

[0022] Согласно различным вариантам настоящего изобретения экспрессионная система кодирует любое из упомянутых выше антител с шарнирной областью. Например, когда экспрессионная система создаётся одной конструкцией, последовательность нуклеиновой кислоты конструкции может быть любой из SEQ ID Nos. 17, 18, 19, 20, 21, 22, 23, 24, 25, 26, 27, 28, 29, 30, 31, 32, 33, 34, 35, 36, 37, 38, 39, 40, 41, 42, 43, 44, 45, 46, 47, 48, 49 и 50. В случае, когда экспрессионная система создаётся как двухвекторная (или двухплазмидная) система, последовательность первой нуклеиновой кислоты представляет собой любую из SEQ ID Nos. 67, 69, 71, 73, 75 и 77; в то время как последовательность второй нуклеиновой кислоты представляет собой любую из SEQ ID Nos. 68, 70, 72, 74, 76 и 78.

[0023] Согласно ещё одному аспекту данное изобретение относится к рекомбинантному вектору, пригодному для получения антител с шарнирной областью в соответствии с описанными выше аспектами/вариантами настоящего изобретения.

[0024] Согласно некоторым вариантам настоящего изобретения рекомбинантный вектор включает молекулу синтетической нуклеиновой кислоты в соответствии с описанными выше аспектами/вариантами настоящего изобретения, и одну или более регуляторных последовательностей, функционально соединённых с молекулой синтетической нуклеиновой кислоты таким образом, что вектор в подходящих условиях и в подходящей клетке- хозяине способен к экспрессии антитела с шарнирной областью в соответствии с описанными выше аспектами/вариантами настоящего изобретения.

[0025] Согласно ещё одному аспекту настоящее изобретение относится к способу лечения субъекта, в частности, субъекта, больного раком или аутоиммунным заболеванием.

[0026] Согласно некоторым вариантам настоящего изобретения такой способ включает введение субъекту терапевтически эффективного количества антител с шарнирными областями в соответствии с описанными выше аспектами/вариантами настоящего изобретения. Например, антитело с шарнирной областью может быть введено субъекту перорально, подкожно, внутривенно, внутритечально или внутримышечно.

[0027] Многие из признаков и преимуществ настоящего изобретения станут более понятными после ознакомления со следующим подробным описанием, рассматриваемым вместе с прилагаемыми рисунками.

КРАТКОЕ ОПИСАНИЕ РИСУНКОВ

[0028] Данное изобретение будет легче понять из следующего подробного описания в свете прилагаемых рисунков, где:

[0029] Фигура 1 представляет собой схематическую диаграмму, иллюстрирующую структуру антитела с шарнирной областью согласно некоторым вариантам данного изобретения;

[0030] Фигура 2 представляет собой схематическую диаграмму, иллюстрирующую схему конструирования антитела с шарнирной областью согласно некоторым вариантам данного изобретения;

[0031] Фигура 3 представляет собой схематическую диаграмму, иллюстрирующую молекулу нуклеиновой кислоты, кодирующей антитело с шарнирной областью согласно некоторым вариантам данного изобретения;

[0032] Фигура 4 представляет собой схематическую диаграмму, иллюстрирующую полную структуру антитела с шарнирной областью согласно некоторым вариантам данного изобретения;

[0033] Фигура 5 показывает фотографию геля SDS PAGE согласно одному примеру выполнения данного изобретения;

[0034] Фигура 6 показывает фотографию двух гелей SDS PAGE согласно одному примеру выполнения данного изобретения;

[0035] Фигура 7 отражает столбчатый график, иллюстрирующий способность к связыванию различных антител согласно одному примеру выполнения данного изобретения;

[0036] Фигура 8 отражает столбчатый график, иллюстрирующий сигнал TNF- α согласно одному примеру выполнения данного изобретения;

[0037] Фигура 9 отражает столбчатый график, иллюстрирующий способность к связыванию различных антител согласно другому примеру выполнения данного изобретения;

[0038] На Фигуре 10 приведён столбчатый график, иллюстрирующий способность к связыванию различных антител согласно ещё одному примеру выполнения данного изобретения;

[0039] На Фигуре 11 показаны фотографии, иллюстрирующие *in vivo* локализацию и активацию антитела к α EGFR с шарнирной областью на участке опухоли у мышей согласно одному примеру выполнения данного изобретения; и

[0040] На Фигуре 12 приведён график, показывающий *in vivo* противовоспалительное действие антитела к TNF α с шарнирной областью в случае артрита, индуцированного коллагеном.

[0041] В соответствии с общепринятой практикой различные описанные признаки/элементы показаны не в масштабе, а изображены для лучшей иллюстрации

конкретных признаков/элементов, относящихся к данному изобретению. Позиции и обозначения на различных Фигурах использованы для указания похожих частей/элементов.

СВЕДЕНИЯ, ПОДТВЕРЖДАЮЩИЕ ВОЗМОЖНОСТЬ ОСУЩЕСТВЛЕНИЯ ИЗОБРЕТЕНИЯ

[0042] Подробное описание, приводимое ниже, вместе с описанием Фигур предназначено для описания примеров и не представляет собой единственную форму осуществления или использования изобретения. Описание иллюстрирует проведение примеров и последовательность стадий осуществления примера. Однако в различных примерах могут быть применены одинаковые или эквивалентные функции и последовательности.

[0043] Для удобства некоторые термины, применяемые в описании, примерах и прилагаемой формуле изобретения, приведены в данном разделе. Если не указано иное, все технические и научные термины, используемые в данной заявке, имеют то же самое значение, которое является общепринятым для специалиста в данной области, к которой относится данное изобретение.

[0044] Если в данной заявке не указано иное, технические и научные термины, используемые в данной заявке, будут иметь значение, которое является понятным и применяемым средним специалистом в данной области. Если в контексте не требуется иное, следует иметь в виду, что термины в единственном числе будут включать множественные формы этих терминов, и термины во множественном числе будут включать единственное число. Конкретно, термины, используемые в единственном числе в описании и в формуле изобретения, включают термины во множественном числе, если из контекста не следует иное. Используемые в описании и в формуле изобретения термины “по меньшей мере один” и “один или более” имеют то же значение и включают один, два, три или более элементов.

[0045] Несмотря на то, что численные интервалы и параметры, представляющие широкий объём изобретения, являются приблизительными, численные величины, указанные в конкретных примерах, приведены как имеющие возможно точное значение. Однако любой численной величине присуща некоторая ошибка, которая с необходимостью вытекает из стандартного отклонения при проведении соответствующих измерений. Используемый в данной заявке термин “примерно” обычно означает отклонение равное 10 %, 5 %, 1 % или 0.5 % от данной величины или интервала. Альтернативно, термин “примерно” означает приемлемую стандартную ошибку среднего значения при рассмотрении его специалистом в данной области.

[0046] Термин “терапевтический агент на основе антитела” означает терапевтический агент, который ингибитирует фармакологическое действие эндогенных белков или патогенов в организме человека. Указанный “терапевтический агент”, когда он содержится в терапевтически эффективном количестве, приводит к получению желательного терапевтического эффекта у субъекта. Для целей данного изобретения терапевтические агенты на основе антитела охватывают антитела и белки слияния, которые являются высоко специфическими при связывании молекул-мишеней или при их нейтрализации.

[0047] Термин “антитело”, используемый в данной заявке, включает полноразмерные антитела и любой их антиген-связывающий фрагмент или их одиночные цепи. Основной функциональной единицей каждого антитела является мономер иммуноглобулина, который представляет собой молекулу Y-образной формы, состоящую из двух тяжёлых цепей и двух лёгких цепей, связанных друг с другом дисульфидными связями. Термин “функциональное антитело” охватывает полноразмерное антитело или один или более фрагментов антитела, которые сохраняют способность антитела к специальному связыванию; примеры таких функциональных фрагментов включают Fab (антиген-связывающий фрагмент), Fv (вариабельный фрагмент), а также F(ab')₂, Fab', scFv (вариабельный фрагмент одиночной цепи) и т. п. Антитело может быть моноклональным или поликлональным и может быть антителом человеческого или не человеческого происхождения или химерным белком.

[0048] В данной заявке термин “отщепляемый линкер” представляет собой пептидный субстрат, расщепляемый ферментом. При этом отщепляемый линкер, будучи расщеплённым ферментом, обеспечивает активацию данной шарнирной молекулы антитела. Предпочтительно, если отщепляемый линкер выбирается таким образом, чтобы активация возникала на желательном участке действия, который может быть сайтом или располагаться вблизи клеток-мишеней (например, клеток карциномы) или тканей-мишеней. Например, отщепляемый линкер является пептидным субстратом, специфическим по отношению к ферменту, который специфически или с высокой степенью экспрессирован на участке действия так, что скорость расщепления отщепляемого линкера на участке-мишени больше, чем в других местах, отличных от участка-мишени.

[0049] Термин “лиганд” означает любую молекулу, которая специфически связывается или реактивно ассоциируется или образует комплексы с рецептором, субстратом, антигенной детерминантой или другим сайтом связывания на клетке или в тканях-мишениях. Примеры лигандов включают антитела и их фрагменты (например,

моно克лональное антитело или его фрагмент), ферменты (например, фибринолитические ферменты), модификаторы биологического ответа (например, интерлейкины, интерфероны, эритропоэтин или колониестимулирующие факторы), пептидные гормоны и их антиген-связывающие фрагменты.

[0050] Применяемый в данной заявке термин "нуклеиновая кислота" обозначает одно- и двухнитевую РНК, мРНК и ДНК, включая кДНК и геномную ДНК. Если иное не оговорено, конкретная последовательность нукleinовой кислоты также охватывает её консервативно модифицированные варианты (например, замены в вырождённом кодоне) и комплементарные последовательности, а также конкретно указанную последовательность. Левый конец последовательностей однонитевого полинуклеотида является 5'-концом, направление последовательностей двухнитевого полинуклеотида влево называется направлением в сторону 5'-конца, если не оговаривается иное.

[0051] Термины "полипептид", "пептид" и "белок" используются как взаимозаменяемые для названия полимера аминокислотных остатков. Эти термины охватывают также термин "антитело". Термин "аминокислота" относится к аминокислотам природного происхождения и к синтетическим аминокислотам, а также к аналогам аминокислот и миметикам аминокислот, которые действуют образом, похожим на действие аминокислот природного происхождения. В полипептидах, используемых в данной заявке, в соответствии со стандартным применением и соглашением направление влево является направлением в сторону (N)-конца с аминогруппой и направление вправо является направлением в сторону (C)-конца с карбоксильной группой.

[0052] По всему тексту данной заявки термин "синтетическая" нуклеиновая кислота или аминокислота означает последовательность нукleinовой кислоты или аминокислоты, которая не обнаружена в природе. Подразумевается, что синтетические последовательности, сконструированные способом по изобретению, включены в данное изобретение в любой форме, например, читаемые на бумаге или в компьютере и это могут быть физически полученные нукleinовые кислоты и полипептиды. Физически полученные нукleinовые кислоты и полипептиды по изобретению составляют часть настоящего изобретения, независимо от того, получены ли они непосредственно из обозначенной последовательности или из копий таких последовательностей (например, получены методом ПЦР (PCR), репликацией плазмиды, химическим синтезом и т. п.). Термин "синтетическая нукleinовая кислота" может включать, например, последовательности нукleinовых кислот, полученные или сконструированные из полностью искусственных аминокислотных последовательностей или последовательностей нукleinовых кислот с единичными или множественными

нуклеотидными заменами по сравнению с последовательностью природного происхождения, созданными путём случайного или направленного мутагенеза, химического синтеза, методами шаффлинга (перестановки) в ДНК, методами вторичной сборки ДНК или любым способом, известным специалисту в данной области. Такие изменения могут быть сделаны без изменения аминокислотной последовательности, кодированной последовательностью нуклеиновой кислоты, или могут модифицировать аминокислотную последовательность для того, чтобы оставить желательную функцию кодированного белка неизменной или улучшенной.

[0053] Используемый в данной заявке термин "вектор" относится к молекулам (например, это могут быть фаг, плазмида, вирусные векторы, а также искусственные хромосомы, такие как бактериальные и дрожжевые искусственные хромосомы, используемые для передачи генетического материала в клетку-хозяина). Вектор может состоять или из ДНК, или из РНК. Вектор может быть введён в клетку-хозяина различными методами, хорошо известными из уровня техники. Регуляторная последовательность вектора представляет собой последовательность нуклеиновой кислоты, требующаяся для экспрессии генного продукта-мишени, функционально связанного с ней. Термин "функционально связанный", используемый в данной заявке, означает, что регуляторные нуклеиновая кислота и нуклеиновая кислота, представляющая интерес, связаны таким образом, что экспрессия указанной нуклеиновой кислоты, представляющей интерес, может регулироваться указанной регуляторной нуклеиновой кислотой, то есть, последовательность регуляторной нуклеиновой кислоты будет функционально связана с последовательностью указанной нуклеиновой кислоты для осуществления экспрессии. Соответственно, последовательность регуляторной нуклеиновой кислоты и последовательность нуклеиновой кислоты, которая должна экспрессироваться, могут быть физически соединены друг с другом, например, путём инсерции (встраивания) последовательности регуляторной нуклеиновой кислоты в 5'-конец последовательности нуклеиновой кислоты, которая должна экспрессироваться. Альтернативно, последовательность регуляторной нуклеиновой кислоты и нуклеиновая кислота, которая должна экспрессироваться, могут просто находиться вблизи друг друга, так чтобы последовательность регуляторной нуклеиновой кислоты была способна управлять экспрессией по меньшей мере одной последовательности нуклеиновой кислоты, которая представляет интерес. Последовательность регуляторной нуклеиновой кислоты и нуклеиновая кислота, которая должна экспрессироваться, предпочтительно, разделены не более чем 500 парами оснований (по), 300 по, 100 по, 80 по, 60 по, 40 по, 20 по, 10 по или 5 по.

[0054] Используемый в данной заявке термин “лечение”, относится к применению или введению шарнирных молекул антитела по изобретению субъекту, у которого наблюдается медицинское состояние, симптом такого состояния, заболевание или вторичное нарушение, или предрасположенность к такому состоянию, с целью частичного или полного облегчения, улучшения состояния, отсрочки начала, ингибирования развития, уменьшения степени серьёзности и/или уменьшения возникновения одного или более симптомов или признаков конкретного заболевания, нарушения и/или состояния. В общем, термин “лечение” включает не только снятие симптомов или уменьшение уровня маркёров заболевания, но также прекращение или замедление развития или ухудшения проявления симптома, который ожидался в отсутствие лечения. Положительные или желательные клинические результаты включают, но без ограничения, ослабление одного или более симптомов, уменьшение степени серьёзности болезни, стабилизацию (то есть, отсутствие ухудшения) состояния, отсрочку или замедление развития заболевания, улучшение или временное облегчение болезненного состояния и ремиссию (частичную или полную), независимо от того, выявлены или не выявлены эти результаты.

[0055] Термин “эффективное количество”, используемый в данной заявке, относится к количеству компонента, которое достаточно для получения желательного терапевтического ответа. Терапевтически эффективное количество также означает такое количество, при введении которого терапевтически полезные эффекты перевешивают любые токсичные или вредные эффекты от применения соединения или композиции. Конкретное эффективное или достаточное количество будет меняться в зависимости от таких факторов, как подвергающееся лечению заболевание, физическое состояние пациента (например, вес пациента, возраст или пол), вид млекопитающего или животного, которые подвергаются лечению, продолжительность лечения, природа сопутствующей терапии (если она проводится), и используемые конкретные составы и структура применяемых соединений или их производных. Эффективное количество может быть выражено, например, в г, мг или мкг, или как мг/кг веса пациента.

[0056] Термин “субъект” относится к млекопитающему, включая человека, который подвергается лечению при помощи шарнирных молекул антитела и/или способов по изобретению. Термин “субъект” относится к мужчинам и женщинам, если пол не оговаривается специально.

[0057] Настоящее изобретение относится к антителам с шарнирными областями, которые селективно активируются в клетке-мишени или ткани-мишени. Способы и соединения (например, последовательности нуклеиновых кислот и векторы) для получения таких шарнирных молекул антител, фармацевтические композиции,

содержащие антитела с шарнирными областями, а также способы их применения входят в объём данного изобретения.

[0058] На Фигуре показана схематическая диаграмма, иллюстрирующая общую структуру шарнирной молекулы антитела 100 согласно некоторым вариантам настоящего изобретения, и на Фигуре 2 приведена схематическая диаграмма, иллюстрирующая схему дизайна и механизм действия шарнирной молекулы антитела 100. Как показано на Фигуре 1, антитело 100 с шарнирной областью содержит функциональное антитело 110, два ингибиторных домена 120 и четыре отщепляемых линкера 130, соединяющие ингибиторные домены 120 с функциональным антителом 110. На Фигуре 2 показана вначале нерасщеплённая форма, способность к связыванию указанного антитела 100 с шарнирной областью в отношении его лиганда-мишени (L) по существу ингибирована (инактивирована). Как только антитело 100 с шарнирной областью вводится субъекту и достигает сайта-мишени, фермент (E), который специфически или с высокой степенью экспрессирован в сайте-мишени, будет расщеплять антитело 100 с шарнирной областью в области отщепляемых линкеров 130. Это ферментативное расщепление антитела 100 с шарнирной областью удаляет ингибиторные домены 120 из шарнирной молекулы антитела 100 и приводит к образованию функционального антитела 110 со способностью связываться с лигандом (L). Следовательно, терапевтическое действие функционального антитела 110 может быть восстановлено на участке заболевания.

[0059] Возвращаясь к Фигуре 1, следует отметить, что функциональное антитело 110 является полноразмерным антителом или включает один или более функциональных фрагментов антитела для лечения заболевания в активированном состоянии. Структура функционального антитела 110 содержит две лёгких цепи 112 и две тяжёлых цепи 114, соединённые друг с другом дисульфидными связями. В частности, две тяжёлых цепи 114 соединены одной или более дисульфидными связями (116) в шарнирной области.

[0060] Предпочтительно, когда функциональное антитело 110 представляет собой терапевтическое антитело для лечения одного или более заболеваний у субъекта. Функциональное антитело 110 может быть полноразмерным терапевтическим антителом или его функциональным фрагментом. Неограничивающими примерами функционального антитела 110 являются: антитело к фактору некроза опухолей альфа (анти-TNF- α) (например, инфликсимаб, адалимумаб, цертолизумаб пегол и голимумаб), антитело к лиганду рецептора активатора NF κ b (анти-RANKL) (например, деносумаб), антитело к антигену 4 цитотоксических Т-лимфоцитов (анти-CTLA-4) (например, тремелелимумаб и ипилимумаб), антитело к рецептору человеческого эпидермального фактора роста (анти-HER2) (например, пертузумаб, трастузумаб и трастузумаб эмтанзин),

антитело к рецептору эпидермального фактора роста (анти-EGFR) (например, панитумумаб, цетуксимаб, залутумумаб и нецитумумаб), антитело к сосудистому эндотелиальному фактору роста (анти-VEGF) (например, бевасизумаб и ранибизумаб), антитело к рецептору 2 сосудистого эндотелиального фактора роста (анти-VEGFR2) (например, рамуцирумаб), антитело к рецептору интерлейкина 6 (анти-IL6R) (например, регенерон и тоцилизумаб), антитело к интерлейкину 12/23 (анти-IL12/23) (например, устекинумаб и бриакинумаб), антитело к кластеру дифференцировки 3 (анти-CD3) (например, отеликсизумаб, теплизумаб и муромонаб-CD3), антитело к CD11a (например, эфализумаб), антитело к CD20 (например, обинутузумаб, офатумумаб, тоситумомаб-I131, ибритумомаб тиуксетан и ритуксимаб), антитело к CD25 (известно также как анти-IL2R) (например, базиликсимаб и даклизумаб), антитело к CD30 (например, брентуксимаб ведотин), антитело к CD33 (например, гемтузумаб озогамицин) и антитело к CD52 (например, алемтузумаб). Следует отметить, что вышеуказанное не является исчерпывающим перечнем терапевтических антител, которые пригодны для применения в качестве функционального антитела 110, описанного в данной заявке, скорее, другие антитела, имеющие структуру, описанную выше, также применимы при осуществлении данного изобретения.

[0061] Заболевания или медицинские состояния, которые можно лечить при помощи одного или более указанных выше терапевтических антител, включают, но без ограничения, меланому в прогрессирующей стадии (например, при помощи ипилимумаба), потерю костной массы (например, при помощи деносумаба), рак молочной железы (например, при помощи трастузумаба, трастузумаба эмтанзина, пертузумаба или рамуцирумаба), хронический лимфоцитарный лейкоз (например, при помощи обинутузумаба или офатумумаба), колоректальный рак (например, при помощи панитумумаба, цетуксимаба или бавацизумаба), болезнь Крона (например, при помощи инфликсимаба или цертолизумаба пегола), adenокарциному желудочно-пищеводного соединения (например, при помощи рамуцирумаба), рак головы и шеи (например, при помощи залутумумаба), гепатоклеточную карциному (например, при помощи рамуцирумаба), лимфому Ходжкина (например, при помощи брентуксимаба ведотина), макулярную дегенерацию (например, при помощи ранибизумаба), метастатическую меланому (например, при помощи тремелимумаба), миелоидный лейкоз (например, при помощи гемтузумаба озогамицина или алемтузумаба), лимфому не-Ходжкина (например, при помощи оситумомаба-I131, ибритумомаба тиуксетана или ритуксимаба), немелкоклеточный рак лёгкого (например, при помощи нецитумумаба), псориаз (например, при помощи эфализумаба), пятнистый псориаз (например, при помощи

устекинумаба или бриакинумаба), купирование или предотвращение отторжения трансплантированной почки (например, при помощи муромонаба-cd3, басиликсимаба или даклизумаба), ревматоидный артрит (например, при помощи тосилизумаба, голимумаба или адалимумаба) и сахарный диабет типа 1 (например, при помощи отеликсизумаба или теплизумаба).

[0062] Согласно некоторым вариантам функциональное антитело 110 является антителом к TNF- α , включающим аминокислотную последовательность SEQ ID No. 1 (то есть, лёгкую цепь инфликсимаба) и аминокислотную последовательность SEQ ID No. 58 (то есть, тяжёлую цепь инфликсимаба), антителом к EGFR, включающим аминокислотную последовательность SEQ ID No. 2 (то есть, лёгкую цепь панитумумаба) и аминокислотную последовательность SEQ ID No. 59 (то есть, тяжёлую цепь панитумумаба), антителом к HER2, включающим аминокислотную последовательность SEQ ID No. 3 (то есть, лёгкую цепь трастузумаба) и аминокислотную последовательность SEQ ID No. 60 (то есть, тяжёлую цепь трастузумаба), антителом к TNF- α , включающим аминокислотную последовательность SEQ ID No. 4 (то есть, лёгкую цепь адалимумаба) и аминокислотную последовательность SEQ ID No. 61 (то есть, тяжёлую цепь адалимумаба), антителом к RANKL, включающим аминокислотную последовательность SEQ ID No. 5 (то есть, лёгкую цепь деносумаба) и аминокислотную последовательность SEQ ID No. 62 (то есть, тяжёлую цепь деносумаба), антителом к CTLA-4, включающим аминокислотную последовательность SEQ ID No. 6 (то есть, лёгкую цепь ипилимумаба) и аминокислотную последовательность SEQ ID No. 63 (то есть, тяжёлую цепь ипилимумаба), антителом к CTLA-4, включающим аминокислотную последовательность SEQ ID No. 7 (то есть, лёгкую цепь тремелимумаба (иначе называемого тицилимумабом) и аминокислотную последовательность SEQ ID No. (пропуск) (то есть, тяжёлую цепь тремелимумаба), антителом к CD11a, включающим аминокислотную последовательность SEQ ID No. 8 (то есть, лёгкую цепь эфализумаба) и аминокислотную последовательность SEQ ID No. 65 (то есть, тяжёлую цепь эфализумаба) или антителом к IL12/23, включающим аминокислотную последовательность SEQ ID No. 9 (то есть, лёгкую цепь устекинумаба) и аминокислотную последовательность SEQ ID No. 66 (то есть, тяжёлую цепь устекинумаба).

[0063] Как показано на Фигуре 1, каждый ингибиторный домен 120 состоит из двух пептидных плечей 122. В этом примере два пептидных плеча 122 соединены друг с другом дисульфидными связями 124; однако, настоящее изобретение не ограничено этим. Согласно некоторым вариантам настоящего изобретения ингибиторный домен 120 является шарнирным доменом иммуноглобулина, такого как иммуноглобулин А (IgA)

иммуноглобулин D (IgD) или иммуноглобулин G (IgG), или включает часть этого шарнирного домена. Согласно различным вариантам настоящего изобретения IgA представляет собой IgA1 (SEQ ID No. 14) или IgA2 (SEQ ID No. 15), IgG представляет собой IgG1 (SEQ ID No. 10), IgG2 (SEQ ID No. 11), IgG3 (SEQ ID No. 12) или IgG4 (SEQ ID No. 13); в то время как IgD представляет собой IgD1 (SEQ ID No. 54) или IgD2 (SEQ ID No. 55).

[0064] Шарнирные структуры ингибиторных доменов 120, после присоединения к функциональному антителу 110, стерически маскируют лиганд-связывающий сайт функционального антитела 110. Тогда шарнирная молекула антитела 100 в нерасщеплённом состоянии проявляет небольшую склонность (если она вообще есть) к взаимодействию с нужным лигандом. В соответствии с рабочими примерами, приведёнными в данном описании, в нерасщеплённом состоянии связывающая способность функционального антитела 110 по отношению к его лиганду снижается по меньшей мере примерно на 70 %, 71 %, 72 %, 73 %, 74 %, 75 %, 76 %, 77 %, 78 %, 79 %, 80 %, 81 %, 82 %, 83 %, 84 %, 85 %, 86 %, 87 %, 88 %, 89 %, 90 %, 91 %, 92 %, 93 %, 94 %, 95 %, 96 %, 97 %, 98 %, 99 % или даже на 100 %.

[0065] Согласно различным вариантам настоящего изобретения, когда функциональное антитело 110 соединяется с ингибиторным доменом 120 в присутствии нужного лиганда, связывание не происходит или практически нет связывания функционального антитела 110 с его лигандом или происходит не более 0.001 %, 0.02 %, 0.1 %, 1 %, 2 %, 3 %, 4 %, 5 %, 6 %, 7 %, 8 %, 9 %, 10 %, 11 %, 12 %, 13 %, 14 %, 15 %, 16 %, 17 %, 18 %, 19 %, 20 %, 21 %, 22 %, 23 %, 24 %, 25 %, 26 %, 27 %, 28 %, 29 % или 30 %-ного связывания функционального антитела 110 с его лигандом по сравнению со связыванием функционального антитела 110, которое не соединено с ингибиторным доменом 120.

[0066] Другое преимущество такого ингибиторного домена 120 находится в его разностороннем применении. Можно оценить, что ингибиторный домен 120 не сконструирован на основе его специфического взаимодействия с функциональным антителом 110 и/или нужным лигандом функционального антитела 110 и, следовательно, его ингибирующая активность не зависит от функционального антитела 110. Кроме того, большинство терапевтических антител содержит общие и похожие основные цепи, что облегчает присоединение к ним ингибиторного домена 120.

[0067] В дополнение к желательной ингибирующей активности и разнообразному применению ингибиторный домен 120 по изобретению имеет также преимущество в том, что он произведён из шарнирной области иммуноглобулина. Отсюда в отличие от

экзогенных маскирующих лигандов, известных из уровня техники, ингибиторный домен 120 по изобретению не будет вызывать нежелательный иммунный ответ у субъекта.

[0068] Ингибиторный домен 120 присоединён к функциональному антителу через отщепляемый линкер 130. Конкретно, каждый из четырёх отщепляемых линкеров 130 соединяет один из двух пептидных плечей 122 двух ингибиторных доменов 120 с N-концами одной из двух лёгких цепей 112 и двух тяжёлых цепей 114 функционального антитела 110. Отщепляемый линкер 130 представляет собой пептидный субстрат, расщепляемый ферментом, который специфически или с высокой степенью экспрессирован в клетке-мишени или в ткани-мишени (такой, как область поражения у субъекта) таким образом, что антитело с шарнирной областью активировано в клетке-мишени или в ткани-мишени.

[0069] Как обсуждалось выше, присоединение ингибиторных доменов 120 к функциональному антителу 110 приводит к ингибированию связывания функционального антитела 110 с его нужным лигандом. Однако, как только фермент переварит отщепляемый линкер 130, ингибиторные домены 120 отсоединяются от антитела 110 с шарнирной областью, при этом происходит восстановление связывающей способности функционального антитела 110.

[0070] Согласно некоторым вариантам пептидный субстрат расщепляется одним из следующих ферментов: матриксной металлопротеиназой (например, MMP-1, MMP-2, MMP-3, MMP-7, MMP-8, MMP-9, MMP-13 и MMP-14), катепсином (например, CTS A, CTS B, CTS D, CTS E и CTS K), каспазой (например, CASP-1, CASP-2, CASP-3, CASP-4, CASP-5, CASP-6, CASP-7, CASP-8, CASP-9, CASP-10, CASP-11, CASP-12, CASP-13 и CASP-14) или дисинтегрином и металлопротеиназой (например, ADAM-10, ADAM-12, ADAM-17, ADAM-TS и ADAM-TS5).

[0071] Матриксные металлопротеиназы (MMPs) представляют собой семейство цинк-зависимых эндопептидаз, который расщепляют матриксные белки. MMPs включают коллагеназы, желатиназы, матрилизины, энамелизины, металлоэластазы, стромелизины и другие структурные белки и рецепторные лизины. MMPs участвуют в разрушении внеклеточной матрицы в обычных физиологических процессах, таких как развитие и репродукция эмбрионов, а также в развитии заболеваний, таких как артрит и метастазы.

[0072] Например, обе MMP-2 (известной также как желатиназа А или коллагеназа 72 кДа типа IV) и MMP-9 (известная также как желатиназа В или коллагеназа 92 кДа типа IV) играют роль в возникновении воспалительного ответа. Соответственно, эти белки экспрессируются с более высокой степенью в воспалительном сайте, чем в других клетках/тканях субъекта. Кроме того, повышенная экспрессия MMP-2 или MMP-9 также

позитивно связана с развитием опухолей, включая инвазию, метастазы, рост и ангиогенез. Следовательно, пептидный субстрат для этих белков пригоден для применения в качестве отщепляемого линкера 130 таким образом, что антитело 100 с шарнирной областью активируется в воспалительном сайте или на участке, поражённом раком. Кроме того, так как уровень экспрессии MMP-2/MMP-9 в клетках/тканях, отличных от области поражения, является сравнительно низким, активация антитела 100 с шарнирной областью в этих клетках/тканях происходит редко по сравнению с активацией в области поражения. Соответственно, антитело 100 с шарнирной областью по изобретению функционирует при лечении заболевания с повышенной селективностью сайта действия.

[0073] Согласно некоторым вариантам каждый отщепляемый линкер 130 включает аминокислотную последовательность Gly-Pro-Leu-Gly–Val-Arg (GPLGVR; SEQ ID No. 16), которая является пептидным субстратом для MMP-2 или MMP-9. Неограничивающие примеры пептидных субстратов для MMP-2/MMP-9 включают: Pro-Leu-Gly-Met-Trp-Ser-Arg (PLGMWSR; SEQ ID No. 51), Pro-Leu-Gly-Leu-Trp-Ala-(d)-Arg (PLGLWA-(d)-R; SEQ ID No. 52) и Pro-Gln-Gly-Ile-Ala-Gly-Gln-(d)-Arg (PQGIAGQ-(d)-R; SEQ ID No. 53).

[0074] Под “активируемым” антителом подразумеваются, что антитело 100 с шарнирной областью проявляет первую связывающую способность по отношению к лиганду, представляющему интерес, будучи в нерасщеплённом или неактивированном состоянии, и вторую связывающую способность по отношению к тому же лиганду, будучи в расщеплённом или активированном состоянии, при этом величина второй связывающей способности выше, чем величина первой связывающей способности. Например, связывающая способность активированного функционального антитела 110 по отношению к его лиганду может быть по меньшей мере в 2, 3, 4, 5, 10, 15, 20, 25, 30, 35, 35, 40, 45, 50, 60, 70, 80, 90, 100, 150, 200, 250, 300, 350, 400, 450, 500, 600, 700, 800, 900 или даже 1,000 раз выше, чем связывающая способность нерасщеплённого антитела 100 с шарнирной областью по отношению к тому же лиганду.

[0075] Поскольку отщепляемый линкер 130 выбирается на основании его специфичности к ферменту, который с высокой степенью экспрессирован в сайте-мишени, следует иметь в виду, что активация антитела 100 с шарнирной областью по большей части будет иметь место в сайте-мишени. Эта высокая селективность сайта действия в сочетании с выдающейся ингибирующей активностью в нерасщеплённом состоянии позволяет практически избежать побочного действия функционального антитела 110.

[0076] Настоящее изобретение имеет также преимущество в том, что отсоединившийся ингибиторный домен 120 не участвует в связывании между

активированным функциональным антителом 110 и намеченным лигандом функционального антитела 110. Соответственно, связывающая способность функционального антитела 110 практически восстанавливается, как только антитело 100 с шарнирной областью активируется при отщеплении отщепляемого линкера 130. Например, после того как антитело 100 с шарнирной областью проконтактирует с ферментом (например, MMP-2), который с высокой степенью экспрессирован в сайтемишиени в конкретное время, возникает по меньшей мере 70 %, 71 %, 72 %, 73 %, 74 %, 75 %, 76 %, 77 %, 78 %, 79%, 80 %, 81 %, 82 %, 83 %, 84 %, 85 %, 86 %, 87 %, 88 %, 89 %, 90 %, 91 %, 92 %, 93 %, 94 %, 95 %, 96 %, 97 %, 98 %, 99 % или 100 %-ное связывание активированного функционального антитела 110 с выбранным лигандом функционального антитела 110, что можно сравнить со связыванием функционального антитела 110, не соединённого с ингибиторным доменом 120.

[0077] Согласно некоторым вариантам настоящего изобретения функциональное антитело 110 является антителом к TNF- α и включает аминокислотную последовательность SEQ ID No. 1, каждый из отщепляемых линкеров 130 включает аминокислотную последовательность SEQ ID No. 14; и каждый из ингибиторных доменов 120 включает аминокислотную последовательность SEQ ID No. 8.

[0078] Антитело с шарнирной областью по изобретению может быть получено синтетическим способом или может быть рекомбинантно экспрессировано и очищено.

[0079] Например, антитело с шарнирной областью может быть синтезировано обычными способами, такими как с применением т-BOC или FMOC защиты альфа-аминогрупп. Оба способа включают постадийный синтез, при этом одна аминокислота добавляется на каждой стадии, начиная от С-конца пептида. Антитела с шарнирной областью по изобретению могут быть также синтезированы хорошо известными методами твёрдофазного синтеза пептидов.

[0080] Для рекомбинантного получения антитела с шарнирной областью нужны векторные конструкции или молекулы нуклеиновой кислоты, кодирующие антитела с шарнирной областью по изобретению. Различные векторные конструкции, которые способны к экспрессии в прокариотных или эукариотных клетках, известны из уровня техники. Конструкции экспрессионных векторов обычно выбираются таким образом, чтобы они были совместимы с клеткой-хозяином, в которой они должны быть использованы. Согласно некоторым вариантам вектор кодирует лёгкую и тяжёлую цепь функционального антитела, ингибиторный домен и отщепляемые линкеры.

[0081] На Фигуре 3 показана диаграмма молекулы нуклеиновой кислоты 200 согласно некоторым вариантам настоящего изобретения. В подходящих условиях

молекула нуклеиновой кислоты 200 может быть транслирована, и экспрессированный (-ые) полинуклеотид (-ы) затем модифицируется (-ются) и/или собираются в антитело с шарнирной областью, например, в антитело 100 с шарнирной областью, показанное выше. Фигура 3 представляет схематическую диаграмму, иллюстрирующую молекулу нуклеиновой кислоты, кодирующую антитело с шарнирной областью в соответствии с некоторыми вариантами настоящего изобретения; например, антитело 100 с шарнирной областью, показанное выше.

[0082] Согласно некоторым вариантам молекула 200 синтетических нуклеиновых кислот включает последовательность первой нуклеиновой кислоты 210, последовательность второй нуклеиновой кислоты 220 и соединяющую последовательность нуклеиновой кислоты 230. Последовательность первой нуклеиновой кислоты 210 содержит в направлении от 5'-конца к 3'-концу область 212, кодирующую первый ингибиторный домен, область 214, кодирующую первый отщепляемый линкер, и область 216, кодирующую лёгкую цепь. Область 212, кодирующая первый ингибиторный домен, кодирует первое пептидное плечо (такое как одно пептидное плечо 122, показанное на Фигуре 1) ингибиторного домена (такого как ингибиторный домен 120 на Фигуре 1) антитела с шарнирной областью по изобретению. Согласно некоторым вариантам ингибиторный домен может быть шарнирным доменом IgA, IgD или IgG, или фрагментом шарнирного домена. Область 214, кодирующая первый отщепляемый линкер, кодирует пептидный субстрат (например, отщепляемый линкер 130 на Фигуре 1), расщепляемый ферментом, который специфически или с высокой степенью экспрессирован в клетке-мишени или в ткани-мишени. Область 216, кодирующая лёгкую цепь, кодирует лёгкую цепь (например, лёгкую цепь 102 на Фигуре 1) функционального антитела, способного в активированном состоянии применяться для лечения. Последовательность 220 второй нуклеиновой кислоты включает в направлении от 5'-конца к 3'-концу область 222, кодирующую второй ингибиторный домен, область 224, кодирующую второй отщепляемый линкер, и область 226, кодирующую тяжёлую цепь. Область 222, кодирующая второй ингибиторный домен, кодирует второе пептидное плечо (такое как другое пептидное плечо 122 на Фигуре 1) ингибиторного домена (например, ингибиторного домена 120 на Фигуре 1). Область 224, кодирующая второй отщепляемый линкер, кодирует тот же пептидный субстрат (например, отщепляемый линкер 130 на Фигуре 1). Область 226, кодирующая тяжёлую цепь, кодирует тяжёлую цепь (такую как тяжёлая цепь 104) функционального антитела.

[0083] Соединяющая последовательность нуклеиновой кислоты 230 используется для соединения последовательности первой нуклеиновой кислоты 210 и

последовательности второй нуклеиновой кислоты 220 с образованием одной молекулы нуклеиновой кислоты 200.

[0084] Согласно необязательным вариантам последовательность первой нуклеиновой кислоты 210 и последовательность второй нуклеиновой кислоты 220 соединены в одной открытой рамке считывания, и транслированный продукт после секреции модифицирован для получения собранного антитела с шарнирной областью. Например, как показано на Фигуре 3, последовательность 230, кодирующая фурин-2, находится между первой и второй нукleinовыми кислотами 210 и 220. Альтернативно, последовательность IRES (не показана) может быть использована для соединения последовательности первой нуклеиновой кислоты 210 и последовательности второй нуклеиновой кислоты 220 таким образом, что эти две последовательности нуклеиновых кислот в отдельности транслированы с образованием двух полипептидов.

[0085] Согласно некоторым вариантам настоящего изобретения молекула синтетической нуклеиновой кислоты 200 содержит нуклеотидную последовательность, кодирующую любое из упомянутых выше антител с шарнирной областью и их эквиваленты. Например, молекула синтетической нуклеиновой кислоты может включать нуклеотидную последовательность любой из последовательностей SEQ ID Nos. 17-50. Согласно другим вариантам данного изобретения последовательности первой и второй нуклеиновой кислот встраиваются в два разных вектора, в которых последовательность первой нуклеиновой кислоты представляет собой любую из SEQ ID Nos. 67, 69, 71, 73, 75 и 77, в то время как последовательность второй нуклеиновой кислоты является любой из SEQ ID Nos. 68, 70, 72, 74, 76 и 78.

[0086] SEQ ID No.56 также является примером последовательности молекулы нуклеиновой кислоты, кодирующей шарнирные домены IgD1, содержащие последовательность SEQ ID No. 54; в то время как SEQ ID No.57 является примером последовательности молекулы нуклеиновой кислоты, кодирующей шарнирные домены IgD2, содержащие последовательность SEQ ID No. 55.

[0087] Векторы для экспрессии указанной выше молекулы нуклеиновой кислоты 200 обычно конструируются путём соединения молекул синтетической нуклеиновой кислоты 200 с одной или более регуляторными последовательностями таким образом, чтобы транскрипция и/или трансляция молекулы синтетической нуклеиновой кислоты 200 находились под контролем регуляторной (-ых) последовательности (-ей). Неограничивающие примеры регуляторных последовательностей включают промоторы, энхансеры, терминаторы, операторы, репрессоры и индукторы.

[0088] Конструкции экспрессионных векторов обычно обеспечивают также область инициации транскрипции и трансляции, когда это может быть необходимо или желательно, которая может быть индуцируемой или конститутивной, при этом кодирующая область функционально присоединена под контролем области инициации транскрипции и области терминации транскрипции и трансляции. Эти контролирующие области могут быть нативными для видов, из которых получена нуклеиновая кислота, или могут быть получены из экзогенных источников. Конструкции экспрессионных векторов могут также включать селектируемый маркёр, действующий в хозяине для облегчения, например, роста клеток-хозяев, содержащих конструкцию, представляющую интерес. Гены селектируемого маркёра могут обеспечить фенотипический признак для селекции трансформированных клеток-хозяев, такой как резистентность к дигидрофолат-редуктазе или неомицину для культуры эукариотных клеток.

[0089] Когда последовательность первой нуклеиновой кислоты 210 и последовательность второй нуклеиновой кислоты 220 конструируются в одной рамке считывания, экспрессионный вектор может включать одну регуляторную последовательность, функционально соединённую с последовательностью первой нуклеиновой кислоты и последовательностью второй нуклеиновой кислоты. С другой стороны, когда последовательность первой нуклеиновой кислоты 210 и последовательность второй нуклеиновой кислоты 220 расположены в различных рамках считывания, экспрессионный вектор может включать по меньшей мере две регуляторные последовательности, функционально соединённых с последовательностью первой нуклеиновой кислоты и последовательностью второй нуклеиновой кислоты, соответственно.

[0090] Согласно другим вариантам первая нуклеиновая кислота и вторая нуклеиновая кислота не конструируются в одном векторе; скорее, они получаются в двух разных векторах, каждый из которых включает свою собственную область инициации транскрипции и трансляции, селектируемый маркёр и/или регуляторную последовательность.

[0091] Антитело с шарнирной областью согласно данному изобретению пригодно для лечения заболевания (-ий) или медицинского состояния (-ий), которое (-ые) излечимо (-ы) при применении функционального шарнирной молекулы антитела. Заболевания или медицинские состояния, излечимые при помощи терапии на основе антител, в основном представляют собой рак или аутоиммунные заболевания.

[0092] Для лечения субъекта, страдающего от таких заболеваний, антитело с шарнирной областью по изобретению или фармацевтическая композиция, его

содержащая, вводится субъекту в терапевтически эффективном количестве. Соответственно, фармацевтическая композиция и способ лечения также входят в объём настоящего изобретения.

[0093] В дополнение к антителу с шарнирной областью указанная фармацевтическая композиция содержит также фармацевтически приемлемый носитель. Термин “фармацевтически приемлемый носитель”, используемый в данной заявке, означает фармацевтически приемлемые материал, композицию или носитель, такой как жидкий или твёрдый наполнитель, разбавитель, экscипиент, растворитель или инкапсулирующий материал, применяемые для доставки или транспортировки активных агентов (например, антитела с шарнирной областью) из одного органа или части органа в другой орган или часть этого органа. Носитель должен быть “приемлемым” в смысле его совместимости с другими ингредиентами композиции и выбранным для сведения к минимуму любого разложения активного агента и для минимизации любых вредных побочных эффектов для субъекта. Фармацевтическая композиция может также содержать одну или более фармацевтически приемлемых добавок, включая связующие, вкусовые вещества, буферные агенты, загустители, красители, антиоксиданты, разбавители, стабилизаторы, буферные агенты, эмульгаторы, диспергирующие агенты, сусpendирующие агенты, антисептики и т. п.

[0094] Выбор фармацевтически приемлемого носителя, который должен применяться в сочетании с пептидным антителом с шарнирной областью в основном определяется способом введения этой композиции. Фармацевтическая композиция согласно настоящему изобретению может вводиться путём подкожной, внутривенной, внутритечальной или внутримышечной инъекции.

[0095] Препараты для инъекций могут быть приготовлены в виде стерильных водных или неводных растворов, супензий и эмульсий. Примеры неводных растворителей включают, но без ограничения, пропиленгликоль, полиэтиленгликоль, растительные масла, такие как оливковое масло, и органические эфиры для инъекций, такие как этилолеат. Примеры водных носителей включают воду, спирто-водные растворы, эмульсии или супензии, в том числе физиологический раствор и буферный раствор. Распространённые парентеральные носители включают раствор хлорида натрия, раствор Рингера, декстрозу и хлорид натрия, раствор Рингер-лактата или нелетучие масла; в то время как носители для внутривенного введения часто включают жидкости и пополнители питательных веществ, пополнители электролитов (такие как пополнители на основе раствора Рингера) и т. п.

[0096] Поскольку антитело с шарнирной областью по изобретению расщепляется и активируется на участке поражения и остаётся нерасщеплённым и неактивным в других областях организма, способ лечения по изобретению имеет преимущество в том, что он уменьшает или даже устраняет риск появления системного побочного эффекта из-за нецелевого действия. Кроме того, способ лечения по изобретению повышает эффективность известных терапевтических антител.

[0097] Следующие ниже примеры приведены для разъяснения некоторых аспектов настоящего изобретения и для того, чтобы помочь специалистам в данной области в осуществлении данного изобретения. Эти примеры никоим образом не следует рассматривать как ограничивающие объём данного изобретения. Считается, что специалист в данной области на основе данного описания без дальнейших исследований сможет применять настоящее изобретение полностью. Все публикации, указанные в данной заявке, включены полностью в данную заявку путём отсылки.

[0098] Пример 1

[0099] Материалы и способы

[00100] 1.1 Клеточные линии и клеточные культуры

[00101] Линия клеток первичной почки человека, экспрессирующих антиген SV40 T (293T), клеточная линия рака молочной железы человека (SKBr3), клеточная линия колоректальной карциномы человека (SW480), Huh 7 были приобретены в American Type Culture Collection. Клетки культивировали в модифицированной по способу Дульбекко среде Игла (DMEM; Sigma-Aldrich) дополненной 10 % телячьей сыворотки (CCS; Sigma-Aldrich), 1 % (10,000 мкг/мл) пенициллина и 1 % (10,000 мкг/мл) стрептомицина (Invitrogen), при 37 ° С в увлажнённой атмосфере, содержащей 5 % CO₂. Амфитрофические ретровирусные упаковывающие клетки Phoenix (Source) культивировали в среде DMEM/Nutrient F-12 Ham (DMEM/F12), дополненной 10 % фетальной бычьей сыворотки (FBS; Sigma-Aldrich), 1% (10,000 мкг/мл) пенициллина и 1 % (10,000 мкг/мл) стрептомицина при 37 ° С в увлажнённой атмосфере, содержащей 5 % CO₂. Для переноса клетки 293T и клетки Phoenix обрабатывали раствором 1X Versene (EDTA) в течение 3-5 мин, в то время как клетки SKBr3, SW480 и Huh7 обрабатывали трипсином в течение 3-5 мин. Затем клетки субкультивировали при различных концентрациях, как это требовалось для целей эксперимента.

[00102] 1.2 Биохимические реагенты

[00103] Реагент для трансфекции TransIT®-LT1 был приобретён в Mirus Bio LLC. Среду Opti-MEM и EDTA приобретали в Invitrogen. Альбумин бычьей сыворотки (BSA) и MMP2 типа IV (желатиназа A) приобретали в Sigma-Aldrich. Коньюгат HRP- Fcγ козы

против IgG человека и конъюгат FITC с антителом козы против IgGAM человека приобретали в компании Jackson.

[00104] 1.3 Плазмидные конструкции

[00105] Для создания конструкции нуклеиновых кислот, кодирующих антитело к TNF- α , инфликсимаб, была использована конструкция нуклеиновой кислоты, кодирующей пептид фурин-2А для соединения последовательности, кодирующей лёгкую цепь, и последовательности, кодирующей тяжёлую цепь, в одной плазмиде. Затем проводили полимеразную цепную реакцию (ПЦР) для введения NheI, HindIII и SfiI в N-конец лёгкой цепи, XhoI – в C-конец лёгкой цепи, BglII - в N-конец тяжёлой цепи и ClaI и AscI - в C-конец тяжёлой цепи. Затем последовательности, кодирующие IgG1 с шарнирной областью и субстрат MMP2, вводили против хода транскрипции в последовательности, кодирующие лёгкую и тяжёлую цепи для получения конструкции нуклеиновой кислоты (SEQ ID No. 43), кодирующей шарнирную область IgG1/MMP2/инфликсимаб. Тот же протокол использовали для создания конструкций нуклеиновых кислот, кодирующих другие антитела или антитела с шарнирной областью/MMP2, таких как конструкции шарнирная область IgG1/MMP2/ипилимумаб (SEQ ID No. 17), шарнирная область IgG2/MMP2/ипилимумаб (SEQ ID No. 18), шарнирная область IgG3/MMP2/ипилимумаб (SEQ ID No. 19), шарнирная область IgG4/MMP2/ипилимумаб (SEQ ID No. 20), шарнирная область IgA1/MMP2/ипилимумаб (SEQ ID No. 21), шарнирная область IgA2/MMP2/ипилимумаб (SEQ ID No. 22), шарнирная область IgG1/MMP2/тремелимумаб (SEQ ID No. 23), шарнирная область IgG2/MMP2/тремелимумаб (SEQ ID No. 24), шарнирная область IgG3/MMP2/тремелимумаб (SEQ ID No. 25), шарнирная область IgG4/MMP2/тремелимумаб (SEQ ID No. 26), шарнирная область IgA1/MMP2/тремелимумаб (SEQ ID No. 27), шарнирная область IgA2/MMP2/тремелимумаб (SEQ ID No. 28), шарнирная область IgG1/MMP2/алалимумаб (SEQ ID No. 29), шарнирная область IgG2/MMP2/алалимумаб (SEQ ID No. 30), шарнирная область IgG3/MMP2/алалимумаб (SEQ ID No. 31), шарнирная область IgG4/MMP2/адалимумаб (SEQ ID No. 32), шарнирная область IgA1/MMP2/адалимумаб (SEQ ID No. 33), шарнирная область IgA2/MMP2/адалимумаб (SEQ ID No. 34), шарнирная область IgG1/MMP2/панитумумаб (SEQ ID No. 35), шарнирная область IgG1/MMP2/деносумаб (SEQ ID No. 36), шарнирная область IgG2/MMP2/деносумаб (SEQ ID No. 37), шарнирная область IgG3/MMP2/деносумаб (SEQ ID No. 38), шарнирная область IgG4/MMP2/деносумаб (SEQ ID No. 39), шарнирная область IgA1/MMP2/деносумаб (SEQ ID No. 40), шарнирная область IgA2/MMP2/деносумаб (SEQ ID No. 41), шарнирная область IgG1/MMP2/эфализумаб (SEQ ID No. 42), шарнирная область IgG2/MMP2/инфликсимаб

(SEQ ID No. 44), шарнирная область IgG3/MMP2/инфликсимаб (SEQ ID No. 45), шарнирная область IgG4/MMP2/инфликсимаб (SEQ ID No. 46), шарнирная область IgA1/MMP2/инфликсимаб (SEQ ID No. 47), шарнирная область IgA2/MMP2/инфликсимаб (SEQ ID No. 48), шарнирная область IgG1/MMP2/устекинумаб (SEQ ID No. 49) и шарнирная область IgG1/MMP2/трастузумаб (SEQ ID No. 50).

[00106] Конструкции, кодирующие инфликсимаб и шарнирную область/MMP2/инфликсимаб были введены в плазмиды pLKO AS3w.puro, содержащие расширенный сигнал упаковки вируса (Ψ^+), пуромицин-резистентный ген (Puro^r) и ампициллин-резистентный ген (Ampr) для получения экспрессионных векторов (плазмида инфликсимаб-pLKO и плазмида шарнирная область/MMP2/инфликсимаб-pLKO). Плазмиды для экспрессии других конструктов нуклеиновых кислот были получены по тому же протоколу.

[00107] *1.4 Трансфекция лентивируса*

[00108] Клетки Phoenix были обработаны Versene, и диссоциированные клетки (1.5×10^6 кл/лунку) засевали в 6-луночный планшет CellBind. После инкубации в инкубаторе при 37 ° С в течение 24 ч, исходная жидкость клеточной культуры была удалена и восполнена половинным объёмом среды DMEM, дополненной 10 % FBS.

[00109] 1.25 мкг плазмиды антитело с шарнирной областью/MMP2/инфликсимаб-pLKO (в 125 мкл среды Opti-MEM плюс 1.125 мкг плазмиды pCMV-ΔR8.91 и 0.125 мкг плазмиды pMD.G) медленно добавляли в реакционный раствор, содержащий 7.5 мкл реагента TransIT® в 125 мкл среды Opti-MEM. Смесь оставляли стоять в течение 30 мин и затем медленно добавляли в 6-луночный планшет и встряхивали в инкубаторе при 37 ° С в течение 16 ч перед добавлением половины объёма свежей среды (DMEM/F12 + 10 % FBS + 1 % BSA + 1x p/s). В следующие 3 дня каждые 24 ч собирали 2 мл супернатанта и добавляли 2 мл свежей среды. Собранный супернатант центрифугировали со скоростью 1250 об/мин в течение 5 мин и хранили при 4 ° С в холодильнике.

[00110] Для конденсации вируса охлаждённый супернатант нагревали при комнатной температуре и отфильтровывали на центрифужном фильтре для белков и затем центрифугировали со скоростью 3500 об/мин при 4 ° С до уменьшения объёма до 1.5 мл. Получали аликовоты конденсата и хранили их при - 80 ° С до использования.

[00111] Для трансфекции клеток 293T клетки 293T засевали в 6-луночный планшет при плотности 4×10^4 кл/лунку. На следующий день клетки трансфицировали до 10-20 % конфлюентности. Первоначальная среда была вначале удалена и среда для инфекционного процесса (1 мл среды для роста (DMEM + 10 % CCS + 1 % P/S) + 150 мкл вирусной жидкости + 8 мкг/мл полибрена) добавлялась в лунки. После встряхивания в

течение 24 ч среду удаляли и добавляли новую среду для роста, и трансфенированные клетки 293T обрабатывали пуромицином (3-5 мкг/мл). Среду для роста обновляли каждые 2 дня со скринингом с пуромицином в течение 2 нед. Затем клетки собирали и проводили вестерн-блоттинг для определения стабильной экспрессии клетками конструкции шарнирная область/MMP2/инфликсимаб. Клетки 293T, стабильно экспрессирующие инфликсимаб, получали по тому же протоколу.

[00112] 1.5 Очистка антител

[00113] Трансфенированные клетки 293T засевали в планшет (15 см) и культивировали в среде DMEM, дополненной 10 % CCS и 1 % пенициллина-стрептомицина, до достижения примерно 80-90 % конфлюентности. Исходную среду удаляли и промывали планшет 10 мл PBS для удаления сыворотки. Затем клетки культивировали в 15 мл среды, не содержащей сыворотки, в течение 2 дн., супернатант собирали и центрифугировали при скорости 3500 об/мин при 4 ° С в течение 10 мин. Супернатант затем собирали и хранили до использования при температуре -80 ° С.

[00114] Для осуществления очистки 135 мл замороженного супернатанта нагревали, используя водянную баню с температурой 37 ° С. Затем супернатант конденсировали, применяя центрифужный фильтр для белков. Антитела очищали с применением системы очистки белок A-сефароза и связанные антитела элюировали при помощи 0.1 М элюирующего буферного раствора, содержащего глицин (рН 3.0). Величину pH элюата регулировали при помощи 1M Трис-основания (рН 8.0) и 6N HCL до величины 7.4. Затем собирали образцы с помощью диализной мембранны (трубчатая мембрана из регенерированной целлюлозы T4, MWCO :12000-14000, CelluSep) и дважды проводили диализ, используя 1X PBS (рН 7.4) в течение 1-2 ч. Получение продукта подтверждали методом разделения электрофорезом на полиакриламидном геле с 10% SDS с последующим окрашиванием красителем Comassie Brilliant Blue в течение 10 мин.

[00115] 1.6 Расщепление субстрата MMP2

[00116] Конструкцию антитело с шарнирной областью/MMP2/инфликсимаб (5 мкг в 36 мкл PBS) подвергали взаимодействию с MMP2 (0.8 мкг в 4 мкл среды DMEM, конечная концентрация равна 20 мкг/мл) на льду в течение 0, 1, 5, 10, 30 или 60 мин. Антитело к TNF- α (инфликсимаб) использовали в качестве контроля. Затем реакционную смесь добавляли в восстановляемый краситель и кипятили при температуре 100 ° С в течение 10 мин для прекращения активности MMP2. Расщепление субстрата MMP2 подтверждали электрофорезом на полиакриламидном геле с 10% SDS и методом вестерн-блоттинга.

[00117] Для проведения вестерн-блоттинга восстановленный краситель добавляли к собранным клеткам и супернатанту в отношении а 6:1 (об/об) и кипятили при температуре 100 ° С в течение 10 мин. Затем белки разделяли методом электрофореза на полиакриламидном геле с 10% SDS и помещали на бумагу из нитроцеллюлозы, которую обрабатывали снятым латексом (5 %) при 4 ° С в течение ночи. Антитело HRP-Fc γ козы против IgG человека (коньюгат антитела козы против Fc γ IgG человека, меченого пероксидазой хрена) (0.4 мкг/мл в 5 % снятого латекса) было использовано для идентификации антитела.

[00118] 1.7 Твёрдофазный иммуноферментный анализ (ИФА)

[00119] Активность конструкции антитело с шарнирной областью/MMP2/антитело определяли методом ELISA с выявлением антигенов или методом клеточного ИФА (ELISA).

[00120] (A) Нанесение покрытия на планшеты

[00121] Для определения активности конструкции антитело с шарнирной областью/MMP2/инфликсимаб или антитело с шарнирной областью/MMP2/адалимумаб TNF- α (0.3 мкг/мл) растворяли в покрывающем буфере (буфере для сенсибилизации покрытий) (100 mM Na₂CO₃, pH 8.0) и наносили эту смесь для покрытия на планшеты при проведении ELISA (Nunc-Maxisorp) путём инкубации при 37 ° С в течение 2 ч. Что касается конструкции антитело с шарнирной областью/MMP2/деносумаб, применяли 96-луночный планшет, покрытый 50 мкл/лунку RANKL (0.3 мкг/мл) в среде покрывающего буфера (100 mM Na₂CO₃, pH 8.0) в течение 2 ч при 37 ° С. Для определения активности конструкции антитело с шарнирной областью/MMP2/ипилимумаб или антитело с шарнирной областью/MMP2/тремелимумаб использовали 96-луночный планшет, покрытый 50 мкл/лунку CTLA4 (0.3 мкг/мл) в среде покрывающего буфера (100 mM Na₂CO₃, pH 8.0) в течение 2 ч при 37 ° С.

[00122] Для иммобилизации в каждую лунку 96-луночного планшета добавляли 200 мкл 5 % снятого латекса хранили его в холодильнике при 4° С в течение ночи.

[00123] Активность конструкции антитело с шарнирной областью/MMP2/антитело к EGFR и антитело с шарнирной областью/MMP2/антитело к HER2 была определена методом ELISA. Вкратце можно сказать, что EGFR-положительные клетки SW480 или HER2-положительные клетки SKBr3 высевали в 96-луночный планшет с плотностью 10⁵ кл/лунку с использованием 200 мкл среды для роста (DMEM + 10 % CCS + 1 % P/S) и проводили инкубацию при 37 ° С в течение ночи.

[00124] (B) Обработка MMP2

[00125] 20 мкл ледяного фермента MMP2 (200 мкг/мл в среде DMEM, не содержащей сыворотки) разводили в 10 раз и осуществляли взаимодействие с 180 мкл супернатанта трансфенированных клеток 293T на льду в течение 0, 1, 10, 30, 60 или 90 мин до обрыва реакции путём добавления 20 мкл CCS.

[00126] (С) Активность антител

[00127] На следующий день после удаления исходной культуральной жидкости из сенсибилизированного 96-луночного планшета планшет промывали один раз 0.05 % PBST (200 мкл/лунку) и PBS (200 мкл/лунку) один раз (или промывали средой DMEM (200 мкл/лунку) один раз в случае проведения метода клеточного ИФА (ELISA), и жидкость в лунках удаляли. Затем обработанная MMP2 конструкцию антитело с шарнирной областью/MMP2/антитело (50 мкл/лунку) добавляли в двух повторностях (или в трёх повторностях в случае метода клеточного ИФА (ELISA) и проводили реакцию в течение 2 ч при комнатной температуре. После окончания реакции образцы отбирали пипеткой из лунки и затем промывали планшет 0.05 % PBST (200 мкл/лунку) три раза и PBS (200 мкл/лунку) один раз (или промывали средой DMEM (200 мкл/лунку) три раза в случае метода клеточного ИФА (ELISA) для удаления свободных антител. Затем 1 мкг/мл антитела HRP-Fc γ козы против IgG человека в 2 % снятого латекса в PBS (или в DMEM + 2 % CCS в случае метода клеточного ИФА (ELISA) распределяли в 96-луночном планшете с плотностью 50 мкл/лунку и проводили реакцию в течение 1 ч при комнатной температуре. После отбора пипеткой антитела HRP-Fc γ козы против IgG человека из лунки планшет промывали 0.05 % PBST (или промывали в случае метода клеточного ИФА (ELISA) средой DMEM (200 мкл/лунку) трижды и PBS (200 мкл/лунку) один раз.

[00128] Активность обработанной MMP2 конструкции антитело с шарнирной областью/MMP2/антитело была определена путём окисления 2,2'-азино-бис(3-этилбензтиазолин-6-сульфоновой кислоты) (ABTS) в качестве субстрата. Реакционную смесь, содержащую ABTS и 30 % H₂O₂ (ABTS: H₂O₂=3000 : 1), добавляли в планшет по 150 мкл/лунку. Окисление ABTS сопровождалось увеличением абсорбции при длине волны 405 нм. Активность фермента оценивали по интенсивности абсорбции. Активность других антител была определена по тому же самому протоколу.

[00129] 1.8 Нейтрализация сигнала TNF- α при помощи конструкции антитело с шарнирной областью/MMP2/инфликсимаб

[00130] Клетки HuH 7 обрабатывали трипсином (0.05 %) и диссоциированные клетки (7×10^4 кл/лунку) высевали в 24-луночный планшет CellBind. После инкубации в инкубаторе при 37 ° С в течение 24 ч исходную культуральную жидкость удаляли и добавляли среду DMEM, дополненную 10 % культуральной жидкости FBS.

[00131] 0.5 мкг репортёрной плазиды *NF-kB-Luc* добавляли в реакционный раствор, содержащий 1.5 мкл реагента трансфекции TransIT®-LT1 в 30 мкл среды DMEM, не содержащей сыворотки. Смесь медленно добавляли в 24-луночный планшет и встряхивали в инкубаторе при 37 °C в течение 24 ч.

[00132] Через 24 ч после трансфекции клетки обрабатывали одним из следующих реагентов : (1) средой (отрицательный контроль); (2) 20 нг TNF- α (положительный контроль); (3) 20 нг TNF- α и 100 мг/мл инфликсимаба; (4) 20 нг TNF- α , 100 мг/мл инфликсимаба и 20 мг/мл MMP2; (5) 20 нг TNF- α и 100 мг/мл конструкции шарнирная область IgG1/MMP2/инфликсимаб; и (6) 20 нг TNF- α , 100 мг/мл конструкции IgG1 с шарнирной областью/MMP2/инфликсимаб и 20 мг/мл MMP2. Через 24 ч после обработки Steady-Glo и PBS добавляли в 96-луночный планшет и использовали планшет-ридер для определения активности люциферазы.

[00133] 1.9 Эксперименты с животными

[00134] Все животные, использованные в рабочих примерах, содержались в виварии при температуре 24-25 ° C с циклом чередования света и темноты 12:12. Стандартный лабораторный корм и водопроводная вода были доступны *ad libitum*. Методика экспериментов была одобрена в Kaohsiung Medical University Review Board (Kaohsiung City, Taiwan, R.O.C.), все эксперименты проводили в соответствии с национальными правовыми актами по содержанию животных.

[00135] Пример 2

[00136] Очистка конструкции антитело с шарнирной областью/MMP2/инфликсимаб

[00137] Трёхмерная структура конструкции антитело с шарнирной областью/MMP2/инфликсимаб была создана при помощи компьютерного моделирования. На Фигуре 4 видно, что шарнирный домен IgG1 состоит из двух пептидов, связанных дисульфидными связями, и область, определяющая комплементарность (CDR) лёгкой цепи и тяжёлой цепи инфликсимаба, заблокирована ингибиторным доменом, произведённым из шарнирного домена IgG1.

[00138] Очистку проводили, как описано в Примере 1.5 выше, и строение полученных продуктов подтверждали методом SDS PAGE (Фигура 5). Было установлено, что очищенный продукт представляет собой тяжёлую цепь конструкции антитело с шарнирной областью IgG1/MMP2/инфликсимаб с м. м. 55 кДа (слева), размер которой похож на размер инфликсимаба (в середине). Степень чистоты продуктов по данным Lane 4 была равна примерно 85%.

[00139] Пример 3

[00140] Удаление ингибиторного домена из конструкции антитело с шарнирной областью/MMP2/инфликсимаб путём обработки MMP2

[00141] Конструкцию антитело с шарнирной областью IgG1/MMP2/инфликсимаб или инфликсимаб (антитело к TNF- α) обрабатывали MMP2 (20 мкг/мл), как описано в Примере 1.6. Результаты вестерн-блоттинга показали (см. Фигуру 6), что молекулярная масса инфликсимаба (примерно 53.5 кДа) была постоянной до и после обработки при помощи MMP2. С другой стороны, перед обработкой при помощи MMP2 молекулярная масса конструкции антитело с шарнирной областью IgG1/MMP2/инфликсимаб была равна примерно 55 кДа, в то время как после обработки при помощи MMP2 интенсивность полосы продукта с м. м. 55 кДа постепенно уменьшалась, в то время как интенсивность полосы продукта с м. м. примерно 53.5 кДа возрастала со временем. Этот результат показывает, что ингибиторный домен данного антитела с шарнирной областью может быть удалён из функционального антитела путём обработки MMP2.

[00142] Пример 4

[00143] Ингибирование и восстановление антиген-связывающей активности конструкции антитело с шарнирной областью/MMP2/антитело к TNF- α

[00144] Антиген-связывающая активность очищенной конструкции шарнирная область IgG1/MMP2/инфликсимаб до и после обработки MMP2 (Пример 1.6) была определена методом ELISA, результаты показаны на Фигуре 7. По данным этого метода анализа связывающая способность антитела к TNF- α была принята за 100 %, и, соответственно определяли этот параметр в процентах для указанной конструкции.

[00145] Результаты ELISA показывают, что связывающая способность конструкции антитело с шарнирной областью/MMP2/инфликсимаб к TNF- α составляла примерно 0.5 % перед обработкой при помощи MMP2, подтверждая, что присоединение ингибиторного домена практически ингибирует связывающую способность функционального домена антитела к TNF- α на 99.5 %. Полученные данные показывают также, что обработка MMP2 в течение 1 ч достаточна для активации конструкции антитело с шарнирной областью/MMP2/инфликсимаб, связывающая способность которой восстановилась до примерно 110 %. Через 2 ч после обработки MMP2 связывающая способность активированной конструкции антитело с шарнирной областью/MMP2/инфликсимаб поднялась до примерно 120 % по сравнению с инфликсимабом.

[00146] Пример 5

[00147] Нейтрализация сигнала TNF- α конструкцией антитело с шарнирной областью/MMP2/инфликсимаб

[00148] Пример 1.8 проводили для определения, способна ли конструкция шарнирная область IgG1/MMP2/инфликсимаб всё ещё нейтрализовать сигнал TNF- α после обработки MMP2. Результаты, приведённые на Фигуре 8, показали, что обычный инфликсимаб, обработанный (группа 4) или не обработанный (группа 3) MMP2, может эффективно блокировать сигнал TNF- α , по сравнению с положительным контролем (группа 2). В противоположность этому конструкция шарнирная область IgG1/MMP2/инфликсимаб без обработки MMP2 (группа 5) практически не способна нейтрализовать сигнал TNF- α , в то время как обработанная MMP2 конструкция шарнирная область IgG1/MMP2/инфликсимаб (группа 6) эффективно уменьшает сигнал TNF- α . Эти результаты демонстрируют, что ингибиторный домен согласно данному изобретению эффективно блокирует связывающую способность домена функционального антитела с лигандом функционального антитела. Более того, этот эксперимент также выявил, что функциональность функционального антитела с шарнирной областью по изобретению может быть восстановлена путём обработки MMP2.

[00149] Пример 6

[00150] Ингибирование и восстановление антиген-связывающей активности различных конструкций антитело с шарнирной областью/MMP2/антитело

[00151] Антиген-связывающая способность различных конструкций антитело с шарнирной областью/MMP2/антитело к HER2 до и после обработки MMP2 показана на Фигуре 9, Фигуре 10 и в Таблице 1.

Таблица 1

Антитело (INN)	Шарнирная область	Ингибирование (%)
Анти-TNF-α (инфликсимаб)	IgG1	99.5
	IgG2	94
	IgG3	99
	IgG4	68.5
	IgA1	97.5
	IgA2	76.5
Анти-EGFR (паникумумаб)	IgG1	89

Анти-HER2 (трастузумаб)	IgG1	73
Анти-TNF-α (адалимумаб)	IgG1	90
	IgG2	90
	IgG3	90
	IgG4	90
	IgA1	90
	IgA2	90
Анти-RANK-L (деносумаб)	IgG1	98
	IgG2	98
	IgG3	98
	IgG4	98
	IgA1	98
	IgA2	98
Анти-CTLA-4 (ипилимумаб)	IgG1	95
Анти-CTLA-4 (тремелимумаб)	IgG1	87
Анти-IL 1β (канакинумаб)	IgG1	97

INN, международное непатентованное наименование.

[00152] При рассмотрении Фигуры 9 и Таблицы видно, что перед обработкой MMP2 антиген-связывающая активность инактивированной конструкции шарнирная область IgG1/MMP2/трастузумаб оставляет примерно 27 %, свидетельствуя о том, что примерно 73 % связывающей способности домена функционального антитела к HER2 ингибируются присоединённым ингибиторным доменом. Примерно через 1.5 ч после обработки MMP2 конструкция шарнирная область IgG1/MMP2/трастузумаб активируется и связывающая способность восстанавливается до примерно 97 %.

[00153] Антиген-связывающая активность инактивированной конструкции шарнирная область IgG1/MMP2/панитумумаб пред обработкой MMP2 составляет примерно 11 %, свидетельствуя о том, что примерно 89 % связывающей способности домена функционального антитела к EGFR ингибируются присоединённым

ингибиторным доменом. Существенная активация конструкции шарнирная область IgG1/MMP2/панитумумаб достигается через примерно 2 ч после обработки MMP2, это доказывается величиной антиген-связывающей способности, составляющей примерно 90 %.

[00154] В сумме, различные конструкции шарнирная область IgG1/MMP2/антитела характеризуются примерно 73 % - 99.5 % ингибированием связывания антител с шарнирной областью с их соответствующими лигандами, а сродство к связыванию может быть восстановлено до примерно 100 % после обработки MMP2.

[00155] Для понимания влияния ингибиторного домена на ингибирующий эффект домена с шарнирной областью домены с шарнирной областью из различных иммуноглобулинов (например, IgG 1, IgG 2, IgG 3, IgG 4, IgA1 и IgA2) были прикреплены к функциональным антителам, как описано выше. Все из этих шарнирных доменов способны существенно ингибировать связывание антитела с шарнирной областью с его выбранным лигандом, когда антитело с шарнирной областью является неактивированным. В частности, антиген-связывающая способность шарнирная область IgG1, IgG2, IgG3, IgG4, IgA1, IgA2/MMP2/антитело к TNF- α перед обработкой MMP2 составляет 0.5 %, 6 %, 1 %, 31.5 %, 2.5 % и 23.5 %, соответственно (Фигура 10). После активации при помощи MMP2 антиген-связывающая способность этих активированных антител восстанавливается до 100 % (Фигура 10).

[00156] Эти результаты показывают, что ингибиторный домен по изобретению может блокировать от примерно 73 до 99.5 % сродства к связыванию домена функционального антитела, и связывающая способность антитела с шарнирной областью может быть восстановлена до примерно 90 – 100 % путём обработки MMP2, что позволяет предположить, что схема дизайна антитела с шарнирной областью по изобретению может быть применена к любым клинически доступным антителам.

[00157] Пример 7

[00158] Локализация и активация конструкции антитело с шарнирной областью-антитело к α EGFR в животной модели

[00159] Панитумумаб (антитело к α EGFR) был использован при лечении EGFR-экспрессирующего колоректального рака. В этом Примере была приготовлена конструкция антитело с шарнирной областью/MMP2/панитумумаб (далее, антитело с шарнирной областью к α EGFR), затем исследовали *in vivo* локализацию и активацию, используя мышей с раком ободочной кишки.

[00160] Антитело к α EGFR (панитумумаб) и антитело с шарнирной областью к α EGFR были получены в соответствие с протоколами, описанными в Примере 1 выше. Затем антитело к α EGFR и антитело с шарнирной областью к α EGFR сопрягали с коммерчески доступным цианиновым красителем, IR820 (приобретён в Sigma 543365).

[00161] Бестимусным мышам со средним весом 20 г трансплантировали клетки рака ободочной кишки человека HCT116 ($\text{EGFR}^+/\text{MMP}^+$). Мыши с опухолевыми клетками HCT116 ($\text{EGFR}^+/\text{MMP}^+$) рака ободочной кишки внутривенно вводили 5 мг/кг антитела IR820 к α EGFR или антитела с шарнирной областью к α EGFR с PBS или ингибитором MMP (5 мг/кг 1.10-фенантролина моногидрата, приобретённого в Sigma). Получали оптическое изображение через 48 ч после инъекции путём визуализации мышей при помощи системы получения изображений IVIS Spectrum/CT (Caliper Life Sciences, PE) при длинах волн возбуждения и эмиссии 710 и 820 нм, соответственно. В процессе получения изображения мышей выдерживали под анестезией газом (5 % изоурана) при 37 ° С. Полученные изображения приведены на Фигуре 11.

[00162] Оптическое изображение обеспечивает количественную меру трёхмерного распределения флуоресцентного сигнала у живого субъекта. Теоретически антитело с шарнирной областью к α EGFR, как только оно достигает места расположения опухоли, активируется под действием протеазы MMP2 и затем активированное функциональное антитело может связываться с EGFR-положительными клетками опухоли.

[00163] Как видно на Фигуре 11, активированное антитело с шарнирной областью к α EGFR (третье изображение слева), подобно антителу к α EGFR (первое изображение слева), селективно локализовано на участке опухоли. Кроме того, судя по цвету на изображениях, уровень накопления антитела с шарнирной областью к α EGFR на участке опухоли был эквивалентен уровню накопления анти- α EGFR на участке опухоли.

[00164] Более того, при сравнении двух наборов изображений, соответственно обработанных анти- α EGFR и антителом с шарнирной областью к α EGFR на Фигуре 11, следует отметить, что в присутствии ингибитора MMP, меньшее количество антитела с шарнирной областью к α EGFR активировалось и связывалось с EGFR-положительными клетками опухоли. Эти данные показали, что активация антитела с шарнирной областью к α EGFR ингибировалась ингибитором MMP. Этот результат подтвердил, что активация антитела с шарнирной областью/MMP2 согласно вариантам данного изобретения осуществляется путём действия расщепляющего фермента (такого как MMP2).

[00165] Пример 8

[00166] Антивоспалительное действие антитела с шарнирной областью к TNF α в животной модели

[00167] Антитело к TNF α , такое как адалимумаб, было использовано для лечения некоторых состояний, когда желательно подавление иммунного ответа. В этом Примере была изучена эффективность конструкции шарнирная область IgG1/MMP2/адалимумаб (далее, “шарнирное антитело к TNF α ”) для лечения артрита, индуцированного коллагеном, (CIA). CIA представляет хроническую аутоиммунную модель человеческого ревматоидного артрита и широко применяется для препарирования молекулярных и клеточных медиаторов ревматоидного артрита.

[00168] Антитело к TNF α (адалимумаб) и шарнирное антитело к TNF α были получены в соответствии с протоколами, описанными в Примере 1 выше.

[00169] Животная модель артрита, индуцированного коллагеном, была создана следующим образом. Самцов мышей линии DBA/1 (возраст 8 - 10 нед.) иммунизировали при помощи внутрикожной инъекции в основание хвоста 100 мкг бычьего коллагена типа II (Chondrex, Inc., Redmond, WA, USA), который был эмульгирован с равными объёмами полного адьюванта Фрейнда (Chondrex, Inc., Redmond, WA, USA). Процедуру повторяли через три недели после первой иммунизации. Мышей осматривали каждые 2 - 3 дня и каждую мышь с признаками эритемы и/или распухания одной или более конечностей включали в исследуемую группу. При проявлении артрита мышам делали и. п. инъекцию PBS, анти-TNF α или антитела с шарнирной областью к TNF α (100 мкг/мышь). Воспаление 4 лап классифицировали по шкале от 0 до 4 следующим образом: 0 = распухания нет и есть очаговая краснота; 1 = распухание суставов пальцев; 2 = небольшое распухание локтевых суставов или кистевых суставов; 3 = сильное воспаление всей лапы; и 4 = деформация или анкилоз. Оценивали каждую лапу и суммировали 4 балла, максимально возможное количество баллов у одной мыши составило 16. Результаты представлены на Фигуре 12.

[00170] Данные, показанные на Фигуре 12, показали, что баллы, оценивающие воспаление у мышей, которым вводили антитело к TNF α (адалимумаб) и антитело с шарнирной областью к TNF α , были значительно ниже, чем у мышей, которым вводили PBS. Более того, баллы, оценивающие воспаление у мышей, которым вводили шарнирное тело к TNF α по изобретению были ниже, чем баллы у мышей, обработанных коммерчески доступным антителом к TNF α . Следовательно, эти данные доказали, что шарнирное тело к TNF α по изобретению можно применять для лечения ревматоидного артрита.

[00171] Следует заметить, что, хотя антитела с шарнирной областью согласно описанным выше вариантам и примерам произведены из моноклональных антител,

настоящее изобретение этим не ограничивается. Скорее, схема дизайна согласно данному изобретению применима для других терапевтических агентов на основе антител. Например, ингибиторный домен, предложенный в данной заявке, может быть присоединён к N-концу биспецифического антитела (например, катумаксомаба) способом, похожим на описанные выше. Другие терапевтики на основе антител, подходящие для применения по данному изобретению, включают, но без ограничения, биспецифическое диатело, триспецифические антитела Fab₃, двухвалентные минитела, триатело, тетратело, scFv фрагменты, Fab фрагменты и бис-scFv фрагменты.

[00172] Следует иметь в виду, что приведённое выше описание вариантов дано только как пример, и что специалисты в данной области могут сделать различные модификации. Приведённые выше описание, примеры и данные обеспечивают полное описание структуры и применения вариантов настоящего изобретения. Хотя различные варианты изобретения были описаны с некоторой степенью конкретности или со ссылкой на один или несколько отдельных вариантов, средний специалист в данной области может сделать многочисленные изменения описанных вариантов, не выходя за рамки или объём настоящего изобретения.

SEQUENCE LISTING

<110> DCB-USA LLC
Kaohsing Medical University

<120> ANTIBODY LOCKER FOR THE INACTIVATION OF PROTEIN DRUG

<130> P2757-1-PCT

<150> PCT/US61/827,763

<151> 2013-05-28

<160> 78

<170> BiSSAP 1.3

<210> 1

<211> 214

<212> PRT

<213> Artificial Sequence

<220>

<223> infliximab light chain

<400> 1

Asp Ile Leu Leu Thr Gln Ser Pro Ala Ile Leu Ser Val Ser Pro Gly
1 5 10 15

Glu Arg Val Ser Phe Ser Cys Arg Ala Ser Gln Phe Val Gly Ser Ser
20 25 30

Ile His Trp Tyr Gln Gln Arg Thr Asn Gly Ser Pro Arg Leu Leu Ile
35 40 45

Lys Tyr Ala Ser Glu Ser Met Ser Gly Ile Pro Ser Arg Phe Ser Gly
50 55 60

Ser Gly Ser Gly Thr Asp Phe Thr Leu Ser Ile Asn Thr Val Glu Ser
65 70 75 80

Glu Asp Ile Ala Asp Tyr Tyr Cys Gln Gln Ser His Ser Trp Pro Phe
85 90 95

Thr Phe Gly Ser Gly Thr Asn Leu Glu Val Lys Arg Thr Val Ala Ala
100 105 110

Pro Ser Val Phe Ile Phe Pro Pro Ser Asp Glu Gln Leu Lys Ser Gly
115 120 125

Thr Ala Ser Val Val Cys Leu Leu Asn Asn Phe Tyr Pro Arg Glu Ala
130 135 140

Lys Val Gln Trp Lys Val Asp Asn Ala Leu Gln Ser Gly Asn Ser Gln
145 150 155 160

Glu Ser Val Thr Glu Gln Asp Ser Lys Asp Ser Thr Tyr Ser Leu Ser
165 170 175

Ser Thr Leu Thr Leu Ser Lys Ala Asp Tyr Glu Lys His Lys Leu Tyr
180 185 190

Ala Cys Glu Val Thr His Gln Gly Leu Ser Ser Pro Val Thr Lys Ser
195 200 205

Phe Asn Arg Gly Glu Cys
210

<210> 2

<211> 221

<212> PRT

<213> Artificial Sequence

<220>

<223> Panitumumab light chain

<400> 2

Asp Ile Val Met Thr Gln Ser Pro Leu Ser Leu Pro Val Thr Pro Gly

1	5	10	15
Glu Pro Ala Ser Ile Ser Cys Arg Ser Ser Gln Asn Ile Val His Asn			
20	25		30
Asn Gly Ile Thr Tyr Leu Glu Trp Tyr Leu Gln Lys Pro Gly Gln Ser			
35	40		45
Pro Gln Leu Leu Ile Tyr Lys Val Ser Asp Arg Phe Ser Gly Val Pro			
50	55		60
Asp Arg Phe Ser Gly Ser Gly Ser Gly Thr Asp Phe Thr Leu Lys Ile			
65	70	75	80
Ser Arg Val Glu Ala Glu Asp Val Gly Val Tyr Tyr Cys Phe Gln Gly			
85	90		95
Ser His Ile Pro Pro Thr Phe Gly Gln Gly Thr Lys Val Glu Ile Lys			
100	105		110
Arg Ala Arg Thr Val Ala Ala Pro Ser Val Phe Ile Phe Pro Pro Ser			
115	120		125
Asp Glu Gln Leu Lys Ser Gly Thr Ala Ser Val Val Cys Leu Leu Asn			
130	135	140	
Asn Phe Tyr Pro Arg Glu Ala Lys Val Gln Trp Lys Val Asp Asn Ala			
145	150	155	160
Leu Gln Ser Gly Asn Ser Gln Glu Ser Val Thr Glu Gln Asp Ser Lys			
165	170		175
Asp Ser Thr Tyr Ser Leu Ser Ser Thr Leu Thr Leu Ser Lys Ala Asp			
180	185		190
Tyr Glu Lys His Lys Leu Tyr Ala Cys Glu Val Thr His Gln Gly Leu			
195	200		205
Ser Ser Pro Val Thr Lys Ser Phe Asn Arg Gly Glu Cys			
210	215		220

<210> 3
<211> 215
<212> PRT
<213> Artificial Sequence

<220>
<223> Trastuzumab light chain

<400> 3
 Ala Asp Ile Gln Met Thr Gln Ser Pro Ser Ser Leu Ser Ala Ser Val
 1 5 10 15
 Gly Asp Arg Val Thr Ile Thr Cys Arg Ala Ser Gln Asp Val Asn Thr
 20 25 30
 Ala Val Ala Trp Tyr Gln Gln Lys Pro Gly Lys Ala Pro Lys Leu Leu
 35 40 45
 Ile Tyr Ser Ala Ser Phe Leu Tyr Ser Gly Val Pro Ser Arg Phe Ser
 50 55 60
 Gly Ser Arg Ser Gly Thr Asp Phe Thr Leu Thr Ile Ser Ser Leu Gln
 65 70 75 80
 Pro Glu Asp Phe Ala Thr Tyr Tyr Cys Gln Gln His Tyr Thr Thr Pro
 85 90 95
 Pro Thr Phe Gly Gln Gly Thr Lys Val Glu Ile Lys Arg Thr Val Ala
 100 105 110
 Ala Pro Ser Val Phe Ile Phe Pro Pro Ser Asp Glu Gln Leu Lys Ser
 115 120 125
 Gly Thr Ala Ser Val Val Cys Leu Leu Asn Asn Phe Tyr Pro Arg Glu
 130 135 140
 Ala Lys Val Gln Trp Lys Val Asp Asn Ala Leu Gln Ser Gly Asn Ser
 145 150 155 160
 Gln Glu Ser Val Thr Glu Gln Asp Ser Lys Asp Ser Thr Tyr Ser Leu
 165 170 175
 Ser Ser Thr Leu Thr Leu Ser Lys Ala Asp Tyr Glu Lys His Lys Val
 180 185 190
 Tyr Ala Cys Glu Val Thr His Gln Gly Leu Ser Ser Pro Val Thr Lys
 195 200 205
 Ser Phe Asn Arg Gly Glu Cys

210

215

<210> 4
<211> 215
<212> PRT
<213> Artificial Sequence

<220>
<223> adalimumab light chain

<400> 4
Ala Asp Ile Gln Met Thr Gln Ser Pro Ser Ser Leu Ser Ala Ser Val
1 5 10 15
Gly Asp Arg Val Thr Ile Thr Cys Arg Ala Ser Gln Gly Ile Arg Asn
20 25 30
Tyr Leu Ala Trp Tyr Gln Gln Lys Pro Gly Lys Ala Pro Lys Leu Leu
35 40 45
Ile Tyr Ala Ala Ser Thr Leu Gln Ser Gly Val Pro Ser Arg Phe Ser
50 55 60
Gly Ser Gly Ser Gly Thr Asp Phe Thr Leu Thr Ile Ser Ser Leu Gln
65 70 75 80
Pro Glu Asp Val Ala Thr Tyr Tyr Cys Gln Arg Tyr Asn Arg Ala Pro
85 90 95
Tyr Thr Phe Gly Gln Gly Thr Lys Val Glu Ile Lys Arg Thr Val Ala
100 105 110
Ala Pro Ser Val Phe Ile Phe Pro Pro Ser Asp Glu Gln Leu Lys Ser
115 120 125
Gly Thr Ala Ser Val Val Cys Leu Leu Asn Asn Phe Tyr Pro Arg Glu
130 135 140
Ala Lys Val Gln Trp Lys Val Asp Asn Ala Leu Gln Ser Gly Asn Ser
145 150 155 160
Gln Glu Ser Val Thr Glu Gln Asp Ser Lys Asp Ser Thr Tyr Ser Leu
165 170 175
Ser Ser Thr Leu Thr Leu Ser Lys Ala Asp Tyr Glu Lys His Lys Leu
180 185 190
Tyr Ala Cys Glu Val Thr His Gln Gly Leu Ser Ser Pro Val Thr Lys
195 200 205
Ser Phe Asn Arg Gly Glu Cys
210 215

<210> 5
<211> 215
<212> PRT
<213> Artificial Sequence

<220>
<223> DENOSUMAB LIGHT CHAIN

<400> 5
Glu Ile Val Leu Thr Gln Ser Pro Gly Thr Leu Ser Leu Ser Pro Gly
1 5 10 15
Glu Arg Ala Thr Leu Ser Cys Arg Ala Ser Gln Ser Val Arg Gly Arg
20 25 30
Tyr Leu Ala Trp Tyr Gln Gln Lys Pro Gly Gln Ala Pro Arg Leu Leu
35 40 45
Ile Tyr Gly Ala Ser Ser Arg Ala Thr Gly Ile Pro Asp Arg Phe Ser
50 55 60
Gly Ser Gly Ser Gly Thr Asp Phe Thr Leu Thr Ile Ser Arg Leu Glu
65 70 75 80
Pro Glu Asp Phe Ala Val Phe Tyr Cys Gln Gln Tyr Gly Ser Ser Pro
85 90 95
Arg Thr Phe Gly Gln Gly Thr Lys Val Glu Ile Lys Arg Thr Val Ala
100 105 110
Ala Pro Ser Val Phe Ile Phe Pro Pro Ser Asp Glu Gln Leu Lys Ser

115 120 125
Gly Thr Ala Ser Val Val Cys Leu Leu Asn Asn Phe Tyr Pro Arg Glu
130 135 140
Ala Lys Val Gln Trp Lys Val Asp Asn Ala Leu Gln Ser Gly Asn Ser
145 150 155 160
Gln Glu Ser Val Thr Glu Gln Asp Ser Lys Asp Ser Thr Tyr Ser Leu
165 170 175
Ser Ser Thr Leu Thr Leu Ser Lys Ala Asp Tyr Glu Lys His Lys Leu
180 185 190
Tyr Ala Cys Glu Val Thr His Gln Gly Leu Ser Ser Pro Val Thr Lys
195 200 205
Ser Phe Asn Arg Gly Glu Cys
210 215

<210> 6
<211> 215
<212> PRT
<213> Artificial Sequence

<220>
<223> Ipilimumab light chain

<400> 6
Glu Ile Val Leu Thr Gln Ser Pro Gly Thr Leu Ser Leu Ser Pro Gly
1 5 10 15
Glu Arg Ala Thr Leu Ser Cys Arg Ala Ser Gln Ser Val Gly Ser Ser
20 25 30
Tyr Leu Ala Trp Tyr Gln Gln Lys Pro Gly Gln Ala Pro Arg Leu Leu
35 40 45
Ile Tyr Gly Ala Phe Ser Arg Ala Thr Gly Ile Pro Asp Arg Phe Ser
50 55 60
Gly Ser Gly Ser Gly Thr Asp Phe Thr Leu Thr Ile Ser Arg Leu Glu
65 70 75 80
Pro Glu Asp Phe Ala Val Tyr Tyr Cys Gln Gln Tyr Gly Ser Ser Pro
85 90 95
Trp Thr Phe Gly Gln Gly Thr Lys Val Glu Ile Lys Arg Thr Val Ala
100 105 110
Ala Pro Ser Val Phe Ile Phe Pro Pro Ser Asp Glu Gln Leu Lys Ser
115 120 125
Gly Thr Ala Ser Val Val Cys Leu Leu Asn Asn Phe Tyr Pro Arg Glu
130 135 140
Ala Lys Val Gln Trp Lys Val Asp Asn Ala Leu Gln Ser Gly Asn Ser
145 150 155 160
Gln Glu Ser Val Thr Glu Gln Asp Ser Lys Asp Ser Thr Tyr Ser Leu
165 170 175
Ser Ser Thr Leu Thr Leu Ser Lys Ala Asp Tyr Glu Lys His Lys Leu
180 185 190
Tyr Ala Cys Glu Val Thr His Gln Gly Leu Ser Ser Pro Val Thr Lys
195 200 205
Ser Phe Asn Arg Gly Glu Cys
210 215

<210> 7
<211> 214
<212> PRT
<213> Artificial Sequence

<220>
<223> tremelimumab light chain

<400> 7
Asp Ile Gln Met Thr Gln Ser Pro Ser Ser Leu Ser Ala Ser Val Gly
1 5 10 15
Asp Arg Val Thr Ile Thr Cys Arg Ala Ser Gln Ser Ile Asn Ser Tyr

20	25	30
Leu Asp Trp Tyr Gln Gln Lys Pro Gly Lys Ala Pro Lys Leu Leu Ile		
35	40	45
Tyr Ala Ala Ser Ser Leu Gln Ser Gly Val Pro Ser Arg Phe Ser Gly		
50	55	60
Ser Gly Ser Gly Thr Asp Phe Thr Leu Thr Ile Ser Ser Leu Gln Pro		
65	70	75
Glu Asp Phe Ala Thr Tyr Tyr Cys Gln Gln Tyr Tyr Ser Thr Pro Phe		
85	90	95
Thr Phe Gly Pro Gly Thr Lys Val Glu Ile Lys Arg Thr Val Ala Ala		
100	105	110
Pro Ser Val Phe Ile Phe Pro Pro Ser Asp Glu Gln Leu Lys Ser Gly		
115	120	125
Thr Ala Ser Val Val Cys Leu Leu Asn Asn Phe Tyr Pro Arg Glu Ala		
130	135	140
Lys Val Gln Trp Lys Val Asp Asn Ala Leu Gln Ser Gly Asn Ser Gln		
145	150	155
Glu Ser Val Thr Glu Gln Asp Ser Lys Asp Ser Thr Tyr Ser Leu Ser		
165	170	175
Ser Thr Leu Thr Leu Ser Lys Ala Asp Tyr Glu Lys His Lys Leu Tyr		
180	185	190
Ala Cys Glu Val Thr His Gln Gly Leu Ser Ser Pro Val Thr Lys Ser		
195	200	205
Phe Asn Arg Gly Glu Cys		
210		

<210> 8
<211> 219
<212> PRT
<213> Artificial Sequence

<220>
<223> efalizumab light chain

<400> 8	<400> 8	<400> 8
Ala Ala Gln Pro Ala Asp Ile Gln Met Thr Gln Ser Pro Ser Ser Leu		
1	5	10
Ser Ala Ser Val Gly Asp Arg Val Thr Ile Thr Cys Arg Ala Ser Lys		
20	25	30
Thr Ile Ser Lys Tyr Leu Ala Trp Tyr Gln Gln Lys Pro Gly Lys Ala		
35	40	45
Pro Lys Leu Leu Ile Tyr Ser Gly Ser Thr Leu Gln Ser Gly Val Pro		
50	55	60
Ser Arg Phe Ser Gly Ser Gly Thr Asp Phe Thr Leu Thr Ile		
65	70	75
Ser Ser Leu Gln Pro Glu Asp Phe Ala Thr Tyr Tyr Cys Gln Gln His		
85	90	95
Asn Glu Tyr Pro Leu Thr Phe Gly Gln Gly Thr Lys Val Glu Ile Lys		
100	105	110
Arg Thr Val Ala Ala Pro Ser Val Phe Ile Phe Pro Pro Ser Asp Glu		
115	120	125
Gln Leu Lys Ser Gly Thr Ala Ser Val Val Cys Leu Leu Asn Asn Phe		
130	135	140
Tyr Pro Arg Glu Ala Lys Val Gln Trp Lys Val Asp Asn Ala Leu Gln		
145	150	155
Ser Gly Asn Ser Gln Glu Ser Val Thr Glu Gln Asp Ser Lys Asp Ser		
165	170	175
Thr Tyr Ser Leu Ser Ser Thr Leu Thr Leu Ser Lys Ala Asp Tyr Glu		
180	185	190
Lys His Lys Leu Tyr Ala Cys Glu Val Thr His Gln Gly Leu Ser Ser		
195	200	205
Pro Val Thr Lys Ser Phe Asn Arg Gly Glu Cys		
210	215	

<210> 9
<211> 216
<212> PRT
<213> Artificial Sequence

<220>
<223> ustekinumab light chain

<400> 9
Asp Ile Gln Met Thr Gln Ser Pro Ser Ser Leu Ser Ala Ser Val Gly
1 5 10 15
Asp Arg Val Thr Ile Thr Cys Arg Ala Ser Gln Gly Ile Ser Ser Trp
20 25 30
Leu Ala Trp Tyr Gln Gln Lys Pro Glu Lys Ala Pro Lys Ser Leu Ile
35 40 45
Tyr Ala Ala Ser Ser Leu Gln Ser Gly Val Pro Ser Arg Phe Ser Gly
50 55 60
Ser Gly Ser Gly Thr Asp Phe Thr Leu Thr Ile Ser Ser Leu Gln Pro
65 70 75 80
Glu Asp Phe Ala Thr Tyr Tyr Cys Gln Gln Tyr Asn Ile Tyr Pro Tyr
85 90 95
Thr Phe Gly Gln Gly Thr Lys Leu Glu Ile Lys Arg Thr Val Ala Ala
100 105 110
Pro Ser Val Phe Ile Phe Pro Pro Ser Asp Glu Gln Leu Lys Ser Gly
115 120 125
Thr Ala Ser Val Val Cys Leu Leu Asn Asn Phe Tyr Pro Arg Glu Ala
130 135 140
Lys Val Gln Trp Lys Val Asp Asn Ala Leu Gln Ser Gly Asn Ser Gln
145 150 155 160
Glu Ser Val Thr Glu Gln Asp Ser Lys Asp Ser Thr Tyr Ser Leu Ser
165 170 175
Ser Thr Leu Thr Leu Ser Lys Ala Asp Tyr Glu Lys His Lys Leu Tyr
180 185 190
Ala Cys Glu Val Thr His Gln Gly Leu Ser Ser Pro Val Thr Lys Ser
195 200 205
Phe Asn Arg Gly Glu Cys Leu Glu
210 215

<210> 10
<211> 15
<212> PRT
<213> Artificial Sequence

<220>
<223> IgG1 hinge

<400> 10
Glu Pro Lys Ser Cys Asp Lys Thr His Thr Cys Pro Pro Cys Pro
1 5 10 15

<210> 11
<211> 12
<212> PRT
<213> Artificial Sequence

<220>
<223> IgG2 hinge

<400> 11
Glu Arg Lys Cys Cys Val Glu Cys Pro Pro Cys Pro
1 5 10

<210> 12
<211> 62

<212> PRT
<213> Artificial Sequence

<220>
<223> IgG3 hinge

<400> 12
Glu Leu Lys Thr Pro Leu Gly Asp Thr Thr His Thr Cys Pro Arg Cys
1 5 10 15
Pro Glu Pro Lys Ser Cys Asp Thr Pro Pro Pro Cys Pro Arg Cys Pro
20 25 30
Glu Pro Lys Ser Cys Asp Thr Pro Pro Pro Cys Pro Arg Cys Pro Glu
35 40 45
Pro Lys Ser Cys Asp Thr Pro Pro Pro Cys Pro Arg Cys Pro
50 55 60

<210> 13
<211> 12
<212> PRT
<213> Artificial Sequence

<220>
<223> IgG4 hinge

<400> 13
Glu Ser Lys Tyr Gly Pro Pro Cys Pro Ser Cys Pro
1 5 10

<210> 14
<211> 23
<212> PRT
<213> Artificial Sequence

<220>
<223> IgA1 hinge

<400> 14
Pro Val Pro Ser Thr Pro Pro Thr Pro Ser Pro Ser Thr Pro Pro Thr
1 5 10 15
Pro Ser Pro Ser Cys Cys His
20

<210> 15
<211> 10
<212> PRT
<213> Artificial Sequence

<220>
<223> IgA2 hinge

<400> 15
Pro Val Pro Pro Pro Pro Cys Cys His
1 5 10

<210> 16
<211> 6
<212> PRT
<213> Artificial Sequence

<220>
<223> MMP2 substrate

<400> 16
Gly Pro Leu Gly Val Arg

<210> 17
 <211> 2445
 <212> DNA
 <213> Artificial Sequence

 <220>
 <223> IgG1 Hinge Ipilimumab

 <400> 17

gctagcaagc ttgttatcca ccatggagac agacacactc ctgctatggg tactgctgct	60
ctgggttcca ggttccactg gtgacgagcc caaatcttgt gacaaaaactc acacatgccc	120
accgtgcccc gttaacggcg gcggcggcag cggtcccttg ggtgtgagag cggcccgacc	180
ggccgaaatt gtgttgacgc agtctccagg caccctgtct ttgtctccag gggaaagagc	240
caccctctcc tgcagggcca gtcagagtgt tggcagcagc tacttagcct ggtaccagca	300
gaaacctggc caggctccca ggctcctcat ctatggtca ttcagcaggg ccactggcat	360
cccagacagg ttcagtggca gtgggtctgg gacagacttc actctcacca tcagcagact	420
ggagcctgaa gattttgcag tgtattactg tcagcagttat ggtagctcac cgtggacggt	480
cggccaagg accaagggtgg aaatcaaactg gactgtggct gcaccatctg tttcatctt	540
cccgccatct gatgagcagt tgaatctgg aactgcctct gtgtgtgcc tgctgaataa	600
cttctatccc agagaggcca aagtacagtg gaagggtggat aacgcccctcc aatcgggtaa	660
ctcccaggag agtgtcacag agcaggacag caaggacagc acctacagcc tcagcagcac	720
cctgacgctg agcaaaggcag actacgagaa acacaaactc tacgcctgctg aagtccacca	780
tcagggcctg agctcgcccg tcacaaagag cttcaacagg ggagagtgcc tcgagcggc	840
aaaacgagca ccagtaaaac aaacactaaa cttcgaccta ctaaaacttag caggagacgt	900
agaatcaaac ccaggaccag ccacaaccat ggagacagac acactcctgc tatgggtact	960
gctgctctgg gttccaggtt ccactggta cgagccaaa tcttgtgaca aaactcacac	1020
atgcccaccc tgcccaggcg gccgcggcgg cggcggcagc ggtccctgg gtgtgagaag	1080
atctcaggtg cagctggtg agtctgggg aggctggtc cagcctggg ggtccctgag	1140
actctcctgt gcagcctctg gattcacctt cagtagctat actatgcact ggtcccgcca	1200
ggctccaggc aaggggctgg agtgggtgac atttatata tatgatggaa acaataaata	1260
ctacgcagac tccgtgaagg gccgattcac catctccaga gacaattcca agaacacgct	1320
gtatctgcaa atgaacagcc tgagagctga ggacacggct atatattact gtgcgaggac	1380
cggctggctg gggcccttg actactgggg ccagggAACCTGACGGTCAAGAGCA CCTCTGGGG	1440
ctccaccaag ggaccatcggttcccttggccaccctcc tccaagagca cctctgggg	1500
cacagcggcc ctgggctgccc tggtcaagga ctacttcccc gaaccgggtga cgggtcggt	1560
gaactcaggc gccctgacca gcggcgtgca caccttcccc gctgtcctac agtcctcagg	1620

actctactcc	ctcagcagcg	tggtgaccgt	gccctccagc	agcttggca	cccagaccta	1680
catctgcaac	gtgaatcaca	agcccagcaa	caccaaggc	gacaagaaag	ttgagccaa	1740
atcttgtac	aaaactcaca	catgcccacc	gtgcccagca	cccgaaactcc	tggggggacc	1800
gtcagtcttc	ctcttcccc	caaaacccaa	ggacaccctc	atgatctccc	ggaccctga	1860
ggtcacatgc	gtgggtgg	acgtgagcca	cgaagaccct	gaggtcaagt	tcaactggta	1920
cgtggacggc	gtggaggtgc	ataatgccaa	gacaaagccg	cgggaggagc	agtacaacag	1980
cacgtaccgt	gtggtcagcg	tcctcaccgt	cctgcaccag	gactggctga	atggcaagga	2040
gtacaagtgc	aaggcttcca	acaaagccct	cccagcccc	atcgagaaaa	ccatctccaa	2100
agccaagggg	cagccccgag	aaccacaggt	gtacaccctg	cccccatccc	ggatgagct	2160
gaccaagaac	caggtcagcc	tgacctgcct	ggtcaaaggc	ttctatccca	gcgacatcgc	2220
cgtggagtgg	gagagcaatg	ggcagccgga	gaacaactac	aagaccacgc	ctccctgct	2280
ggactccgac	ggctccttct	tcctctacag	caagctcacc	gtggacaaga	gcaggtggca	2340
gcaggggaac	gtcttctcat	gctccgtgat	gcatgaggct	ctgcacaacc	actacacgca	2400
gaagagcctc	tccctgtctc	cggtaaata	aatcgatggc	gcgcc		2445

<210> 18
 <211> 2427
 <212> DNA
 <213> Artificial Sequence

<220>
 <223> IgG2 Hinge Ipilimumab

<400> 18						
gctagcaagc	ttgttatcca	ccatggagac	agacacactc	ctgctatggg	tactgctgct	60
ctgggttcca	ggttccactg	gtgacgagcg	caaatgttgt	gtcgagtgcc	caccgtgccc	120
agttaacggc	ggcggcgca	gcggtccct	gggtgtgaga	gcggcccgac	cggccaaat	180
tgtgttgc	cagtctccag	gcaccctgtc	tttgtctcca	ggggaaagag	ccaccctctc	240
ctgcagggcc	agtcagagtg	ttggcagcag	ctacttagcc	tggtaccagc	agaaacctgg	300
ccaggctccc	aggctcctca	tctatggtgc	attcagcagg	gccactggca	tcccagacag	360
gttcagtggc	agtgggtctg	ggacagactt	cactctcacc	atcagcagac	tggagcctga	420
agattttgca	gtgtattact	gtcagcagta	tggtagctca	ccgtggacgt	tcggccaagg	480
gaccaaggtg	gaaatcaaac	ggactgtggc	tgcaccatct	gtcttcatct	tcccggcatc	540
tgtatgagcag	ttgaaatctg	gaactgcctc	tgttgtgtgc	ctgctgaata	acttctatcc	600
cagagaggcc	aaagtacagt	ggaaggtgga	taacgcctc	caatcgggta	actcccagga	660
gagtgtcaca	gagcaggaca	gcaaggacag	cacctacagc	ctcagcagca	ccctgacgct	720
gagcaaagca	gactacgaga	aacacaaact	ctacgcctgc	gaagtcaccc	atcagggct	780

gagctcgccc	gtcacaaaga	gctcaacag	gggagagtgc	ctcgagcgag	caaaacgagc	840
accagtaaaa	caaacactaa	acttcgacct	actaaaacta	gcaggagacg	tagaatcaaa	900
cccaggacca	gccacaacca	tggagacaga	cacactcctg	ctatgggtac	tgctgctctg	960
ggttccaggt	tccactggtg	acgagcgcaa	atgttgtgtc	gagtgcccac	cgtgcccagg	1020
cggccgcggc	ggcggcggca	gcgggtcccct	gggtgtgaga	agatctcagg	tgcagctgg	1080
ggagtctggg	ggagggcgtgg	tccagcctgg	gaggtccctg	agactctcct	gtgcagcctc	1140
tggattcacc	ttcagtagct	atactatgca	ctgggtccgc	caggctccag	gcaaggggct	1200
ggagtggttg	acatttatat	catatgatgg	aaacaataaa	tactacgcag	actccgtgaa	1260
gggcgcattc	accatctcca	gagacaattc	caagaacacg	ctgtatctgc	aatgaacag	1320
cctgagagct	gaggacacgg	ctatatatta	ctgtgcgagg	accggctggc	tggggccctt	1380
tgactactgg	ggccagggaa	ccctggtcac	cgtctcctca	gcctccacca	agggaccatc	1440
ggtcttcccc	ctggcacccct	cctccaagag	cacctctggg	ggcacagcgg	ccctgggctg	1500
cctggtaag	gactacttcc	ccgaaccggt	gacggtgtcg	tggaactcag	gcgcctgac	1560
cagcggcgtg	cacaccttcc	cggctgtcct	acagtcctca	ggactctact	ccctcagcag	1620
cgtggtgacc	gtgccttcca	gcagcttggg	cacccagacc	tacatctgca	acgtgaatca	1680
caagcccagc	aacaccaagg	tcgacaagaa	agttgagccc	aaatcttgtg	acaaaactca	1740
cacatgcccc	ccgtgcccag	cacccgaact	cctgggggga	ccgtcagtct	tcctttccc	1800
cccaaaaccc	aaggacaccc	tcatgatctc	ccggacccct	gaggtcacat	gcgtgggtg	1860
ggacgtgagc	cacgaagacc	ctgaggtcaa	gttcaactgg	tacgtggacg	gcgtggaggt	1920
gcataatgcc	aagacaaagc	cggggagga	gcagtacaac	agcacgtacc	gtgtggtcag	1980
cgtcctcacc	gtcctgcacc	aggactggct	gaatggcaag	gagtacaagt	gcaaggtctc	2040
caacaaagcc	ctcccagccc	ccatcgagaa	aaccatctcc	aaagccaagg	ggcagccccc	2100
agaaccacag	gtgtacaccc	tgccccatc	ccgggatgag	ctgaccaaga	accaggtcag	2160
cctgacctgc	ctggtcaaag	gcttctatcc	cagcgacatc	gccgtggagt	gggagagcaa	2220
tggcagccg	gagaacaact	acaagaccac	gcctccctg	ctggactccg	acggctcctt	2280
cttcctctac	agcaagctca	ccgtggacaa	gagcaggtgg	cagcagggga	acgtttctc	2340
atgctccgtg	atgcatgagg	ctctgcacaa	ccactacacg	cagaagagcc	tctccctgtc	2400
tccggtaaa	taaatcgatg	gcgcgccc				2427

<210> 19
<211> 2727
<212> DNA
<213> Artificial Sequence

<220>

<223> IgG3 Hinge Ipilimumab

<400> 19

gctagcaagc ttgttatcca ccatggagac agacacactc ctgctatggg tactgctgt	60
ctgggttcca ggttccactg gtgacgagct caaaaacccc cttggtgaca caactcacac	120
atgcccacgg tgcccagagc ccaaatacttg tgacacaccc cccccgtgcc cacgggtgcc	180
agagccaaa tcttgtgaca cacccccc atgcccacgg tgcccagagc ccaaatacttg	240
tgacacaccc cccccgtgcc caaggtgcc agttaacggc ggcggcggca gcgggtccct	300
gggtgtgaga gcggcccaagc cggccgaaat tgtgttgacg cagtctccag gcaccctgtc	360
tttgtctcca ggggaaagag ccaccctctc ctgcaggggcc agtcagagtg ttggcagcag	420
ctacttagcc tggtaaccagc agaaacctgg ccaggctccc aggctcctca tctatggtgc	480
attcagcagg gccactggca tcccagacag gttcagtgcc agtgggtctg ggacagactt	540
cactctcacc atcagcagac tggagcctga agatttgca gtgtattact gtcagcagta	600
tggtagctca ccgtggacgt tcggccaagg gaccaaggtg gaaatcaaac ggactgtggc	660
tgcaccatct gtcttcatct tcccgccatc tgatgagcag ttgaaatctg gaactgcctc	720
tgttgtgtgc ctgctgaata acttctatcc cagagaggcc aaagtacagt ggaagggtgga	780
taacgcctc caatcggta actcccagga gagtgtcaca gagcaggaca gcaaggacag	840
cacctacagc ctcagcagca ccctgacgct gagcaaagca gactacgaga aacacaaact	900
ctacgcctgc gaagtcaccc atcagggcct gagctcgccc gtcacaaaga gcttcaacag	960
gggagagtgc ctcgagcggc caaaaacgagc accagtaaaa caaacactaa acttcgaccc	1020
actaaaaacta gcaggagacg tagaatcaaa cccaggacca gccacaacca tggagacaga	1080
cacactcctg ctatgggtac tgctgctctg ggttccaggt tccactggtg acgagctcaa	1140
aaccccaactt ggtgacacaa ctcacacatg cccacgggtgc ccagagccca aatcttgtga	1200
cacacctccc ccgtgcccac ggtgccaga gcccaaactt tgtgacacac ctccccatg	1260
cccacgggtgc ccagagccca aatcttgtga cacacctccc ccgtgcccac ggtgcccagg	1320
cggccgcggc ggcggcggca gcgggtccct ggggtgtgaga agatctcagg tgcagctgg	1380
ggagtctggg ggaggcgtgg tccagcctgg gaggtccctg agactctccct gtgcagcctc	1440
tggattcacc ttcatgtact atactatgca ctgggtccgc caggctccag gcaaggggct	1500
ggagtgggtg acatttatat catatgatgg aaacaataaa tactacgcag actccgtgaa	1560
gggccgattc accatctcca gagacaattc caagaacacg ctgtatctgc aaatgaacag	1620
cctgagagct gaggacacgg ctatataatta ctgtgcgagg accggctggc tggggccctt	1680
tgactactgg ggccaggaa ccctggtcac cgtctcctca gcctccacca agggaccatc	1740
ggtcttcccc ctggcacccct cttccaagag cacctctggg ggcacagcgg ccctggctg	1800
cctggtaag gactacttcc ccgaaccggc gacgggtgtcg tggaaactcag gcccctgac	1860

cagcggcgtg cacaccttcc cggctgtcct acagtccctca ggactctact ccctcagcag	1920
cgtggtgacc gtgccctcca gcagcttggg cacccagacc tacatctgca acgtgaatca	1980
caagcccagc aacaccaagg tcgacaagaa agttgagccc aaatcttgtg acaaaaactca	2040
cacatgcccc caagtgcggcag cacccgaact cctggggggc ccgtcagtct tcctcttccc	2100
cccaaaaaccc aaggacaccc tcatgatctc ccggaccctt gaggtcacat gcgtgggtgg	2160
ggacgtgagc cacgaagacc ctgaggtcaa gttcaactgg tacgtggacg gcgtggaggt	2220
gcataatgcc aagacaaagc cgccggagga gcagtacaac agcacgtacc gtgtggtcag	2280
cgtccctcacc gtcctgcacc aggactggct gaatggcaag gagtacaagt gcaaggcttc	2340
caacaaagcc ctcccagccc ccatcgagaa aaccatctcc aaagccaagg ggcagccccc	2400
agaaccacag gtgtacaccc tgccccatc ccgggatgag ctgaccaaga accaggtcag	2460
cctgacctgc ctggtaaaag gcttctatcc cagcgacatc gccgtggagt gggagagcaa	2520
tggcagccg gagaacaact acaagaccac gcctccctgt ctggactccg acggctcctt	2580
cttcctctac agcaagctca ccgtggacaa gagcaggtgg cagcagggga acgtcttctc	2640
atgctccgtg atgcatgagg ctctgcacaa ccactacacg cagaagagcc tctccctgtc	2700
tccggtaaa taaatcgatg gcgcgcc	2727

<210> 20
<211> 2427
<212> DNA
<213> Artificial Sequence

<220>
<223> IgG4 Hinge Ipilimumab

<400> 20 gctagcaagc ttgttatcca ccatggagac agacacactc ctgctatggg tactgctgct	60
ctgggttcca gttccactg gtgacgagtc caaatatggt ccccatgccc catcatgccc	120
agttaacggc ggccggccgc gcggccccct gggtgtgaga gcggccccc cggccaaat	180
tgtgttgcgc cagtctccag gcaccctgtc tttgtctcca gggaaagag ccaccctctc	240
ctgcaggggcc agtcagagtg ttggcagcag ctacttagcc tggtaaccagg agaaacctgg	300
ccaggctccc aggctcctca tctatggtgc attcagcagg gccactggca tcccagacag	360
gttcagtggc agtgggtctg ggacagactt cactctcacc atcagcagac tggagcctga	420
agattttgca gtgtattact gtcagcagta tggtagctca ccgtggacgt tcggccaagg	480
gaccaaggtg gaaatcaaac ggactgtggc tgcaccatct gtcttcattt tcccgccatc	540
tgtatgagcag ttgaaatctg gaactgcctc tggatgtgc ctgctgaata acttctatcc	600
cagagaggcc aaagtacagt ggaagggtgga taacgcctc caatcggtta actcccagga	660
gagtgtcaca gagcaggaca gcaaggacag cacctacacg ctcagcagca ccctgacgct	720

gagcaaagca gactacgaga aacacaaaact ctacgcctgc gaagtcaccc atcagggcct	780
gagctcgccc gtcacaaaga gcttcaacag gggagaggtgc ctcgagcgag caaaaacgagc	840
accagtaaaa caaacactaa acttcgaccc actaaaacta gcaggagacg tagaatcaaa	900
cccaggacca gccacaacca tggagacaga cacactcctg ctatgggtac tgctgcttg	960
ggttccaggt tccactggtg acgagtccaa atatggtccc ccatgcccatt catgcccagg	1020
cggccgcggc ggcggcggca gcggtcccct gggtgtgaga agatctcagg tgcagctgg	1080
ggagttctggg ggaggcgtgg tccagcctgg gaggtccctg agacttcctt gtgcagcctc	1140
tggattcacc ttca tagtact atactatgca ctgggtccgc caggctccag gcaaggggct	1200
ggagttgggtg acatttatcatatgatgg aaacaataaa tactacgcag actccgtgaa	1260
ggggccgattc accatctcca gagacaattc caagaacacg ctgtatctgc aaatgaacag	1320
cctgagagct gaggacacgg ctatataattt ctgtgcgagg accggctggc tggggccctt	1380
tgactactgg ggccaggaa ccctggtcac cgtctcctca gcctccacca agggaccatc	1440
ggttttcccc ctggcacccct cctccaagag cacctctggg ggcacagcgg ccctggctg	1500
cctggtaag gactacttcc ccgaaccggt gacggtgtcg tggaaactcag gcccctgac	1560
cagcggcgtg cacaccttcc cggctgtctt acagtccctca ggactctact ccctcagcag	1620
cgtggtgacc gtgccctcca gcagcttggg cacccagacc tacatctgca acgtaatca	1680
caagcccagc aacaccaagg tcgacaagaa agttgagccc aaatcttgg aaaaaactca	1740
cacatgcccc ccgtgcccag cacccgaact cctggggggc ccgtcagtct tcctttccc	1800
cccaaaaccc aaggacaccc tcatgatctc ccggacccct gaggtcacat gcgtgggtgg	1860
ggacgtgagc cacgaagacc ctgaggtcaa gttcaactgg tacgtggacg gcgtggaggt	1920
gcataatgcc aagacaaagc cgccggagga gcagtacaac agcacgtacc gtgtggtcag	1980
cgtcctcacc gtcctgcacc aggactggct gaatggcaag gagtacaagt gcaagggtctc	2040
caacaaagcc ctcccagccc ccatcgagaa aaccatctcc aaagccaagg ggcagcccc	2100
agaaccacag gtgtacaccc tgccccatc ccgggatgag ctgaccaaga accaggtcag	2160
cctgacctgc ctggtaaag gcttctatcc cagcgacatc gccgtggagt gggagagcaa	2220
tgggcagccg gagaacaact acaagaccac gcctccctg ctggactccg acggctcatt	2280
cttcctctac agcaagctca ccgtggacaa gagcaggtgg cagcagggga acgttttctc	2340
atgctccgtg atgcatgagg ctctgcacaa ccactacacg cagaagagcc tctccctgtc	2400
tccggtaaa taaatcgatg gcgcgccc	2427

<210> 21
 <211> 2469
 <212> DNA
 <213> Artificial Sequence

<220>

<223> IgA1 Hinge Ipilimumab

<400> 21

gctagcaagc ttgttatcca ccatggagac agacacactc ctgctatggg tactgctgct	60
ctgggttcca ggttccactg gtgacccagt tccctcaact ccacctaccc catctccctc	120
aactccacct accccatctc cctcatgctg ccacgttaac ggcggcggcg gcagcggtcc	180
cctgggtgtg agagcggccc agccggccga aattgtgttg acgcagtctc caggcaccct	240
gtctttgtct ccagggaaa gagccacccct ctccctgcagg gccagtcaga gtgttggcag	300
cagctactta gcctggtacc agcagaaacc tggccaggct cccaggctcc tcatactatgg	360
tgcattcagc agggccactg gcatcccaga caggttcagt ggcagtggt ctggacaga	420
tttcaactctc accatcagca gactggagcc tgaagattt gcagtgtatt actgtcagca	480
gtatggtagc tcaccgtgga cgttcggcca agggaccaag gtggaaatca aacggactgt	540
ggctgcacca tctgtcttca tcttcccgcc atctgtatgag cagttgaaat ctggaactgc	600
ctctgttgtg tgcctgctga ataacttcta tcccagagag gccaaggatc agtggaaagg	660
ggataacgcc ctccaatcgg gtaactccca ggagagtgtc acagagcagg acagcaagga	720
cagcacctac agcctcagca gcaccctgac gctgagcaaa gcagactacg agaaacacaa	780
actctacgcc tgcgaagtca cccatcaggg cctgagctcg cccgtcacaa agagcttcaa	840
cagggagag tgcctcgagc gagaaaaacg agcaccagta aaacaaacac taaacttcga	900
cctactaaaa ctagcaggag acgtagaatc aaacccagga ccagccacaa ccatggagac	960
agacacactc ctgctatggg tactgctgct ctgggttcca ggttccactg gtgacgagcc	1020
caaattttgt gacaaaactc acacatgccc accgtcccc ggcggccgca ggcggccgg	1080
cagcgtccc ctgggtgtga gaagatctca ggtgcagctg gtggagtctg ggggaggcgt	1140
ggtccagcct gggaggtccc tgagactctc ctgtgcagcc tctggattca cttcagtag	1200
ctatactatg cactgggtcc gccaggctcc aggcaagggg ctggagtggg tgacatttat	1260
atcatatgat ggaaacaata aatactacgc agactccgtg aagggccgat tcaccatctc	1320
cagagacaat tccaagaaca cgctgtatct gcaaataatgaaac agcctgagag ctgaggacac	1380
ggctatatat tactgtgcga ggaccggctg gctggggccc tttgactact gggccaggg	1440
aaccctggtc accgtctctt cagcctccac caagggacca tcggatttcc ccctggcacc	1500
ctcctccaag agcacctctg gggcacagc ggccctggc tgcctggtca aggactactt	1560
ccccgaaccg gtgacgggtgt cgtggaaactc aggcgcctg accagcggcg tgcacacctt	1620
cccggtgtc ctacagtcct caggactcta ctccctcagc agcgtggtga ccgtccctc	1680
cagcagcttgc ggcacccaga cttacatctg caacgtaat cacaagccca gcaacaccaa	1740
ggtcgacaag aaagttgagc ccaaattttt tgacaaaact cacacatgcc caccgtgcc	1800

agcacccgaa	ctcctgggg	gaccgtcagt	cttcctttc	cccccaaaac	ccaaggacac	1860
cctcatgatc	tcccggaccc	ctgaggtcac	atgcgtggtg	gtggacgtga	gccacgaaga	1920
ccctgaggtc	aagttcaact	ggtacgtgga	cggcggtggag	gtgcataatg	ccaagacaaa	1980
gccgcgggag	gagcagtaca	acagcacgta	ccgtgtggtc	agcgtcctca	ccgtcctgca	2040
ccaggactgg	ctgaatggca	aggagtacaa	gtgcaaggtc	tccaacaaag	ccctcccagc	2100
ccccatcgag	aaaaccatct	ccaaagccaa	ggggcagccc	cgagaaccac	aggtgtacac	2160
cctgccccca	tcccgggatg	agctgaccaa	gaaccaggc	agcctgacct	gcctggtcaa	2220
aggcttctat	cccagcgaca	tcgcccgtgga	gtgggagagc	aatgggcagc	cggagaacaa	2280
ctacaagacc	acgcctcccg	tgctggactc	cgacggctcc	tttttcctct	acagcaagct	2340
caccgtggac	aagagcaggt	ggcagcaggg	gaacgtcttc	tcatgctccg	tgatgcatga	2400
ggctctgcac	aaccactaca	cgcagaagag	cctctccctg	tctccgggta	aataaatcga	2460
tggcgcgccc						2469

<210> 22
<211> 2415
<212> DNA
<213> Artificial Sequence

<220>
<223> IgA2 Hinge Ipilimumab

<400> 22						
gctagcaagc	ttgttatcca	ccatggagac	agacacactc	ctgctatggg	tactgctgct	60
ctgggttcca	ggttccactg	gtgaccagg	tcccccacct	cccccatgct	gccacgttaa	120
cggccggcggc	ggcagcggtc	ccctgggtgt	gagagcggcc	cagccggccg	aaatttgttt	180
gacgcagtct	ccaggcaccc	tgtctttgtc	tccaggggaa	agagccaccc	tctcctgcag	240
ggccagtcag	agtgttgca	gcagctactt	agcctggtac	cagcagaaac	ctggccaggc	300
tcccaggctc	ctcatctatg	gtgcattcag	cagggccact	ggcatcccag	acaggttcag	360
tggcagtggg	tctggacag	acttcactct	caccatcagc	agactggagc	ctgaagattt	420
tgcagtgtat	tactgtcagc	agtatggtag	ctcaccgtgg	acgttcggcc	aagggaccaa	480
ggtgaaatc	aaacggactg	tggctgcacc	atctgttttc	atcttcccgc	catctgatga	540
gcagttgaaa	tctggaactg	cctctgttgt	gtgcctgctg	aataacttct	atcccagaga	600
ggccaaagta	cagtggaaagg	tggataacgc	cctccaatcg	ggtaactccc	aggagagtgt	660
cacagagcag	gacagcaagg	acagcaccta	cagcctcagc	agcaccctga	cgctgagcaa	720
agcagactac	gagaaacaca	aactctacgc	ctgcgaagtc	acccatcagg	gcctgagctc	780
ccccgtcaca	aagagcttca	acaggggaga	gtgcctcgag	cgagcaaaac	gagcaccagt	840
aaaacaaaca	ctaaacttcg	acctactaaa	actagcagga	gacgtagaat	caaaccagg	900

accagccaca accatggaga cagacacact cctgctatgg gtactgctgc tctgggttcc	960
aggttccact ggtgaccagg ttccccacc tccccatgc tgccacggcg gccgcggcgg	1020
cggcggcagc ggtccccctgg gtgtgagaag atctcaggtg cagctggtgg agtctggggg	1080
aggcgtggtc cagcctggga ggtccctgag actctcctgt gcagcctctg gattcacctt	1140
cagtagctat actatgcact gggcccgcca ggctccaggc aagggggctgg agtgggtgac	1200
atttatatatca tatgatggaa acaataaata ctacgcagac tccgtgaagg gccgattcac	1260
catctccaga gacaattcca agaacacgct gtatctgcaa atgaacagcc tgagagctga	1320
ggacacggct atatattact gtgcgaggac cggctggctg gggccctttg actactgggg	1380
ccagggAACCT ctggtcaccg tctcctcagc ctccaccaag ggaccatcg tcttccccct	1440
ggcacccctcc tccaagagca cctctggggg cacagcggcc ctgggctgccc tggtaagga	1500
ctacttcccc gaaccggtga cggtgtcgtg gaactcaggc gccctgacca gcggcgtgca	1560
cacccccc gctgtcctac agtcctcagg actctactcc ctcagcagcg tggtgaccgt	1620
gccctccagc agcttggca cccagaccta catctgcaac gtgaatcaca agcccagcaa	1680
caccaagggtc gacaagaaag ttgagccaa atcttgcac aaaactcaca catgcccacc	1740
gtgcccagca cccgaactcc tggggggacc gtcagtcctc ctcttcccc caaaacccaa	1800
ggacacccctc atgatctccc ggacccctga ggtcacatgc gtgggtggtgg acgtgagcca	1860
cgaagacct gaggtcaagt tcaactggta cgtggacggc gtggaggtgc ataatgcca	1920
gacaaagccg cgggaggagc agtacaacag cacgtaccgt gtggtcagcg tcctcaccgt	1980
cctgcaccag gactggctga atggcaagga gtacaagtgc aaggtctcca acaaagccct	2040
cccaagccccc atcgagaaaa ccacatccaa agccaagggg cagccccgag aaccacaggt	2100
gtacaccctg ccccatccc gggatgagct gaccaagaac caggtcagcc tgacctgcct	2160
ggtcaaaggc ttctatccca gcacatcgc cgtggagtgg gagagcaatg ggcagccgga	2220
gaacaactac aagaccacgc ctcccgtgt ggactccgac ggctccttct tcctctacag	2280
caagctcacc gtggacaaga gcaggtggca gcagggaaac gtcttctcat gctccgtgat	2340
gcatgaggct ctgcacaacc actacacgca gaagagccctc tccctgtctc cgggtaaata	2400
aatcgatggc gcgcc	2415

<210> 23
 <211> 2451
 <212> DNA
 <213> Artificial Sequence

<220>
 <223> IgG1 Hinge Ticilimumab

<400> 23
 gctagcaagg ttgttatcca ccatggagac agacacactc ctgctatggg tactgctgct

ctgggttcca gttccactg gtgacgagcc caaatcttgt gacaaaactc acacatgcc 120
accgtgccc gtaacggcg gcggcggcag cggccccctg ggtgtgagag cggcccgaccc 180
ggccgacatc cagatgaccc agtctccatc ctccctgtct gcatctgttag gagacagagt 240
caccatcaact tgccggcaa gtcagagcat taacagctat ttagattggg atcagcagaa 300
accaggaaa gcccctaagc tcctgatcta tgctgcatacc agtttgcaaa gtggggtccc 360
atcaaggttc agtggcagtg gatctggac agatttcaact ctcaccatca gcagtcgtca 420
acctgaagat tttgcaactt actactgtca acagtattac agtaccccat tcactttcgg 480
ccctggacc aaagtggaaa tcaaacaac tggctgtca ccatctgtct tcatacttccc 540
gccatctgat gagcagttaa aatctggaaac tgcctctgtt gtgtgcctgc tgaataactt 600
ctatcccaga gaggccaaag tacagtggaa ggtggataac gccctccaat cgggtaactc 660
ccaggagagt gtcacagagc aggacagcaa ggacagcacc tacagcctca gcagcaccc 720
gacgctgagc aaagcagact acgagaaaca caaactctac gcctgcgaag tcacccatca 780
gggcctgagc tcgcccgtca caaagagctt caacagggga gagtgccctcg agcgagcaaa 840
acgagcacca gtaaaacaaa cactaaactt cgacctacta aaacttagcag gagacgtaga 900
atcaaaccacca ggaccagcca caaccatgga gacagacaca ctccctgctat gggtaactgct 960
gctctgggtt ccaggttcca ctggtgacga gcccaaattt tgtgacaaaaa ctcacacatg 1020
cccaccgtgc ccaggcggcc gcggcggcgg cggcagcggt cccctgggtg tgagaagatc 1080
tcaggtgcag ctggtgaggt ctggggggagg cgtggtccaa cggggggcggt ccctgagact 1140
ctcctgtgca gcctctggat tcaccttcag tagctatggc atgcactggg tccgcccaggc 1200
tccagggaaag gggctggagt gggtcgcagt tattttgttat gacggaaagta acaaataattt 1260
tgcaagactca gtgaagggcc gattcaccat ctccagagac aactccaaga acacactgt 1320
tctgcaaatg aacagcctga gagccgagga cacggctgtg tattactgtg cgagagatcc 1380
tcgcggggca acactctact actactacta cgggatggac gtctggggcc agggaaaccac 1440
ggtcaccgtc tcttcagccct ccaccaaggg cccatcggtc ttccccctgg cggccctgctc 1500
caggagcacc tccgagagca cagcggccct gggctgcctg gtcaaggact acttccccga 1560
accggtgacg gtgtcggttactcaggcgc tctgaccagc ggcgtgcaca cttcccgac 1620
tgtcctacag tcctcaggac tctactccct cagcagcgtg gtgaccgtgc cttcccgac 1680
cttcggcacc cagacctaca cctgcaacgt agatcacaag cccagcaaca ccaaggtcga 1740
caagacagtt gagcgcaaat gttgtgtcga gtgcccaccg tgcccagcac cacctgtggc 1800
aggaccgtca gtcttccttct tccccccaaa acccaaggac accctcatga tctcccgac 1860
ccctgagggtc acgtgcgtgg tggtgacgt gagccacgaa gaccccgagg tccagttcaa 1920
ctggtacgtg gacggcgtgg aggtgcataa tgccaagaca aagccacggg aggacgtttt 1980

caacagcacg ttccgtgtgg tcagcgtcct caccgtcgtg caccaggact ggctgaacgg	2040
caaggagtac aagtgcagg tctccaacaa aggcctccca gccccatcg agaaaaccat	2100
ctccaaaacc aaagggcagc cccgagaacc acaggtgtac accctgcccc catccggga	2160
ggagatgacc aagaaccagg tcagcgtac ctgcctggtc aaaggcttct accccagcga	2220
catcgccgtg gagtgggaga gcaatggca gccggagaac aactacaaga ccacaccc	2280
catgctggac tccgacggct ctttttcct ctacagaag ctcaccgtgg acaagagcag	2340
gtggcagcag gggAACgtct tctcatgctc cgtgatgcat gaggctctgc acaaccacta	2400
cacacagaag agcctctccc tgtctccggg taaataaattc gatggcgcgc c	2451

<210> 24
<211> 2433
<212> DNA
<213> Artificial Sequence

<220>
<223> IgG2 Hinge Ticilimumab

<400> 24	
gctagcaagc ttgttatcca ccatggagac agacacactc ctgctatggg tactgctgt	60
ctgggttcca ggttccactg gtgacgagcg caaatgttgt gtcgagtgcc caccgtgccc	120
agttaacggc ggcggcggca gcggccccct gggtgtgaga gcggcccgac cggccgacat	180
ccagatgacc cagtctccat cttccctgtc tgcattgtt ggagacagag tcaccatcac	240
ttgcggggca agtcagagca ttaacagcta ttttagattgg tatcagcaga aaccagggaa	300
agcccttaag ctccctgatct atgctgcattc cagttgcaa agtggggtcc catcaaggtt	360
cagttgcagt ggttctggga cagatttac tctcaccatc agcagtctgc aacctgaaga	420
ttttgcaact tactactgtc aacagtatta cagttccca ttcaatttcg gcccctggac	480
caaagtggaa atcaaacgaa ctgtggctgc accatctgtc ttcatcttcc cgccatctga	540
tgaggcagttg aaatctggaa ctgcctctgt tgtgtgcctg ctgaataact tctatcccag	600
agaggccaaa gtacagtggaa aggtggataa cgcgcctccaa tcgggtaact cccaggagag	660
tgtcacagag caggacagca aggacagcac ctacagcctc agcagcaccc tgacgctgag	720
caaagcagac tacgagaaac acaaactcta cgcctgcgaa gtcacccatc agggcctgag	780
ctcgcccgtc acaaagagct tcaacagggg agagtgcctc gagcgagcaa aacgagcacc	840
agtaaaacaa acactaaact tcgacctact aaaactagca ggagacgtag aatcaaaccc	900
aggaccagcc acaaccatgg agacagacac actcctgcta tgggtactgc tgctctgggt	960
tccaggttcc actggtgacg agcgcaaatg ttgtgtcgag tgcccaccgt gcccaggcgg	1020
ccgcggcggc ggcggcagcg gtccctggg tgtgagaaga tctcaggtgc agctggtgaa	1080
gtctggggaa ggcgtggtcc aaccggggcg gtccctgaga ctctcctgtg cagcctctgg	1140

attcaccttc	agtagctatg	gcatgcactg	ggtccgccag	gctccaggga	aggggctgga	1200
gtgggtcgca	gttatttttgt	atgacggaag	taacaaatat	tatgcagact	cagtgaaggg	1260
ccgattcacc	atctccagag	acaactccaa	gaacacactg	tatctgcaaa	tgaacagcct	1320
gagagccgag	gacacggctg	tgtattactg	tgcgagagat	cctcgccgggg	caacactcta	1380
ctactactac	tacgggatgg	acgtctgggg	ccagggaaacc	acggtcaccg	tctcttcagc	1440
ctccaccaag	ggcccatcg	tctccccct	ggcgccctgc	tccaggagca	cctccgagag	1500
cacagcggcc	ctgggctgcc	tggtaagga	ctacttcccc	gaaccggtga	cggtgtcg	1560
gaactcagggc	gctctgacca	gcccgcgtgca	caccttcca	gctgtcctac	agtcctcagg	1620
actctactcc	ctcagcagcg	tggtgaccgt	gccctccagc	aacttcggca	cccagaccta	1680
cacctgcaac	gtagatcaca	agcccagcaa	caccaaggc	gacaagacag	ttgagcgcaa	1740
atgttgtgtc	gagtgcac	cgtgcccagc	accacctgtg	gcaggaccgt	cagtcttcct	1800
cttccccca	aaacccaagg	acaccctcat	gatctccgg	accctgagg	tcacgtcg	1860
ggtgtggac	gtgagccacg	aagaccccg	ggtccagttc	aactggtacg	tggacggcgt	1920
ggaggtgcat	aatgccaaga	caaagccacg	ggaggagcag	ttcaacagca	cgttccgtgt	1980
ggtcagcg	ctcaccgtcg	tgcaccagga	ctggctgaac	ggcaaggagt	acaagtgc	2040
ggtctccaac	aaaggcctcc	cagccccat	cgagaaaacc	atctccaaaa	ccaaagggca	2100
gccccgagaa	ccacaggtgt	acaccctgcc	ccatcccgg	gaggagatga	ccaagaacca	2160
ggtcagcctg	acctgcctgg	tcaaaggctt	ctaccccg	gacatcgccg	tggagtgg	2220
gagcaatggg	cagccggaga	acaactacaa	gaccacac	ccatgctgg	actccgacgg	2280
ctccttcttc	ctctacagca	agtcaccgt	ggacaagagc	aggtggcagc	aggggaacgt	2340
cttctcatgc	tccgtatgc	atgaggctct	gcacaaccac	tacacacaga	agaccccttc	2400
cctgtctccg	ggtaaataaa	tcgatggcgc	gcc			2433

<210> 25
 <211> 2733
 <212> DNA
 <213> Artificial Sequence

<220>
 <223> IgG3 Hinge Ticilimumab

<400> 25	gctagcaagc	ttgttatcca	ccatggagac	agacacactc	ctgctatggg	tactgctgt	60
	ctgggttcca	ggttccactg	gtgacgagct	caaaacccca	cttggtgaca	caactcacac	120
	atgcccacgg	tgcccagagc	ccaaatcttg	tgacacac	cccccgtgcc	cacgggtcccc	180
	agagccaaa	tcttgtgaca	cacccccc	atgcccacgg	tgcccagagc	ccaaatcttg	240
	tgacacac	ccccgtgcc	caaggtgccc	agttaacggc	ggcggcggca	gcggccccct	300

gggtgtgaga gcggcccccagc cggccgacat ccagatgacc cagtctccat cctccctgtc 360
tgcatctgta ggagacagag tcaccatcac ttgccggca agtcagagca ttaacagcta 420
tttagattgg tatcagcaga aaccaggaa agcccctaag ctccctgatct atgctgcac 480
cagtttgc aa agtggggtcc catcaagggtt cagtgccagt ggatctggaa cagatttcac 540
tctcaccatc agcagtctgc aacctgaaga ttttgcact tactactgtc aacagtatta 600
cagtacccca ttcactttcg gccctggac caaagtggaa atcaaacgaa ctgtggctgc 660
accatctgtc ttcatcttcc cgccatctga tgagcagttt aatctggaa ctgcctctgt 720
tgtgtgcctg ctgaataact tctatcccag agaggccaaa gtacagtggaa aggtggataa 780
cgccctccaa tcgggtaact cccaggagag tgtcacagag caggacagca aggacagcac 840
ctacagcctc agcagcaccc tgacgctgag caaagcagac tacgagaaac acaaactcta 900
cgccctgc gtcacccatc agggcctgag ctgcggcgtc acaaagagct tcaacagggg 960
agagtgcctc gagcgagcaa aacgagcacc agtaaaacaa acactaaact tcgacactact 1020
aaaactagca ggagacgtag aatcaaaccc aggaccagcc acaaccatgg agacagacac 1080
actcctgcta tgggtactgc tgctctgggt tccaggttcc actggtgacg agctcaaaac 1140
cccacttggt gacacaactc acacatgccc acgggtgccc gagcccaaat cttgtgacac 1200
acctcccccg tgcccacggc gcccagagcc caaatcttgt gacacaccc ccccatgccc 1260
acggtgccc gagcccaaat cttgtgacac acctcccccg tgcccaaggt gcccaggcgg 1320
ccgcggcggc ggcggcagcg gtccctggg tgtgagaaga tctcaggtgc agctggtgaa 1380
gtctggggaa ggcgtggtcc aaccggggcg gtccctgaga ctctcctgtg cagcctctgg 1440
attcaccttc agtagctatg gcatgcactg ggtccggcag gtcggggaa aggggctggaa 1500
gtgggtcgca gttattttggg atgacggaag taacaaatat tatgcagact cagtgaaggg 1560
ccgattcacc atctccagag acaactccaa gaacacactg tatctgcaaa tgaacagcct 1620
gagagccgag gacacggctg tgtattactg tgcgagagat cctcgccggg caacactcta 1680
ctactactac tacgggatgg acgtctgggg ccagggaaacc acggtcaccg tctcttcagc 1740
ctccaccaag ggcccatcg tctccccct ggccctgtc tccaggagca cctccgagag 1800
cacagcggcc ctgggctgcc tggtaagga ctacttcccc gaaccgggtga cggtgtcggt 1860
gaactcaggc gctctgacca gcccgtgca caccttccca gctgtcctac agtcctcagg 1920
actctactcc ctcagcagcg tggtgaccgt gcccctcagc aacttcggca cccagaccta 1980
cacctgcaac gtagatcaca agcccagcaa caccaagggtc gacaagacag ttgagcgcaa 2040
atgttgtgtc gagtgccac cgtccccagc accacctgtg gcaggaccgt cagtcttcct 2100
cttcccccca aaacccaagg acaccctcat gatctccgg acccctgagg tcacgtgcgt 2160
ggtggtggac gtgagccacg aagacccgaa ggtccagttc aactggtacg tggacggcgt 2220

ggaggtgcat aatgccaga caaagccacg ggaggagcag ttcaacagca cgttccgtgt	2280
ggtcagcgta ctcaccgtcg tgcaccagga ctggctgaac ggcaaggagt acaagtgc当地	2340
ggtctccaac aaaggcctcc cagccccat cgagaaaacc atctccaaaa ccaaaggc当地	2400
gccccgagaa ccacaggtgt acaccctgcc cccatcccgg gaggagatga ccaagaacca当地	2460
ggtcagcctg acctgcctgg tcaaaggctt ctaccccagc gacatcgccg tggagtgg当地	2520
gagcaatggg cagccggaga acaactacaa gaccacacct cccatgctgg actccgacgg当地	2580
ctccttcttc ctctacagca agctcaccgt ggacaagagc aggtggcagc agggaaacgt当地	2640
cttctcatgc tccgtatgc atgaggctt gcacaaccac tacacacaga aggcctctc当地	2700
cctgtctccg ggtaaataaa tcgatggcgc gcc	2733

<210> 26
<211> 2433
<212> DNA
<213> Artificial Sequence

<220>
<223> IgG4 Hinge Ticilimumab

<400> 26	
gctagcaagc ttgttatcca ccatggagac agacacactc ctgctatggg tactgctgt	60
ctgggttcca ggttccactg gtgacgagtc caaatatggt ccccatgcc catcatgccc	120
agttaacggc ggcggcggca gcggccccct gggtgtgaga gcggcccgac cggccgacat	180
ccagatgacc cagtctccat cttccctgtc tgcatctgtt ggagacagag tcaccatcac	240
ttgcccggca agtcagagca ttaacagcta ttttagattgg tatcagcaga aaccagggaa	300
agcccttaag ctcctgatct atgctgcattc cagtttgcattt agtgggggtcc catcaaggtt	360
cagtgccagt ggtatctggga cagatttcac tctcaccatc agcagtctgc aacctgaaga	420
ttttgcaact tactactgtc aacagtatta cagttccca ttcaactttcg gcccggac	480
caaagtggaa atcaaacgaa ctgtggctgc accatctgtc ttcatcttcc cgccatctga	540
tgagcagttt aaatctggaa ctgcctgtgt tgggtgcctg ctgataact tctatcccag	600
agaggccaaa gtacagtggaa aggtggataa cggccctccaa tcgggttaact cccaggagag	660
tgtcacagag caggacagca aggacagcac ctacagcctc agcagcacccc tgacgctgag	720
caaagcagac tacgagaaac acaaactcta cgcctgcgaa gtcacccatc agggcctgag	780
ctcgcccgta acaaagagct tcaacagggg agagtgcctc gagcgagcaa aacgagcacc	840
agtaaaacaa acactaaact tcgacctact aaaactagca ggagacgttag aatcaaaccc	900
aggaccagcc acaaccatgg agacagacac actcctgcta tgggtactgc tgctctgggt	960
tccaggttcc actggtgacg agtccaaata tggccccca tgcccatcat gcccaggcgg	1020
ccgcggcggc ggcggcagcg gtccctggg tgtgagaaga tctcaggtgc agctggtgaa	1080

gtctggggga	ggcgtggtcc	aaccggggcg	gtccctgaga	ctctcctgtg	cagcctctgg	1140
attcaccttc	agtagctatg	gcatgcactg	ggtccgccag	gctccaggga	aggggctgga	1200
gtgggtcgca	gttattttgt	atgacggaag	taacaaatat	tatgcagact	cagtgaaggg	1260
ccgattcacc	atctccagag	acaactccaa	gaacacactg	tatctgcaaa	tgaacagcct	1320
gagagccgag	gacacggctg	tgtattactg	tgcgagagat	cctcgccccgg	caacactcta	1380
ctactactac	tacgggatgg	acgtctgggg	ccagggAACC	acggtcaccg	tctcttcagc	1440
ctccaccaag	ggcccatcg	tctccccct	ggcgccctgc	tccaggagca	cctccgagag	1500
cacagcggcc	ctgggctgcc	tggtaagga	ctacttcccc	gaaccggta	cggtgtcg	1560
gaactcaggc	gctctgacca	gcggcgtgc	cacccccc	gctgtcctac	agtccctcagg	1620
actctactcc	ctcagcagcg	tggtgaccgt	gccctccagc	aacttcggca	cccagaccta	1680
cacctgcaac	gtagatcaca	agcccagcaa	caccaaggc	gacaagacag	ttgagcgc	1740
atgttgtgtc	gagtgcac	cgtgcccagc	accacctgtg	gcaggaccgt	cagtcttcct	1800
cttcccccca	aaacccaagg	acaccctcat	gatctcccg	accctgagg	tcacgtgcgt	1860
ggtgtggac	gtgagccacg	aagacccga	ggtccagttc	aactggtacg	tggacggcgt	1920
ggaggtgc	aatgccaaga	caaagccacg	ggaggagcag	ttcaacagca	cgttccgtgt	1980
ggtcagcgtc	ctcaccgtcg	tgcaccagga	ctggctgaac	ggcaaggagt	acaagtgc	2040
ggtctccaac	aaaggcctcc	cagccccat	cgagaaaacc	atctccaaaa	ccaaagggca	2100
gccccgagaa	ccacaggtgt	acaccctgcc	ccatcccg	gaggagatga	ccaagaacca	2160
ggtcagcctg	acctgcctgg	tcaaaggctt	ctacccagc	gacatgc	tggagtgg	2220
gagcaatggg	cagccggaga	acaactacaa	gaccacac	ccatgctgg	actccgacgg	2280
ctccttcttc	ctctacagca	agtcaccgt	ggacaagagc	aggtggcagc	aggggaacgt	2340
cttctcatgc	tccgtatgc	atgaggctct	gcacaaccac	tacacacaga	agagctctc	2400
cctgtctccg	ggtaaataaa	tcgatggcgc	gcc			2433

<210> 27
 <211> 2475
 <212> DNA
 <213> Artificial Sequence

<220>
 <223> IgA1 Hinge Ticilimumab

<400> 27	gctagcaagc	ttgttatcca	ccatggagac	agacacactc	ctgctatggg	tactgctgct	60
	ctgggttcca	ggttccactg	gtgaccagt	tccctcaact	ccacctaccc	catctccctc	120
	aactccacct	accccatctc	cctcatgctg	ccacgttaac	ggcggcggcgc	gcagcggtcc	180
	cctgggtgtg	agagcggccc	agccggccga	catccagatg	acccagtctc	catcctccct	240

gtctgcatct gtaggagaca gagtcaccat cacttgcgg gcaagtcaga gcattaacag 300
ctatttagat tggtatcagc agaaaccagg gaaagcccct aagtcctga tctatgtgc 360
atccagtttgc caaagtgggg tcccatcaag gttcagtggc agtggatctg ggacagattt 420
cactctcacc atcagcagtc tgcaacctga agatttgca acttactact gtcaacagta 480
ttacagtacc ccattcaatt tcggccctgg gaccaaagtg gaaatcaaac gaactgtggc 540
tgcaccatct gtcttcatct tcccgccatc tgatgagcag ttgaaatctg gaactgcctc 600
tggttgtgc ctgctgaata acttctatcc cagagaggcc aaagtacagt ggaagggtgga 660
taacgcctc caatcggta actcccagga gagtgcaca gagcaggaca gcaaggacag 720
cacctacagc ctcagcagca ccctgacgct gagcaaagca gactacgaga aacacaaact 780
ctacgcctgc gaagtcaccc atcagggcct gagctcgccc gtcacaaaga gcttcaacag 840
gggagagtgc ctcgagcggc caaaaacgagc accagtaaaa caaacactaa acttcgaccc 900
actaaaaacta gcaggagacg tagaatcaaa cccaggacca gccacaacca tggagacaga 960
cacactcctg ctaggggtac tgctgctctg gttccaggt tccactgggt acgagccaa 1020
atcttgtac aaaactcaca catgccacc gtcggcaggc ggccgcggcg gcggcggcag 1080
cggtccccctg ggtgtgagaa gatctcaggt gcagctggc gagtctgggg gaggcgtggt 1140
ccaaccgggg cggtccccctga gactctcctg tgcagcctct ggattcacct tcagtagcta 1200
tggcatgcac tgggtccgcc aggctccagg gaaggggctg gagtggtcg cagttatttg 1260
gtatgacgga agtaacaaat attatgcaga ctcagtgaag ggccgattca ccatctccag 1320
agacaactcc aagaacacac tgtatctgca aatgaacagc ctgagagccg aggacacggc 1380
tgtgttattac tgtgcgagag atcctcgccg ggcaacactc tactactact actacggat 1440
ggacgtctgg ggccaggaa ccacggtcac cgtctttca gcctccacca agggcccatc 1500
ggtctcccc ctggcgccct gctccaggag cacctccag agcacagcgg ccctggctg 1560
cctggtaag gactactcc ccgaaccggt gacgggtcg tggactcag gcgctctgac 1620
cagcggcgtg cacacctcc cagctgcct acagtctca ggactctact ccctcagcag 1680
cgtggtgacc gtgccctcca gcaacttcgg cacccagacc tacacctgca acgttagatca 1740
caagcccagc aacaccaagg tcgacaagac agttgagcgc aaatgttgc tcgagtgccc 1800
accgtgcccc gcaccaccc tggcaggacc gtcagtttc ctcttcccc caaaacccaa 1860
ggacaccctc atgatctccc ggaccctga ggtcacgtgc gtggtggtgg acgtgagcc 1920
cgaagacccc gaggtccagt tcaactggta cgtggacggc gtggaggtgc ataatgcca 1980
gacaaagcca cgggaggagc agttcaacag cacgttccgt gtggtcagcg tcctcaccgt 2040
cgtgcaccag gactggctga acggcaagga gtacaagtgc aaggtctcca acaaaggcct 2100
cccagcccc atcgagaaaaa ccatctccaa aaccaaaggc cagccccgag aaccacaggt 2160

gtacaccctg	cccccatccc	gggaggagat	gaccaagaac	caggtcagcc	tgacctgcct	2220
ggtcaaaggc	ttctaccca	gcgacatcgc	cgtggagtgg	gagagcaatg	ggcagccgga	2280
gaacaactac	aagaccacac	ctcccatgct	ggactccgac	ggctccttct	tcctctacag	2340
caagctcacc	gtggacaaga	gcaggtggca	gcagggaaac	gtcttctcat	gctccgtgat	2400
gcatgaggct	ctgcacaacc	actacacaca	gaagagcctc	tccctgtctc	cgggtaaata	2460
aatcgatggc	gcgcc					2475

<210> 28
<211> 2421
<212> DNA
<213> Artificial Sequence

<220>
<223> IgA2 Hinge Ticilimumab

<400> 28						
gctagcaagc	ttgttatcca	ccatggagac	agacacactc	ctgctatggg	tactgctgct	60
ctgggttcca	ggttccactg	gtgaccagg	tcccccacct	cccccatgct	gccacgttaa	120
cggccgcggc	ggcagcggtc	ccctgggtgt	gagagcggcc	cagccggccg	acatccagat	180
gaccaggatct	ccatcctccc	tgtctgcattc	tgttaggagac	agagtcacca	tcacttgcgg	240
ggcaagtcag	agcattaaca	gctattttaga	ttggtatcag	cagaaaccag	ggaaagcccc	300
taagctcctg	atctatgctg	catccagttt	gcaaagtggg	gtcccatcaa	ggttcagtgg	360
cagtggatct	gggacagatt	tcactctcac	catcagcagt	ctgcaacctg	aagatttgc	420
aacttactac	tgtcaacagt	attacagtac	cccattcact	ttcggccctg	ggaccaaagt	480
ggaaatcaa	cgaactgtgg	ctgcaccatc	tgtttcattc	ttcccgccat	ctgatgagca	540
gttgaatct	ggaactgcct	ctgttgtgtg	cctgctgaat	aacttctatc	ccagagaggc	600
caaagtacag	tggaagggtgg	ataacgcctt	ccaatcggt	aactcccagg	agagtgtcac	660
agagcaggac	agcaaggaca	gcacctacag	cctcagcagc	accctgacgc	tgagcaaagc	720
agactacgag	aaacacaaac	tctacgcctg	cgaagtcacc	catcagggcc	tgagctcgcc	780
cgtcacaaag	agttcaaca	ggggagagtg	cctcgagcga	gcaaaacgag	caccagtaaa	840
acaaacacta	aacttcgacc	tactaaaact	agcaggagac	gtagaatcaa	acccaggacc	900
agccacaacc	atggagacag	acacactctt	gctatggta	ctgctgtct	gggttccagg	960
ttccactgg	gaccaggatc	ccccacactcc	cccatgctgc	cacggcggcc	gccccggcgg	1020
cggcagcggt	cccctgggtg	tgagaagatc	tcaggtgcag	ctggtgaggt	ctgggggagg	1080
cgtggtccaa	ccggggcggt	ccctgagact	ctcctgtgca	gcctctggat	tcaccttcag	1140
tagctatggc	atgcactggg	tccgccaggc	tccagggaaag	gggctggagt	gggtcgcagt	1200
tatttggat	gacggaagta	acaaatatta	tgcagactca	gtgaagggcc	gattcaccat	1260

ctccagagac aactccaaga acacactgta tctgcaaatg aacagcctga gagccgagga	1320
cacggctgtg tattactgtg cgagagatcc tcgcggggca acactctact actactacta	1380
cgggatggac gtctgggcc aggaaccac ggtcaccgtc tcttcagcct ccaccaaggg	1440
cccatcggtc ttccccctgg cgccctgctc caggagcacc tccgagagca cagcggccct	1500
gggctgcctg gtcaaggact acttccccga accgggtacg gtgtcgtgga actcaggcgc	1560
tctgaccagc ggcgtgcaca cttcccagc tgtcctacag tcctcaggac tctactccct	1620
cagcagcgtg gtgaccgtgc cttccagcaa ctccggcacc cagacctaca cctgcaacgt	1680
agatcacaag cccagcaaca ccaaggtcga caagacagtt gagcgcaa at gttgtgtcga	1740
tgcccaccg tgcccagcac caccgtggc aggaccgtca gtcttcctct tcccccaaa	1800
acccaaggac accctcatga tctccggac ccctgaggc acgtgcgtgg tggtgacgt	1860
gagccacgaa gaccccgagg tccagttcaa ctggtaacgtg gacggcgtgg aggtgcataa	1920
tgccaagaca aagccacggg aggagcagtt caacagcacg ttccgtgtgg tcagcgtcct	1980
caccgtcgtg caccaggact ggctgaacgg caaggagtac aagtgcagg tctccaacaa	2040
aggcctccca gccccatcg agaaaaccat ctccaaaacc aaagggcagc cccgagaacc	2100
acaggtgtac accctgcccc catccggga ggagatgacc aagaaccagg tcagcctgac	2160
ctgcctggtc aaaggctct accccagcga catgcgttg gagtgggaga gcaatggca	2220
gccggagaac aactacaaga ccacacccatcc catgctggac tccgacggct ctttttcct	2280
ctacagcaag ctcaccgtgg acaagagcag gtggcagcag gggAACGTCT tctcatgctc	2340
cgtatgcat gaggctctgc acaaccacta cacacagaag agcctctccc tgtctccggg	2400
taaataaaatc gatggcgcgc c	2421

<210> 29
 <211> 2451
 <212> DNA
 <213> Artificial Sequence

<220>
 <223> IgG1 Hinge Humira

<400> 29	
gctagcaagc ttgttatcca ccatggagac agacacactc ctgctatggg tactgctgct	60
ctgggttcca ggttccactg gtgacgagcc caaatcttgt gacaaaactc acacatgccc	120
accgtgcccc gttAACGGCG GCGGCCGGCAG CGGTCCCTG GGTGTGAGAG CGGCCAGCC	180
ggccgacatc cagatgaccc agagccccag cagcctgagc gccagcgtgg ggcacagagt	240
gaccatcacc tgcagagcca gccagggcat cagaaactac ctggcctggg accagcagaa	300
gccccggcaag gcccccaagc tgctgatcta CGCCGCCAGC ACCCTGCAGA GCGGCAGTGC	360
cagcagattc agcggcagcg gcagcggcac cgacttcacc ctgaccatca gcagcctgca	420

gcccaggagac gtggccacct actactgcc a gataaca ac agccccct acacc ttcgg 480
ccagggcacc a aggtggaga tcaagagaac tgtggctgca ccatctgtct tc atcttccc 540
gccatctgat gagcagtta a atctggaac tgcctctgtt gtgtgcctgc tgaataactt 600
ctatcccaga gaggccaaag tacagtggaa ggtggataac gccctccaat cgggtaactc 660
ccaggagagt gtcacagagc aggacagcaa ggacagcacc tacagcctca gcagcaccc 720
gacgctgagc aaagcagact acgagaaaca caaactctac gcctgcgaag tc acccatca 780
gggcctgagc tcgcccgtca caaagagctt caacagggga gagtgcctcg agcgagcaaa 840
acgagcacca gtaaaacaaa cactaaactt cgacctacta aaacttagcag gagacgtaga 900
atcaaaccca ggaccagcca caaccatgga gacagacaca ctccctgctat ggtactgct 960
gctctgggtt ccaggttcca ctggtgacga gcccaa atct t tgacaaaaa ctcacacatg 1020
cccaccgtgc ccaggcggcc gcggcggcgg cggcagcggt cccctgggtg tgagaagatc 1080
tgaggtgcag ctggtgagca gcggcggcgg cctggtgagc cccggcagaa gcctgagact 1140
gagctgcgcc gccagcggct tcacccctga cgactacgcc atgcactggg tgagacaggc 1200
ccccggcaag ggcctggagt gggtgagcgc catcacctgg aacagcggcc acatcgacta 1260
cgccgacagc gtggagggca gattcaccat cagcagagac aacgccaaga acagcctgta 1320
cctgcagatg aacagcctga gagccgagga caccgcgtg tactactgctg ccaaggtgag 1380
ctacctgagc accgcccagca gcctggacta ctggggccag ggcaccctgg tgaccgtgag 1440
cagcgcctcc accaagggac catcggtctt cccctggca ccctcctcca agagcaccc 1500
tggggcaca gcggccctgg gctgcctggt caaggactac ttccccgaac cggtgacgg 1560
gtcgttggaaac tcaggcgtccc tgaccagcgg cgtgcacacc ttcccggtcg tcctacagtc 1620
ctcaggactc tactccctca gcagcgtggt gaccgtgccc tccagcagct tgggcaccca 1680
gacctacatc tgcaacgtga atcacaagcc cagcaacacc aaggtcgaca agaaagttga 1740
gcccaa atct t tgacaaaaa ctcacacatg cccaccgtgc ccagcacctg aactcctgg 1800
gggaccgtca gtcttcctct tccccccaaa acccaaggac accctcatga tctccggac 1860
ccctgaggtc acatgcgtgg tggtggacgt gagccacgaa gaccctgagg tcaagttcaa 1920
ctggtacgtg gacggcgtgg aggtgcataa tgccaagaca aagccgcggg aggagcagta 1980
caacagcacg taccgggtgg tcagcgtctt caccgtcctg caccaggact ggctgaatgg 2040
caaggagtagc aagtgcagg tctccaacaa agccctccca gccccatcg agaaaaccat 2100
ctccaaagcc aaagggcagc cccgagaacc acaggtgtac accctgcccc catccggga 2160
tgagctgacc aagaaccagg tcagcgtgac ctgcctggc aaaggcttct atcccagcga 2220
catcgccgtg gagtggaga gcaatggca gccggagaac aactacaaga ccacgcctcc 2280
cgtgctggac tccgacggct ctttttcctt ctacagcaag ctcaccgtgg acaagagcag 2340

gtggcagcag	gggaacgtct	tctcatgctc	cgtgatgcat	gaggctctgc	acaaccacta	2400
cacgcagaag	agcctctccc	tgctccggg	taaataaattc	gatggcgccgc	c	2451
<210>	30					
<211>	2433					
<212>	DNA					
<213>	Artificial Sequence					
<220>						
<223>	IgG2 Hinge	Humira				
<400>	30					
gctagcaagc	ttgttatcca	ccatggagac	agacacactc	ctgctatggg	tactgctgct	60
ctgggttcca	ggttccactg	gtgacgagcg	caaattttgt	gtcgagtgcc	caccgtgccc	120
agttaacggc	ggcgccggca	gcggccccct	gggtgtgaga	gcggcccgac	cggccgacat	180
ccagatgacc	cagagcccc	gcagccttag	cgccagcgtg	ggcgacagag	tgaccatcac	240
ctgcagagcc	agccaggcga	tcagaaacta	cctggcttgg	taccaggcaga	agcccgccaa	300
ggcccccaga	ctgctgatct	acgcccggcag	caccctgcag	agcggcggtgc	ccagcagatt	360
cagcgccagc	ggcagcggca	ccgacttcac	cctgaccatc	agcagcctgc	agcccgagga	420
cgtggccacc	tactactgcc	agagatacaa	cagagcccc	tacaccttcg	gccagggcac	480
caagggtggag	atcaagagaa	ctgtggctgc	accatctgtc	ttcatcttcc	cgccatctga	540
tgagcagttg	aatctggaa	ctgcctctgt	tgtgtgcctg	ctgaataact	tctatcccag	600
agaggccaaa	gtacagtgg	agggtggataa	cgcgcctccaa	tccggtaact	cccaggagag	660
tgtcacagag	caggacagca	aggacagcac	ctacagcctc	agcagcacccc	tgacgctgag	720
caaagcagac	tacgagaaac	acaaactcta	cgcctgcgaa	gtcaccatc	agggcctgag	780
ctcgcccgtc	acaaagagct	tcaacagggg	agagtgcctc	gagcgagcaa	aacgagcacc	840
agtaaaacaa	acactaaact	tcgacctact	aaaactagca	ggagacgtag	aatcaaaccc	900
aggaccagcc	acaaccatgg	agacagacac	actcctgcta	tgggtactgc	tgctctgggt	960
tccaggttcc	actggtgacg	agcgcaaatg	ttgtgtcgag	tgcccaccgt	gcccgaggcg	1020
ccgcggcggc	ggcggcagcg	gtcccctggg	tgtgagaaga	tctgaggtgc	agctggtgga	1080
gagcgccggc	ggcctggtgc	agcccgccag	aagcctgaga	ctgagctgcg	ccgcccagcgg	1140
cttcaccttc	gacgactacg	ccatgcactg	ggtgagacag	gccccggca	agggcctgga	1200
gtgggtgagc	gccatcacct	ggaacagcgg	ccacatcgac	tacgcccaca	gcgtggaggg	1260
cagattcacc	atcagcagag	acaacgccaa	gaacagcctg	tacctgcaga	tgaacagcct	1320
gagagccgag	gacaccgccc	tgactactg	cgccaagggt	agctacctga	gcaccgcccag	1380
cagcctggac	tactggggcc	agggcaccct	ggtgaccgtg	agcagcgcct	ccaccaaggg	1440
accatcggtc	ttccccctgg	caccctcctc	caagagcacc	tctgggggca	cagcgccct	1500

gggctgcctg	gtcaaggact	acttccccga	accggtgacg	gtgtcggtgg	actcaggcgc	1560
cctgaccagc	ggcgtgcaca	cctcccggc	tgtcctacag	tcctcaggac	tctactccct	1620
cagcagcgtg	gtgaccgtgc	cctccagcag	cttgggcacc	cagacctaca	tctgcaacgt	1680
gaatcacaag	cccagcaaca	ccaaggtcga	caagaaaatt	gagcccaaatt	cttgtgacaa	1740
aactcacaca	tgcccaccgt	gcccagcacc	tgaactcctg	ggggggaccgt	cagtcttcct	1800
cttccccca	aaacccaagg	acaccctcat	gatctcccg	accctgagg	tcacatgcgt	1860
ggtgtggac	gtgagccacg	aagaccctga	ggtcaagttc	aactggtacg	tggacggcgt	1920
ggaggtgcat	aatgccaaga	caaagccgcg	ggaggagcag	tacaacagca	cgtaccgggt	1980
ggtcagcgtc	ctcaccgtcc	tgaccaggaa	ctggctgaat	ggcaaggagt	acaagtgcaa	2040
ggtctccaac	aaagccctcc	cagccccat	cgagaaaacc	atctccaaag	ccaaagggca	2100
gccccgagaa	ccacaggtgt	acaccctgcc	cccatcccg	gatgagctga	ccaagaacca	2160
ggtcagcctg	acctgcctgg	tcaaaggctt	ctatcccagc	gacatcgccg	tggagtggga	2220
gagcaatggg	cagccggaga	acaactacaa	gaccacgcct	cccgtgctgg	actccgacgg	2280
ctccttcttc	ctctacagca	agtcaccgt	ggacaagagc	aggtggcagc	agggaaacgt	2340
cttctcatgc	tccgtatgc	atgaggctct	gcacaaccac	tacacgcaga	agagcctctc	2400
cctgtctccg	ggtaaataaaa	tcgatggcgc	gcc			2433

<210> 31
 <211> 2732
 <212> DNA
 <213> Artificial Sequence

<220>
 <223> IgG3 Hinge Humira

<400> 31						
gctagcaagc	ttgttatcca	ccatggagac	agacacactc	ctgctatggg	tactgctgct	60
ctgggttcca	ggttccactg	gtgacgagct	caaaacccca	cttggtgaca	caactcacac	120
atgcccacgg	tgcccagagc	ccaaatcttg	tgacacacct	ccccgtgcc	cacggtgccc	180
agagccaaa	tcttgtgaca	cacctcccc	atgcccacgg	tgcccagagc	ccaaatcttg	240
tgacacacct	ccccgtgcc	caaggtgccc	agttaacggc	ggcggcggca	gcggccccct	300
gggtgtgaga	gcggcccagc	cggccgacat	ccagatgacc	cagagcccc	gcagcctgag	360
cgccagcgtg	ggcgacagag	tgaccatcac	ctgcagagcc	agccagggca	tcagaaaacta	420
cctggcctgg	taccagcaga	agccggcaa	ggcccccaag	ctgctgatct	acgcccag	480
caccctgcag	agcggcgtgc	ccagcagatt	cagcggcagc	ggcagcggca	ccgacttcac	540
cctgaccta	gcagcctgca	gcccgaggac	gtggccacct	actactgcca	gagatacaac	600
agagccccct	acaccttcgg	ccagggcacc	aaggtggaga	tcaagagaac	tgtggctgca	660

ccatctgtct tcatacttccc gccatctgat gagcagttga aatctggaaac tgcctctgtt 720
gtgtgcctgc tgaataactt ctatcccaga gaggccaaag tacagtggaa ggtggataac 780
gccctccaat cgggtaactc ccaggagagt gtcacagagc aggacagcaa ggacagcacc 840
tacagcctca gcagcacccct gacgctgagc aaagcagact acgagaaaca caaactctac 900
gcctgcgaag tcacccatca gggcctgagc tgcggcgta caaagagctt caacagggga 960
gagtgccctcg agcgagcaaa acgagcacca gtaaaacaaa cactaaactt cgacctacta 1020
aaacttagcag gagacgtaga atcaaaccctt ggaccagcca caaccatgga gacagacaca 1080
ctcctgctat gggtaactgct gctctgggtt ccaggttcca ctggtgacga gctaaaaacc 1140
ccacttggtg acacaactca cacatgccccag agcccaaattt ttgtgacaca 1200
cctccccgt gcccacggtg cccagagccc aaatcttgtt acacacctcc cccatgcccc 1260
cggtgcccag agcccaaattt ttgtgacaca cctccccgtt gcccaagggtt cccaggcgcc 1320
cgcggcggcg gcggcagcgg tccctgggtt gtgagaagat ctgaggtgca gctggtggag 1380
agcggcggcg gcctggtgca gcccggcaga agcctgagac tgagctgcgc cgccagcggc 1440
ttcaccttcg acgactacgc catgcactgg gtgagacagg ccccccggcaa gggctggag 1500
tgggtgagcg ccatcacctg gaacagcgcc cacatcgact acgcccacag cgtggagggc 1560
agattcacca tcagcagaga caacgccaag aacagcctgtt acctgcagat gaacagcctg 1620
agagccgagg acaccgcgt gtactactgc gccaagggtt gctacctgag caccgcgc 1680
agcctggact actggggcca gggcaccctg gtgaccgtt gcaagcgctc caccaaggga 1740
ccatcggtct tccccctggc accctcctcc aagagcacctt ctggggcac agcggccctg 1800
ggctgcctgg tcaaggacta cttttccgaa ccggtgacgg tgtcgtggaa ctcaggcgcc 1860
ctgaccagcg gcgtgcacac cttcccggtt gtcctacagt cctcaggact ctactccctc 1920
agcagcgtgg tgaccgtgcc ctccagcagc ttgggcaccc agacctacat ctgcaacgtt 1980
aatcacaagc ccagcaacac caaggtcgac aagaaagttt agcccaaattt ttgtgacaaa 2040
actcacacat gcccaccgtt cccagcacctt gaactcctgg ggggaccgtt agtcttcctc 2100
ttccccccaa aacccaagga caccctcatg atctcccgaa cccctgaggtt cacatgcgtt 2160
gtggtggacg tgagccacga agaccctgag gtcaagttca actggtacgtt ggacggcggt 2220
gaggtgcata atgccaagac aaagccgcgg gaggagcgtt acaacagcac gtaccgggtt 2280
gtcagcgtcc tcaccgtctt gcaccaggac tggctgaatg gcaaggagta caagtgcac 2340
gtctccaaca aagccctccc agccccatc gagaaaacca tctccaaagc caaagggcag 2400
ccccgagaac cacaggtgtt caccctgccc ccatcccggtt atgagctgac caagaaccag 2460
gtcagcctga cctgcctgggtt caaaggcttc tatcccagcg acatgcgtt ggagtgggag 2520
agcaatgggc agccggagaa caactacaag accacgcctc ccgtgctggc ctccgacggc 2580

tccttcttcc tctacagcaa gtcaccgtg gacaagagca ggtggcagca gggaaacgtc	2640
ttctcatgct ccgtgatgca tgaggctctg cacaaccact acacgcagaa gagcctctcc	2700
ctgtctccgg gtaaataaat cgatggcgcg cc	2732
<210> 32	
<211> 2433	
<212> DNA	
<213> Artificial Sequence	
<220>	
<223> IgG4 Hinge Humira	
<400> 32	
gctagcaagc ttgttatcca ccatggagac agacacactc ctgctatggg tactgctgct	60
ctgggttcca ggttccactg gtgacgagtc caaatatggt cccccatgcc catcatgccc	120
agttaacggc ggcggcggca gcggtcccct gggtgtgaga gcggcccgac cggccgacat	180
ccagatgacc cagagccccca gcagcctgag cgccagcgtg ggcgacagag tgaccatcac	240
ctgcagagcc agccagggca tcagaaaacta cctggcctgg taccagcaga agcccgaa	300
ggcccccaga ctgctgatct acgcccggcag caccctgcag agcggcgtgc ccagcagatt	360
cagcggcagc ggcagcggca ccgacttcac cctgaccatc agcagcctgc agcccgagga	420
cgtggccacc tactactgcc agagatacaa cagagcccc tacaccttcg gccagggcac	480
caagggtggag atcaagagaa ctgtggctgc accatctgtc ttcatcttcc cgccatctga	540
tgagcagttg aaatctggaa ctgcctctgt tgtgtgcctg ctgaataact tctatcccag	600
agaggccaaa gtacagtgga aggtggataa cgccctccaa tcgggtaact cccaggagag	660
tgtcacagag caggacagca aggacagcac ctacagcctc agcagcaccc tgacgctgag	720
caaagcagac tacgagaaac acaaactcta cgccctgcgaa gtcacccatc agggcctgag	780
ctcggccgtc acaaagagct tcaacagggg agagtgcctc gagcggcagaa aacgagcacc	840
agtaaaacaa acactaaact tcgacctact aaaacttagca ggagacgtag aatcaaaccc	900
aggaccagcc acaaccatgg agacagacac actcctgcta tgggtactgc tgctctgggt	960
tccaggttcc actggtgacg agtccaaata tggtccccca tgcccatcat gcccaggcgg	1020
ccgcggcggc ggcggcagcg gtcccctggg tgtgagaaga tctgagggtgc agctgggta	1080
gagcggcggc ggcctggtgc agccggcag aagcctgaga ctgagctgcg ccgcccagcgg	1140
cttcaccttc gacgactacg ccatgcactg ggtgagacag gccccggca agggcctgga	1200
gtgggtgagc gccatcacct ggaacagcgg ccacatcgac tacgcccaca gcgtggaggg	1260
cagattcacc atcagcagag acaacgccaa gaacagcctg tacctgcaga tgaacagcct	1320
gagagccgag gacaccgccc tgtactactg cgccaaagggtg agctacctga gcaccggccag	1380
cagcctggac tactggggcc agggcaccct ggtgaccgtg agcagcgcct ccaccaaggg	1440

accatcggtc ttccccctgg caccctcctc caagagcacc tctggggca cagcggccct	1500
gggctgcctg gtcaaggact acttccccga accggtgacg gtgtcgtgga actcaggcgc	1560
cctgaccagc ggcgtgcaca cctcccggc tgtcctacag tcctcaggac tctactccct	1620
cagcagcgtg gtgaccgtgc cttccagcag cttggcacc cagacctaca tctgcaacgt	1680
gaatcacaag cccagcaaca ccaaggtcga caagaaagtt gagcccaaattt cttgtgacaa	1740
aactcacaca tgcccaccgt gcccagcacc tgaactcctg gggggaccgt cagtttcct	1800
cttccccca aaacccaagg acaccctcat gatctccgg acccctgagg tcacatgcgt	1860
ggtgtggac gtgagccacg aagaccctga ggtcaagttc aactggtacg tggacggcgt	1920
ggaggtgcat aatgccaaga caaagccgca ggaggagcag tacaacagca cgtaccgggt	1980
ggtcagcgtc ctcaccgtcc tgaccaggaa ctggctgaat ggcaaggagt acaagtgcaa	2040
ggtctccaac aaagccctcc cagccccat cgagaaaaacc atctccaaag ccaaaggca	2100
gccccgagaa ccacaggtgt acaccctgcc cccatccgg gatgagctga ccaagaacca	2160
ggtcagcctg acctgcctgg tcaaaggctt ctatcccagc gacatgcggc tggagtggga	2220
gagcaatggg cagccggaga acaactacaa gaccacgcct cccgtgtgg actccgacgg	2280
ctccttcttc ctctacagca agctcaccgt ggacaagagc aggtggcagc aggggaacgt	2340
cttctcatgc tccgtatgc atgaggctct gcacaaccac tacacgcaga agagcctctc	2400
cctgtctccg ggtaaataaa tcgatggcgc gcc	2433

<210> 33
<211> 2475
<212> DNA
<213> Artificial Sequence

<220>
<223> IgA1 Hinge Humira

<400> 33	
gctagcaagc ttgttatcca ccatggagac agacacactc ctgctatggg tactgctgt	60
ctgggttcca gtttccactg gtgaccctgt tccctcaact ccacctaccc catctccctc	120
aactccacct accccatctc cctcatgctg ccacgttaac ggcggcggcg gcagcggtcc	180
cctgggtgtg agagcggccc agccggccga catccagatg acccagagcc ccagcagcct	240
gagcgcgcagc gtgggcgaca gagtgaccat cacctgcaga gccagccagg gcatcagaaa	300
ctacctggcc tggtaccagc agaagcccgga aaggccccca aagctgctga tctacgcgc	360
cagcaccctg cagagcggcg tgccagcag attcagcggc agcggcagcg gcaccgactt	420
caccctgacc atcagcagcc tgcagcccgaa ggacgtggcc acctactact gccagagata	480
caacagagcc ccctacaccc tcggccaggg caccaaggtg gagatcaaga gaactgtggc	540
tgcaccatct gtcttcatct tcccgccatc tgatgagcag ttgaaatctg gaactgcctc	600

tgttgtgtgc ctgctgaata acttcttatcc cagagaggcc aaagtacagt ggaagggtgga 660
taacgccctc caatcggtta actcccagga gagtgtcaca gagcaggaca gcaaggacag 720
cacctacagc ctcagcagca ccctgacgct gagcaaagca gactacgaga aacacaaact 780
ctacgcctgc gaagtcaccc atcagggcct gagctcgccc gtcacaaaga gcttcaacag 840
gggagagtgc ctcgagcag caaaaacgagc accagtaaaa caaacactaa acttcgacct 900
actaaaacta gcaggagacg tagaatcaaa cccaggacca gccacaacca tggagacaga 960
cacactcctg ctatgggtac tgctgctctg ggttccaggt tccactggtg acgagccaa 1020
atcttgcac aaaactcaca catgcccacc gtgcccaggc ggccgcggcg gcggcggcag 1080
cggtccccctg ggtgtgagaa gatctgaggt gcagctggtg gagagcggcg gcggctgg 1140
gcagccccggc agaagcctga gactgagctg cgccgcacgc ggttcacct tcgacgacta 1200
cgccatgcac tgggtgagac aggcccccg caagggcctg gagtggtga ggcacatcac 1260
ctggaacagc ggccacatcg actacgcccga cagcgtggag ggcagattca ccatcagcag 1320
agacaacgccc aagaacagcc tgtacctgca gatgaacagc ctgagagccg aggacaccgc 1380
cgtgtactac tgcgccaagg ttagtacacct gagcaccgcg agcagcctgg actactgggg 1440
ccagggcacc ctgggtgaccg tgagcagcgc ctccaccaag ggaccatcgg tcttccccct 1500
ggcacccctcc tccaagagca cctctgggg cacagcggcc ctgggctgccc tggtaagga 1560
ctacttccccca gaaccggta cgggtcggtg gaactcaggc gccctgacca gcggcgtgca 1620
caccttccccg gctgtcctac agtccctcagg actctactcc ctcagcagcgc tggtgaccgt 1680
gccctccagc agttggca cccagaccta catctgcaac gtgaatcaca agcccagcaa 1740
caccaaggta gacaagaaag ttgagccaa atcttgcac aaaactcaca catgcccacc 1800
gtgcccagca cctgaactcc tggggggacc gtcagtcctc ctcttccccca caaaacccaa 1860
ggacaccctc atgatctccc ggaccctga ggtcacatgc gtgggtggg acgtgagcc 1920
cgaagaccct gaggtcaagt tcaactggta cgtggacggc gtggaggtgc ataatgcca 1980
gacaaagccg cgggaggagc agtacaacag cacgtaccgg gtggtcagcg tcctcaccgt 2040
cctgcaccag gactggctga atggcaagga gtacaagtgc aaggtctcca acaaagccct 2100
cccagccccc atcgagaaaa ccatctccaa agccaaaggc cagccccgag aaccacaggt 2160
gtacaccctg ccccatccc gggatgagct gaccaagaac caggtcagcc tgacctgcct 2220
ggtaaaaggc ttctatccca ggcacatcgc cgtggagtgg gagagcaatg ggcagccgga 2280
gaacaactac aagaccacgc ctcccgtgct ggactccgac ggctccttct tcctctacag 2340
caagctcacc gtggacaaga gcaggtggca gcagggaaac gtcttctcat gtcgggtgat 2400
gcatgaggct ctgcacaacc actacacgcga gaagggcctc tccctgtctc cgggtaaata 2460
aatcgatggc gcgcc 2475

<210> 34
 <211> 2420
 <212> DNA
 <213> Artificial Sequence

<220>
 <223> IgA2 Hinge Humira

<400>	34					
gctagcaagc	ttgttatcca	ccatggagac	agacacactc	ctgctatggg	tactgctgct	60
ctgggttcca	ggttccactg	gtgaccagt	tcccccacct	cccccatgct	gccacgttaa	120
cggcgccggc	ggcagcggtc	ccctgggtgt	gagagcggcc	cagccggccg	acatccagat	180
gaccagagc	cccagcagcc	tgagcgcag	cgtggcgac	agagtgacca	tcacctgcag	240
agccagccag	ggcatcagaa	actacctggc	ctggtaccag	cagaagccc	gcaaggcccc	300
caagctgctg	atctacgccc	ccagcaccct	gcagagcggc	gtgcccagca	gattcagcgg	360
cagcggcagc	ggcaccgact	tcaccctgac	catcagcagc	ctgcagccc	aggacgtggc	420
cacctactac	tgccagagat	acaacagagc	cccctacacc	ttcggccagg	gcaccaaggt	480
ggagatcaag	agaactgtgg	ctgcaccatc	tgtttcatc	ttcccgccat	ctgatgagca	540
gttgaatct	ggaactgcct	ctgttgtgt	cctgctgaat	aacttctatc	ccagagaggc	600
caaagtacag	tggaagggtgg	ataacgccc	ccaatcggt	aactcccagg	agagtgtcac	660
agagcaggac	agcaaggaca	gcacctacag	cctcagcagc	accctgacgc	tgagcaaagc	720
agactacgag	aaacacaaac	tctacgcctg	cgaagtccacc	catcagggcc	tgagctcgcc	780
cgtcacaaag	agttcaaca	ggggagagtg	cctcgagcga	gcaaaacgag	caccagtaaa	840
acaacacacta	aacttcgacc	tactaaaact	agcaggagac	gtagaatcaa	acccaggacc	900
agccacaacc	atggagacag	acacactcct	gctatggtac	tgctgctctg	ggttccaggt	960
tccactggtg	accagttcc	cccacctccc	ccatgctgcc	acggcggcc	cgccggccgc	1020
ggcagcggtc	ccctgggtgt	gagaagatct	gaggtgcagc	tggtggagag	cggcggccgc	1080
ctggcagcgc	ccggcagaag	cctgagactg	agctgcgcgg	ccagcggctt	cacccctcgac	1140
gactacgcca	tgcactgggt	gagacaggcc	cccgcaagg	gcctggagtg	ggtgagcgc	1200
atcacctgga	acagcggcca	catcgactac	gccgacagcg	tggagggcag	attcaccatc	1260
agcagagaca	acgccaagaa	cagcctgtac	ctgcagatga	acagcctgag	agccgaggac	1320
accggcgtgt	actactgcgc	caaggtgagc	tacctgagca	ccgccagcag	cctggactac	1380
tggggccagg	gcaccctgg	gaccgtgagc	agcgcctcca	ccaagggacc	atcggtttc	1440
ccccctggcac	cctcctccaa	gagcacctct	gggggcacag	cggccctggg	ctgcctggc	1500
aaggactact	tccccgaacc	ggtgacgggt	tcgtgaaact	cagggccccc	gaccagcggc	1560
gtgcacacact	tcccggtgt	cctacagtcc	tcaggactct	actccctcag	cagcgtgg	1620

accgtgccct ccagcagctt gggcacccag acctacatct gcaacgtgaa tcacaagccc	1680
agcaacacca aggtcgacaa gaaagtttag cccaaatctt gtgacaaaac tcacacatgc	1740
ccaccgtgcc cagcacctga actcctgggg ggaccgtcag tcttcctctt cccccaaaaa	1800
cccaaggaca ccctcatgat ctcccggacc cctgaggtca catgcgtggg ggtggacgtg	1860
agccacgaag accctgaggt caagttcaac tggtagtgg acggcgtgaa ggtgcataat	1920
gccaagacaa agccgcggga ggagcagtac aacagcacgt accgggtggg cagcgtcctc	1980
accgtcctgc accaggactg gctgaatggc aaggagtaca agtgcaaggt ctccaacaaa	2040
gccctccag cccccatcga gaaaaccatc tccaaagcca aagggcagcc ccgagaacca	2100
caggtgtaca ccctgcccc atcccggtat gagctgacca agaaccaggt cagcctgacc	2160
tgcctggta aaggcttcta tcccagcgac atcgcgtgg agtgggagag caatggcag	2220
ccggagaaca actacaagac cacgcctccc gtgctggact ccgacggctc cttcttcctc	2280
tacagcaagc tcaccgtgga caagagcagg tggcagcagg ggaacgtctt ctcatgctcc	2340
gtgatgcatg aggctctgca caaccactac acgcagaaga gcctctccct gtctccgggt	2400
aaataaatcg atggcgcgcc	2420

<210> 35
 <211> 2465
 <212> DNA
 <213> Artificial Sequence

<220>
 <223> IgG1 Hinge Panitumumab

<400> 35	
gctagcaagc ttgttatcca ccatggagac agacacactc ctgctatggg tactgctgct	60
ctgggttcca ggttccactg gtgacgagcc caaatcttgt gacaaaactc acacatgccc	120
accgtgcccgtttaacggcg gggcgccag cggtccctg ggtgtgagag cggccagcc	180
ggcgatattgtatgaccca gagcccgctg agcctgccgg tgaccccagg cgaaccggcg	240
tcgattagct gccgcagctc gcagaacatc gtgcataata acggcattac ctatctggaa	300
tggtatctgc agaaaccggg ccaaagcccg cagctttaa ttataaaagt gagcgatcgc	360
tttagcggcg tgccggatcg ctttcgggc agcggtatgt gcaccgattt tacgctgaaa	420
attagccgcg tggaagcggaa ggtgttggc gtgtattact gcttcaggg cagccatatc	480
ccgccaacctt tgggccaagg caccaaagtg gaaattaaac ggcgcggac tgtggctgca	540
ccatctgtct tcatctccc gccatctgat gagcagttga aatctggAAC tgcctctgtt	600
gtgtgcctgc tgaataactt ctatcccaga gaggccaaag tacagtggaa ggtggataac	660
gccctccaaat cgggtaaactc ccaggaggt gtcacagagc aggacagcaa ggacagcacc	720
tacagcctca gcagcacccct gacgctgagc aaagcagact acgagaaaca caaactctac	780

gcctgcgaag tcacccatca gggcctgagc tcgcccgtca caaagagctt caacagggga	840
gagtgcctcg agcgagcaaa acgagcacca gtaaaaacaaa cactaaactt cgacctacta	900
aaactagcag gagacgtaga atcaaaccctt ggaccagcca caaccatgga gacagacaca	960
ctcctgctat gggtaactgct gctctgggtt ccaggttcca ctggtgacga gcccaaatct	1020
tgtgacaaaa ctcacacatg cccaccgtgc ccaggcggcc gcggcggcgg cgccagcgg	1080
ccccctgggtg tgagaagatc tcaggtgcaa ctggttcaga gcggcgcgga agtaaaaag	1140
ccgggcgcgt cggttaaagt gagctgcaaa gcctcaggct atacctttac gagctactgg	1200
atgcattggg tgcgccaggc cccgggtcag ggcctggaat ggatgggtaa catttatccg	1260
ggcagcggtg gcaccaacta tgcgaaaaaa tttaagaacc gcgtgaccat gacgcgtgat	1320
accagcattt cgacggccta tatggaactg agccgcctgc gttagcgatga caccgcgtg	1380
tattactgcg cgccgcgtgg cggccgtat ttttcgatt actggggcca gggtacgctg	1440
gttaccgtga gctcggcctc caccaaggga ccatcggctt tccccctggc accctcctcc	1500
aagagcacct ctgggggcac agccgcctg ggctgcctgg tcaaggacta cttcccccggaa	1560
ccggtgacgg tgtcggtgaa ctcaggcgcc ctgaccagcg gcgtgcacac cttcccggt	1620
gtcctacagt cctcaggact ctactccctc agcagcgtgg tgaccgtgcc ctccagcagc	1680
ttggcaccc agacctacat ctgcaacgtg aatcacaaggcc ctagcaacac caaggtggac	1740
aagagagttt tcgacgagcc caaatcttgt gacaaaaactc acacatgccc accgtgccc	1800
gcacctgaac tcctgggggg accgtcagtc ttccctttcc ccccaaaacc caaggacacc	1860
ctcatgatct cccggacccc tgaggtcaca tgcgtgggtt tggacgtgag ccacgaagac	1920
cctgaggtca agttcaactg gtacgtggac ggcgtggagg tgcataatgc caagacaaag	1980
ccgcgggagg agcagtacaa cagcacgtac cgtgtggtca gcgtcctcac cgtcctgcac	2040
caggactggc tgaatggcaa ggagtacaag tgcaaggctt ccaacaaaggcc cttccagcc	2100
cccatcgaga aaaccatctc caaagccaaa gggcagcccc gagaaccaca ggtgtacacc	2160
ctgccccat cccgggagga gatgaccaag aaccaggctca gcctgacctt cctggtcaaa	2220
ggcttctatc ccagcgacat cggccgtggag tggagagca atgggcagcc ggagaacaac	2280
tacaagacca cgcctccgt gctggactcc gacggcttctt tcttcctcta tagcaagctc	2340
accgtggaca agagcagggtg gcagcagggg aacgtttctt catgctccgt gatgcgttag	2400
gctctgcaca accactacac gcagaagagc ctctccctgt ccccggtaa aatcgatggc	2460
gcgcc	2465

<210> 36
 <211> 2439
 <212> DNA
 <213> Artificial Sequence

<220>

<223> IgG1 Hinge Prolia

<400> 36

gctagcaagc ttgttatcca ccatggagac agacacactc ctgctatggg tactgctgct	60
ctgggttcca ggttccactg gtgacgagcc caaatcttgt gacaaaactc acacatgccc	120
accgtgccc gttAACGGCG gcggcggcag cggtccctg ggtgtgagag cggcccagcc	180
ggccgaaatt gtgttgacgc agtctccagg caccctgtct ttgtctccag gggaaagagc	240
caccctctcc tgttagggcca gtcagagtgt tcgcggcagg tacttagcct ggtaccagca	300
gaaacctggc caggctccca ggctcctcat ctatggtgca tccagcaggg ccactggcat	360
cccagacagg ttcagtggca gtgggtctgg gacagacttc actctcacca tcagcagact	420
ggagcctgaa gatTTTgcag tgTTTactg tcagcagtat ggtagttcac ctcggacgtt	480
cggccaaggg accaagggtgg aaatcaaacg aactgtggct gcaccatctg tcttcatctt	540
cccgccatct gatgagcagt tgaaatctgg aactgcctct gttgtgtgcc tgctgaataa	600
cttctatccc agagaggcca aagtacagtg gaagggtggat aacgcccctcc aatcggtaa	660
ctcccaggag agtgtcacag agcaggacag caaggacagc acctacagcc tcagcagcac	720
cctgacgctg agcaaagcag actacgagaa acacaaactc tacgcctgctg aagtacacca	780
tcagggcctg agctcgcccg tcacaaagag cttcaacagg ggagagtgcc tcgagcagc	840
aaaacgagca ccagtaaaac aaacactaaa cttcgaccta ctaaaactag caggagacgt	900
agaatcaaac ccaggaccag ccacaaccat ggagacagac acactcctgc tatgggtact	960
gctgctctgg gttccagggtt ccactggtga cgagccaaa tcttgtgaca aaactcacac	1020
atgcccaccc tgcccaggcg gccgcggcgg cggcggcagc ggtccctgg gtgtgagaag	1080
atctgaagtg aagctggagg agtctggagg aggcttggtg caacctggag gatccatgaa	1140
actctcctgt gttgcctctg gattcatttt cagtaaccac tggatgaact gggtcgcca	1200
gtctccagag aaggggcttgc agtgggttgc tgaaattaga tcaaaatcta ttaattctgc	1260
aacacattat gcggagtctg tgaaagggag gttcaccatc tcaagagatg attccaaaag	1320
tgctgtctac ctgcaaatttgc ccgacttaag aactgaagac actggcggtt attactgttc	1380
caggaattac tacggtagta cctacgacta ctggggccaa ggcaccactc tcacagtctc	1440
ctcagcctcc accaagggcc catcggttttccccctggca ccctcctccca agagcacctc	1500
tggggcaca gcggccctgg gctgcctggt caaggactac ttccccgaac cggtgacggt	1560
gtcggtggac tcaggcgccc tgaccagcgg cgtgcacacc ttcccggctg tcctacagtc	1620
ctcaggactc tactccctca gcagcgttgtt gaccgtgccc tccagcagct tgggcaccca	1680
gacctacatc tgcaacgtga atcacaagcc cagcaacacc aaggtcgaca agacagttga	1740
gcgcaaattgt tgggtcgagt gcccaccgtg cccagcacca cctgtggcag gaccgtcagt	1800

cttcctcttc	cccccaaaac	ccaaggacac	cctcatgatc	tcccgaccc	ctgaggtcac	1860
gtgcgtggtg	gtggacgtga	gccacgaaga	ccccgaggtc	cagttcaact	ggtacgtgga	1920
cggcgtggag	gtgcataatg	ccaagacaaa	gccacggag	gagcagttca	acagcacgtt	1980
ccgtgtggtc	agcgtcctca	ccgtcgtgca	ccaggactgg	ctgaacggca	aggagtacaa	2040
gtgcaaggtc	tccaacaaag	gcctcccagc	ccccatcgag	aaaaccatct	ccaaaaaccaa	2100
agggcagccc	cgagaaccac	aggtgtacac	cctgccccca	tcccgggagg	agatgaccaa	2160
gaaccaggtc	agcctgacct	gcctggtcaa	aggcttctac	cccagcgaca	tcgccgtgga	2220
gtggagagc	aatgggcagc	cggagaacaa	ctacaagacc	acacctccc	tgctggactc	2280
cgacggctcc	ttcttcctct	acagcaagct	caccgtggac	aagagcaggt	ggcagcaggg	2340
gaacgtcttc	tcatgctccg	tgtgcata	ggctctgcac	aaccactaca	cacagaagag	2400
cctctccctg	tctccggta	aataaatcga	tggcgcgccc			2439

<210> 37
 <211> 2421
 <212> DNA
 <213> Artificial Sequence

<220>
 <223> IgG2 Hinge Prolia

<400> 37						
gctagcaagc	ttgttatcca	ccatggagac	agacacactc	ctgctatggg	tactgctgct	60
ctgggttcca	ggttccactg	gtgacgagcg	caaatgtgt	gtcgagtgcc	caccgtgccc	120
agttaacggc	ggcggcggca	gcggccccct	gggtgtgaga	gcggcccgac	cggccgaaat	180
tgtgttgcac	cagtctccag	gcaccctgtc	tttgtctcca	ggggaaagag	ccaccctctc	240
ctgttagggcc	agtcagagtg	ttcgccggcag	gtacttagcc	tggtaccaggc	agaaacctgg	300
ccagggctccc	aggctcctca	tctatggtgc	atccagcagg	gccactggca	tcccagacag	360
gttcagtgcc	agtgggtctg	ggacagactt	cactctcacc	atcagcagac	tggagcctga	420
agatttgca	gtgtttact	gtcagcagta	tggtagttca	cctcggacgt	tcggccaagg	480
gaccaagggtg	gaaatcaa	gaactgtggc	tgcaccatct	gtttcatct	tcccggccatc	540
tgtatgac	ttgaaatctg	gaactgcctc	tgttgtgtgc	ctgctgaata	acttctatcc	600
cagagaggcc	aaagtacagt	ggaagggtgg	taacgcctc	caatcgggta	actcccagga	660
gagtgtcaca	gagcaggaca	gcaaggacag	cacctacagc	ctcagcagca	ccctgacgct	720
gagcaaagca	gactacgaga	aacacaaact	ctacgcctgc	gaagtcaccc	atcagggcct	780
gagctcgccc	gtcacaaaga	gcttcaacag	gggagagtgc	ctcgagcgag	caaaacgagc	840
accagtaaaa	caaacactaa	acttcgaccc	actaaaacta	gcaggagacg	tagaatcaa	900
cccaggacca	gccacaaacca	tggagacaga	cacactcctg	ctatgggtac	tgctgctctg	960

ggttccaggt tccactggtg acgagcgcaa atgttgtgc gagtgcccac cgtccccagg	1020
cggccgcggc ggcggcgca gcggtcccct gggtgtgaga agatctgaag tgaagctgga	1080
ggagtctgga ggaggcttgg tgcaacctgg aggatccatg aaactctcct gtgtgcctc	1140
tggattcatt ttcatgtacc actggatgaa ctgggtccgc cagtctccag agaaggggct	1200
tgagtgggtt gctgaaatta gatcaaaaatc tattaattct gcaacacatt atgcggagtc	1260
tgtgaaaggg aggttcacca tctcaagaga tgattccaaa agtgctgtct acctgcaaata	1320
gaccgactta agaactgaag acactggcgt ttattactgt tccaggaatt actacggtag	1380
tacctacgac tactggggcc aaggcaccac tctcacagtc tcctcagcct ccaccaaggg	1440
cccatcggtc ttccccctgg cacccctcctc caagagcacc tctggggca cagcggccct	1500
gggctgcctg gtcaaggact acttccccga accggtgacg gtgtcgtgga actcaggcgc	1560
cctgaccagc ggcgtgcaca cttcccgcc tgcctacag tcctcaggac tctactccct	1620
cagcagcgtg gtgaccgtgc cttccagcag cttgggacc cagacctaca tctgcaacgt	1680
gaatcacaag cccagcaaca ccaaggtcga caagacagtt gagcgcaaata gttgtgtcga	1740
gtgcccaccc tgcccagcac cacctgtggc aggaccgtca gtcttcctct tccccccaaa	1800
acccaaggac accctcatga tctccggac ccctgaggtc acgtgcgtgg tggtgacgt	1860
gagccacgaa gaccccgagg tccagttcaa ctggtaacgtg gacggcgtgg aggtgcataa	1920
tgccaagaca aagccacggg aggacagtt caacagcacg ttccgtgtgg tcagcgtcct	1980
caccgtcgtg caccaggact ggctgaacgg caaggagtac aagtgcagg tctccaacaa	2040
aggcctccca gccccatcg agaaaaccat ctccaaaacc aaagggcagc cccgagaacc	2100
acaggtgtac accctgcccc catccggga ggagatgacc aagaaccagg tcagcgtgac	2160
ctgcctggtc aaaggcttct accccagcga catgcggcgtg gagtgggaga gcaatggca	2220
gccggagaac aactacaaga ccacacctcc catgctggac tccgacggct ctttttcct	2280
ctacagcaag ctcaccgtgg acaagagcag gtggcagcag gggAACGTCT tctcatgctc	2340
cgttatgcat gaggctctgc acaaccacta cacacagaag agcctctccc tgtctccggg	2400
taaataaaatc gatggcgccgc c	2421

<210> 38
<211> 2759
<212> DNA
<213> Artificial Sequence

<220>
<223> IgG3 Hinge Prolia

<400> 38 gctagcaagc ttgttatcca ccatggagac agacacactc ctgctatggg tactgctgt	60
ctgggttcca gttccactg gtgacgagct caaaaacccca cttggtgaca caactcacac	120

atgcccacgg tgcccagagc ccaaatacttg tgacacacacct ccccccgtgcc cacgggtgcc 180
agagccaaa tcttgtaca cacctcccc atgcccacgg tgcccagagc ccaaatacttg 240
tgacacacacct ccccccgtgcc caaggtgccca agttaacggc ggcggcggca gcgggtccct 300
gggtgtgaga gcggcccgac cggccgaaat tgtgttgacg cagtctccag gcaccctgtc 360
tttgtctcca ggggaaagag ccaccctctc ctgttagggcc agtcagagtg ttgcggcag 420
gtacttagcc tggtaccagc agaaacctgg ccaggctccc aggctctca tctatggtgc 480
atccagcagg gccactggca tccagacag gttcagtggc agtgggtctg ggacagactt 540
cactctcacc atcagcagac tggagcctga agatttgca gtgtttact gtcagcagta 600
tggtagttca cctcggacgt tcggccaagg gaccaaggtg gaaatcaaac gaactgtggc 660
tgcaccatct gtcttcatct tcccgccatc tgatgagcag ttgaaatctg gaactgcctc 720
tgggtgtgc ctgctgaata acttctatcc cagagaggcc aaagtacagt ggaagggtgga 780
taacgcctc caatcggta actcccagga gagtgcaca gagcaggaca gcaaggacag 840
cacctacagc ctcagcagca ccctgacgct gagcaaagca gactacgaga aacacaaact 900
ctacgcctgc gaagtcaccc atcagggcct gagctgccc gtcacaaaga gttcaacag 960
gggagagtgc ctcgagcag caaaacgagc accagtaaaa caaacactaa acttcgaccc 1020
actaaaaacta gcaggagacg tagaatcaaa cccaggacca gccacaacca tggagacaga 1080
cacactcctg ctatgggtac tgctgctctg gttccaggt tccactggtg acgagctcaa 1140
aaccccaactt ggtgacacaa ctcacacatg cccacgggtgc ccagagccca aatcttgtga 1200
cacacctccc ccgtgcccac ggtgcccaga gcccaaattct tgtgacacac ctccccatg 1260
cccacgggtgc ccagagccca aatcttgtga cacacctccc ccgtgcccata ggtgcccagg 1320
cggccgcggc ggcggcggca gcggtccct ggggtgtgaga agatctgaag tgaagctgga 1380
ggagtctgga ggaggcttgg tgcaacctgg aggatccatg aaactctcct gtgtgcctc 1440
tggattcatt ttcagtaacc actggatgaa ctgggtccgc cagtctccag agaagggct 1500
tgagtgggtt gctgaaatta gatcaaatac tattaattct gcaacacatt atgcggagtc 1560
tgtgaaagg agttcacca tctcaagaga tgattccaaa agtgctgtct acctgcaaatt 1620
gaccgactta agaactgaag acactggcgt ttattactgt tccaggaatt actacggtag 1680
tacctacgac tactggggcc aaggcaccac tctcacagtc tcctcagcct ccaccaaggg 1740
cccatcggtc ttccccctgg caccctcctc caagagcacc tctggggca cagcggccct 1800
gggctgcctg gtcaaggact acttccccga accggtgacg gtgtcgtgga actcaggcgc 1860
cctgaccagc ggcgtgcaca cttcccgcc tgcctacag tcctcaggac tctactccct 1920
cagcagcgtg gtgaccgtgc cttccagcag cttgggcacc cagacctaca tctgcaacgt 1980
gaatcacaag cccagcaaca ccaaggtcga caagacagtt gagcgcaaatt gttgtgtcga 2040

gtgcccacccg	tgcccagcac	cacctgtggc	aggaccgtca	gtcttcctct	tccccccaaa	2100
acccaaggac	accctcatga	tctccggac	ccctgaggtc	acgtgcgtgg	tggtggacgt	2160
gagccacgaa	gaccccgagg	tccagttcaa	ctggtaacgtg	gacggcgtgg	aggtgcataa	2220
tgccaagaca	aagccacggg	aggagcagtt	caacagcacg	ttccgtgtgg	tcagcgtcct	2280
caccgtcgtg	caccaggact	ggctgaacgg	caaggagtac	aagtgcagg	tctccaacaa	2340
aggcctccca	gcccccatcg	agaaaaccat	ctccaaaacc	aaagggcagc	cccgagaacc	2400
acaggtgtac	accctgcccc	catcccgga	ggagatgacc	aagaaccagg	tcagcctgac	2460
ctgcctggtc	aaaggcttct	accccagcga	catcgccgtg	gagtgggaga	gcaatgggca	2520
gccggagaac	aactacaaga	ccacacctcc	catgctggac	tccgacggct	ccttcttcct	2580
ctacagcaag	ctcaccgtgg	acaagagcag	gtggcagcag	gggaacgtct	tctcatgctc	2640
cgtgatgcat	gaggctctgc	acaaccacta	cacacagaag	agcctctccc	tgtctccggg	2700
taaataaaaca	cgcagaagag	cctctccctg	tctccggta	aataaatcga	tggcgcgcc	2759

<210> 39
 <211> 2421
 <212> DNA
 <213> Artificial Sequence

<220>
 <223> IgG4 Hinge Prolia

<400> 39						
gctagcaagc	ttgttatcca	ccatggagac	agacacactc	ctgctatggg	tactgctgct	60
ctgggttcca	ggttccactg	gtgacgagtc	caaatatggt	cccccatgcc	catcatgccc	120
agttaacggc	ggcggcggca	gcggccccct	gggtgtgaga	gcggcccaagc	cggccgaaat	180
tgtgttgcacg	cagtctccag	gcaccctgtc	tttgtctcca	ggggaaagag	ccaccctctc	240
ctgttagggcc	agtcagagtg	ttcgcggcag	gtacttagcc	tgttaccagc	agaaacctgg	300
ccaggctccc	aggctcctca	tctatggtgc	atccagcagg	gccactggca	tcccagacag	360
gttcagtggc	agtgggtctg	ggacagactt	cactctcacc	atcagcagac	tggagcctga	420
agatttgca	gtgtttact	gtcagcagta	tggtagttca	cctcggacgt	tcggccaagg	480
gaccaaggtg	gaaatcaaac	gaactgtggc	tgcaccatct	gtttcatct	tcccgccatc	540
tgtatgagcag	ttgaaatctg	gaactgcctc	tgttgtgtgc	ctgctgaata	acttctatcc	600
cagagaggcc	aaagtacagt	ggaaggtgga	taacgcctc	caatcgggta	actcccagga	660
gagtgtcaca	gagcaggaca	gcaaggacag	cacctacagc	ctcagcagca	ccctgacgct	720
gagcaaagca	gactacgaga	aacacaaact	ctacgcctgc	gaagtcaccc	atcagggcct	780
gagctcgccc	gtcacaaga	gctcaacag	gggagagtgc	ctcgagcag	caaaacgagc	840
accagtaaaa	caaacactaa	acttcgaccc	actaaaacta	gcaggagacg	tagaatcaa	900

cccaggacca	gccacaacca	tggagacaga	cacactcctg	ctatgggtac	tgctgctctg	960
ggttccaggt	tccactggtg	acgagtccaa	atatggtccc	ccatgcccatt	catgccagg	1020
cggccgcggc	ggcgccggca	gcggtccccct	gggtgtgaga	agatctgaag	tgaagctgga	1080
ggagtctgga	ggaggcttgg	tgcaacctgg	aggatccatg	aaactctcct	gtgttcctc	1140
tggattcatt	ttcagtaacc	actggatgaa	ctgggtccgc	cagtctccag	agaaggggct	1200
tgagtgggtt	gctgaaatta	gatcaaaatc	tattaattct	gcaacacatt	atgcggagtc	1260
tgtgaaagg	aggttcacca	tctcaagaga	tgattccaaa	agtgctgtct	acctgcaaata	1320
gaccgactta	agaactgaag	acactggcgt	ttattactgt	tccaggaatt	actacggtag	1380
tacctacgac	tactgggccc	aaggcaccac	tctcacagtc	tcctcagcct	ccaccaaggg	1440
cccatcggtc	ttccccctgg	caccctcctc	caagagcacc	tctggggca	cagcggccct	1500
gggctgcctg	gtcaaggact	acttccccga	accggtgacg	gtgtcggtgg	actcaggcgc	1560
cctgaccagc	ggcgtgcaca	ccttcccgcc	tgtcctacag	tcctcaggac	tctactccct	1620
cagcagcgtg	gtgaccgtgc	cctccagcag	cttggcacc	cagacctaca	tctgcaacgt	1680
gaatcacaag	cccagcaaca	ccaaggtcga	caagacagtt	gagcgcaaata	gttgtgtcga	1740
gtgcccaccc	tgcccagcac	cacctgtggc	aggaccgtca	gttttcctct	tcccccaaaa	1800
acccaaggac	accctcatga	tctccggac	ccctgaggc	acgtgcgtgg	tggtgacgt	1860
gagccacgaa	gaccccgagg	tccagttcaa	ctggtaacgtg	gacggcgtgg	aggtgcataa	1920
tgccaagaca	aagccacgg	aggagcagtt	caacagcacg	ttccgtgtgg	tcagcgtcct	1980
caccgtcgtg	caccaggact	ggctgaacgg	caaggagtac	aagtgcagg	tctccaacaa	2040
aggcctccca	gccccatcg	agaaaaccat	ctccaaaacc	aaagggcagc	cccgagaacc	2100
acaggtgtac	accctgcccc	catcccgga	ggagatgacc	aagaaccagg	tcagcctgac	2160
ctgcctggtc	aaaggcttct	accccagcga	catgcgcgtg	gagtgggaga	gcaatggca	2220
gccggagaac	aactacaaga	ccacacccctc	catgctggac	tccgacggct	cattttccct	2280
ctacagcaag	ctcaccgtgg	acaagagcag	gtggcagcag	ggaaacgtct	tctcatgctc	2340
cgtgatgcat	gaggctctgc	acaaccacta	cacacagaag	agcctctccc	tgtctccggg	2400
taaataaaatc	gatggcgcgc	c				2421

<210> 40
 <211> 2463
 <212> DNA
 <213> Artificial Sequence

<220>
 <223> IgA1 Hinge Prolia

<400> 40	gctagcaagg	ttgttatcca	ccatggagac	agacacactc	ctgctatggg	tactgctgct	60
----------	------------	------------	------------	------------	------------	------------	----

ctgggttcca ggttccactg gtgacccagt tccctcaact ccacctaccc catctccctc 120
aactccacct accccatctc cctcatgctg ccacgttaac ggcggcggcg gcagcggtcc 180
cctgggtgtg agagcggccc agccggccga aattgtgttg acgcagtctc caggcaccct 240
gtcttgcgtcc ccagggaaa gagccaccct ctccgttagg gccagtcaga gtgttcgcgg 300
caggtactta gcctggtacc agcagaaacc tggccaggct cccaggctcc tcatactatgg 360
tgcatccagc agggccactg gcatcccaga caggttcagt ggcagtgggt ctggacaga 420
cttcaactctc accatcagca gactggagcc tgaagattt gcagtgtttt actgtcagca 480
gtatggtagt tcacctcgga cgttcggcca agggaccaag gtggaaatca aacgaactgt 540
ggctgcacca tctgtctca tcttcccgcc atctgatgag cagttgaaat ctggactgc 600
ctctgttgtg tgccctgctga ataacttcta tcccagagag gccaaagtac agtggaaaggt 660
ggataacgcc ctccaaatcg gtaactccca ggagagtgtc acagagcagg acagcaagga 720
cagcacctac agcctcagca gcaccctgac gctgagcaaa gcagactacg agaaacacaa 780
actctacgcc tgcgaagtca cccatcaggg cctgagctcg cccgtcacaa agagcttcaa 840
caggggagag tgccctcgagc gagaaaaacg agcaccagta aaacaaacac taaacttcga 900
cctactaaaa ctagcaggag acgtagaatc aaacccagga ccagccacaa ccatggagac 960
agacacactc ctgctatggg tactgctgct ctgggttcca ggttccactg gtgacgagcc 1020
caaatcttgt gacaaaactc acacatgccc accgtgccca ggcggccgcg gcggcggcg 1080
cagcggtccc ctgggtgtga gaagatctga agtgaagctg gaggagtctg gaggaggctt 1140
ggtgcaacct ggaggatcca tgaaactctc ctgtgttgcc tctggattca tttttagtta 1200
ccactggatg aactgggtcc gccagtctcc agagaagggg ctgagtggg ttgctgaaat 1260
tagatcaaaa tctattaatt ctgcaacaca ttatgcggag tctgtgaaag ggaggttcac 1320
catctcaaga gatgattcca aaagtgtgt ctacctgcaa atgaccgact taagaactga 1380
agacactggc gtttattact gttccaggaa ttactacggt agtacctacg actactgggg 1440
ccaaggcacc actctcacag tctccctcagc ctccaccaag ggcccatcg tcttccccct 1500
ggcacccctcc tccaagagca cctctggggg cacagcggcc ctgggctgcc tggtaagga 1560
ctacttccccc gaaccgggtga cggtgtcggt gaactcaggc gccctgacca gcggcgtgca 1620
caccttccccg gctgtcctac agtccctcagg actctactcc ctcagcagcg tggtgaccgt 1680
gccctccagc agttgggca cccagaccta catctgcaac gtgaatcaca agcccagcaa 1740
caccaaggc gacaagacag ttgagcgcaa atgttggtc gagtgcccac cgtgccagc 1800
accacctgtg gcaggaccgt cagtcttcct cttccccca aaacccaagg acaccctcat 1860
gatctcccg acccctgagg tcacgtcggt ggtgggtggac gtgagccacg aagaccccgaa 1920
ggtccagttc aactggtacg tggacggcgt ggaggtgcat aatgccaaga caaagccacg 1980

ggaggagcag ttcaacagca cgttccgtgt ggtcagcgta ctcaccgtcg tgcaccagga	2040
ctggctgaac ggcaaggagt acaagtgcaa ggtctccaac aaaggcctcc cagccccat	2100
cgagaaaaacc atctccaaaa ccaaagggca gccccgagaa ccacaggtgt acaccctgcc	2160
cccatcccg gaggagatga ccaagaacca ggtcagcctg acctgcctgg tcaaaggctt	2220
ctaccccagc gacatcgccg tggagtggga gagcaatggg cagccggaga acaactacaa	2280
gaccacacct cccatgctgg actccgacgg ctcccttctc ctctacagca agtcaccgt	2340
ggacaagagc aggtggcagc agggaaacgt ctttcatgc tccgtgatgc atgaggctt	2400
gcacaaccac tacacacaga agagcctctc cctgtctccg ggtaaataaaa tcgatggcgc	2460
gcc	2463

<210> 41
<211> 2409
<212> DNA
<213> Artificial Sequence

<220>
<223> IgA2 Hinge Prolia

<400> 41	
gctagcaagc ttgttatcca ccatggagac agacacactc ctgctatggg tactgctgt	60
ctgggttcca ggttccactg gtgacccagt tcccccacct ccccccattgtc gccacgttaa	120
cggcggcggc ggcagcggtc ccctgggtgt gagagcggcc cagccggccg aaatttgttt	180
gacgcagtct ccaggcaccc tgtctttgtc tccagggaa agagccaccc ttcctgttag	240
ggccagtcag agtgttcgcg gcaggtactt agcctggta cagcagaaac ctggccaggc	300
tcccaggctc ctcatctatg gtgcattccag cagggccact ggcattccag acaggttcag	360
tggcagtggg tctggacag acttcactct caccatcagc agactggagc ctgaagattt	420
tgcagtgttt tactgtcagc agtatggtag ttcacctcg acgttcggcc aaggaccaa	480
ggtgaaatc aaacgaactg tggctgcacc atctgttcc atcttccgc catctgtga	540
gcagttgaaa tctggaaactg cctctgttgt gtgcctgctg aataacttct atcccagaga	600
ggccaaagta cagtggaaagg tggataacgc cctccaatcg ggttaactccc aggagagtgt	660
cacagagcag gacagcaagg acagcaccta cagcctcagc agcaccctga cgctgagcaa	720
agcagactac gagaaacaca aactctacgc ctgcgaagtc acccatcagg gcctgagctc	780
gcccgtcaca aagagcttca acaggggaga gtgcctcgag cgagcaaaac gagcaccagt	840
aaaacaaaca ctaaacttcg acctactaaa actagcagga gacgtagaat caaacccagg	900
accagccaca accatggaga cagacacact cctgctatgg gtactgctgc tctgggttcc	960
aggttccact ggtgacccag ttccccacc tccccatgc tgccacggcg gccgcggcgg	1020
cggcggcagc ggtccccctgg gtgtgagaag atctgaagtg aagctggagg agtctggagg	1080

aggcttggtg	caacctggag	gatccatgaa	actctcctgt	gttgcctctg	gattcatttt	1140		
cagtaaccac	tggatgaact	gggtccgcca	gtctccagag	aaggggcttg	agtgggttgc	1200		
tgaaattaga	tcaaaaatcta	ttaattctgc	aacacattat	gcggagtctg	tgaaagggag	1260		
gttcaccatc	tcaagagatg	attccaaaag	tgctgtctac	ctgcaaata	ccgacttaag	1320		
aactgaagac	actggcg	ttt	attactgttc	caggaattac	tacggtagta	cctacgacta	1380	
ctggggccaa	ggcaccactc	tcacagtctc	ctcagcctcc	accaagg	ggcc	catcggtctt	1440	
ccccctggca	ccctcctcca	agagcac	ctc	tggggcaca	gccc	ctgg	gctgcctgg	1500
caaggactac	ttccccgaac	cgg	tg	tgac	tg	gac	tg	1560
cgtcacacc	ttcccggt	tc	ct	tc	tg	acc	ac	1620
gaccgtgccc	tccagcag	ct	tg	gg	cc	ac	at	1680
cagcaacacc	aagg	tc	g	ac	at	gt	gt	1740
cccagcacca	cctgtgg	cag	gacc	gtc	act	cc	ct	1800
cctcatgatc	tcccgg	gac	cc	ctg	act	cc	ct	1860
ccccgagg	tcaact	gg	tac	gt	gt	gt	gt	1920
gccacgggag	gagcag	tt	ca	ac	gt	cc	cc	1980
ccaggactgg	ctgaacgg	ca	agg	at	gg	cc	cc	2040
ccccatcgag	aaaaccat	ct	ccaa	acc	aa	cc	cc	2100
cctgccccca	tcccgg	agg	at	gac	aa	gg	gg	2160
aggcttctac	cccagc	gaca	tc	cc	gt	gg	gg	2220
ctacaagacc	acac	ctcca	tg	ctgg	act	cc	ct	2280
caccgtggac	aag	agcag	gt	gg	gg	ac	cc	2340
ggctctgcac	aacc	actaca	ca	caga	agag	cc	cc	2400
tggcgcgccc								2409

<210> 42
 <211> 2419
 <212> DNA
 <213> Artificial Sequence

<220>
 <223> IgG1 Hinge Raptiva

<400> 42	aagcttggta	tccaccatgg	agacagacac	actcctgcta	tgggtactgc	tgctctgggt	60	
	tccaggttcc	actggtgacg	agccaaatc	ttgtgacaaa	actcacacat	gcccaccgtg	120	
	cccagttaac	ggcggcggcg	gcagccc	ttt	cagagcggcc	cagccggccg	acatccagat	180
	gacc	cag	ac	gg	cc	cc	cc	240

agccagcaag accatcagca agtacctggc ctggtaaccag cagaagcccc gcaaggcccc 300
caagctgctg atctacagcg gcagcacccct gcagagcggc gtgcccgagca gattcagcgg 360
cagcggcagc ggcaccgact tcaccctgac catcagcagc ctgcagcccc aggacttcgc 420
cacctactac tgccagcagc acaacgagta cccccctgacc ttcggccagg gcaccaaggt 480
ggagatcaag agaactgtgg ctgcaccatc tgtttcatc ttcccggccat ctgatgagca 540
gttgaatct ggaactgcct ctgttgtgtg cctgctgaat aacttctatc ccagagaggc 600
caaagtacag tggaaagggtgg ataacgcct ccaatcggtt aactcccagg agagtgtcac 660
agagcaggac agcaaggaca gcacctacag cctcagcagc accctgacgc tgagcaaagc 720
agactacgag aaacacaaaac tctacgcctg cgaagtcacc catcagggcc tgagctcgcc 780
cgtcacaaag agcttcaaca ggggagagtg cctcgagcga gcaaaacgag caccagtaaa 840
acaaacacta aacttcgacc tactaaaact agcaggagac gttagaatcaa acccaggacc 900
agccacaacc atggagacag acacactcct gctatggta ctgctgctct gggttccagg 960
ttccactggc gacgagccca aatcttgtga caaaaactcac acatgcccac cgtgcccagg 1020
cggccgcggc ggcggcgca gccccttcag aagatctgag gtgcagctgg tggagagcgg 1080
cggcggcctg gtgcagcccc gcggcagcct gagactgagc tgccgcgcca gcggctacag 1140
cttcaccggc cactggatga actgggtgag acaggcccc ggcaagggcc tggagtggtt 1200
gggcatgatc cacccccagcg acagcgagac cagatacaac cagaagttca aggacagatt 1260
caccatcagc gtggacaaga gcaagaacac cctgtacctg cagatgaaca gcctgagagc 1320
cgaggacacc gccgtgtact actgcgccag aggcatctac ttctacggca ccacctactt 1380
cgactactgg ggccagggca ccctggtgac cgtctcctca gcctccacca agggaccatc 1440
ggtcttcccc ctggcacccct cctccaagag cacctctggg ggcacagcgg ccctggctg 1500
cctggtcaag gactactcc cgaaccggc gacgggtcg tggaaactcag ggcgcctgac 1560
cagcggcgtg cacacccctcc cggctgtctt acagtccctca ggactctact ccctcagcag 1620
cgtggtgacc gtgcctcca gcagcttggg cacccagacc tacatctgca acgtaatca 1680
caagccccagc aacaccaagg tcgacaagaa agttgagccc aaatcttgtg acaaaaactca 1740
cacatgcccc ccgtgcccag cacctgaact cctggggggc ccgtcagtct tcctttcccc 1800
cccaaaaccc aaggacaccc tcatgatctc ccggacccct gaggtcacat gcgtggtggt 1860
ggacgtgagc cacgaagacc ctgaggtcaa gttcaactgg tacgtggacg gcgtggaggt 1920
gcataatgcc aagacaaagc cgccggagga gcagtacaac agcacgtacc gggtggtcag 1980
cgtcctcacc gtcctgcacc aggactggct gaatggcaag gagtacaagt gcaaggtctc 2040
caacaaagcc ctcccagccc ccatcgagaa aaccatctcc aaagccaaag ggcagcccc 2100
agaaccacag gtgtacaccc tgccccatc ccggatgag ctgaccaaga accaggtcag 2160

cctgacactgc	ctggtcaaag	gcttctatcc	cagcgacatc	gccgtggagt	gggagagcaa	2220
tgggcagccg	gagaacaact	acaagaccac	gcctcccg	ctggactccg	acggctc	2280
cttcctctac	agcaagctca	ccgtggacaa	gagcaggtgg	cagcagggga	acgtcttctc	2340
atgctccgtg	atgcatgagg	ctctgcacaa	ccactacacg	cagaagagcc	tctccctgtc	2400
tccgggtaaa	taaatcgat					2419

<210> 43
<211> 2448
<212> DNA
<213> Artificial Sequence

<220>
<223> IgG1 Hinge Remicade

<400> 43						
gctagcaagc	ttgttatcca	ccatggagac	agacacactc	ctgctatggg	tactgctgct	60
ctgggttcca	ggttccactg	gtgacgagcc	caaattttgt	gacaaaactc	acacatgccc	120
accgtgccc	gttaacggcg	gcggcggcag	cggccccctg	ggtgtgagag	cggccagcc	180
ggccgacatc	ttgctgactc	agtctccagc	catcctgtct	gtgagtcag	gagaaagagt	240
cagtttctcc	tgcagggcca	gtcagttcgt	tggctcaagc	atccactgg	atcagcaaag	300
aacaaatgg	tctccaaggc	ttctcataaa	gtatgcttct	gagtctatgt	ctggatccc	360
ttccaggttt	agtggcagtg	gatcagggac	agatttact	cttagcatca	acactgtgga	420
gtctgaagat	attgcagatt	attactgtca	acaaagtcat	agctggccat	tcacgttcgg	480
ctcggggaca	aatttggaa	taaaacggac	tgtggctgca	ccatctgtct	tcatcttccc	540
gccatctgat	gagcagtta	aatctggAAC	tgcctctgtt	gtgtgcctgc	tgaataactt	600
ctatcccaga	gaggccaaag	tacagtggaa	ggtgataac	gccctccaat	cggtaactc	660
ccaggagagt	gtcacagagc	aggacagcaa	ggacagcacc	tacagcctca	gcagcaccct	720
gacgctgagc	aaagcagact	acgagaaaca	caaactctac	gcctgcgaag	tcacccatca	780
gggcctgagc	tcgcccgtca	caaagagctt	caacagggga	gagtgcctcg	agcgagcaaa	840
acgagcacca	gtaaaacaaa	cactaaactt	cgacctacta	aaacttagcag	gagacgtaga	900
atcaaacc	ggaccagcca	caaccatgga	gacagacaca	ctcctgctat	gggtactgct	960
gctctgggtt	ccaggttcca	ctggtgacga	gcccaaattct	tgtgacaaaa	ctcacacatg	1020
cccaccgtgc	ccagggcgcc	gcggcggcgg	cggcagcggt	cccctgggtg	tgagaagatc	1080
tgaagtgaag	ctggaggagt	ctggaggagg	cttggtgcaa	cctggaggat	ccatgaaact	1140
ctcctgtgtt	gcctctggat	tcattttcag	taaccactgg	atgaactggg	tccgcccagtc	1200
tccagagaag	gggcttgagt	gggttgctga	aattagatca	aaatctatta	attctgcaac	1260
acattatgcg	gagtctgtga	aaggaggtt	caccatctca	agagatgatt	ccaaaagtgc	1320

tgtctacctg	caaatacgaccg	acttaagaac	tgaagacact	ggcgtttatt	actgttccag	1380
gaattactac	ggtagtacct	acgactactg	gggc当地	accactctca	cagtctc当地	1440
agc当地ccacc	aaggccc当地	cgg当地tccc	c当地ggcaccc	t当地tccaaga	gcac当地tgg	1500
gggc当地agcg	gcc当地tggct	gc当地tggtaa	ggactacttc	ccc当地aacccg	tgac当地gtgc	1560
tg当地gaactca	ggc当地ccctga	ccag当地ggcgt	gc当地caccttc	ccgg当地gtcc	t当地acgttcc	1620
aggactctac	tcc当地tcagca	gc当地tggtgac	c当地gtccctcc	agc当地agttgg	gc当地accagac	1680
ctacatctgc	aa当地gtgaatc	aca当地gcccag	caac当地ccaag	gtc当地gacaaga	aag当地ttgagcc	1740
caaatacttgt	gaca当地aaactc	acacatgccc	acc当地gtcccc	gcac当地tgaac	t当地ctgggggg	1800
accgtc当地gtc	ttc当地cttcc	ccc当地aaaacc	caaggacacc	ctcat当地gtatct	ccc当地ggacc	1860
tgaggc当地aca	tgc当地gtgg	tgg当地acgtgag	ccac当地gaagac	c当地tggaggta	agtt当地caactg	1920
gtac当地gtggac	ggc当地gtggagg	t当地cataatgc	caag当地acaag	ccg当地cggggagg	agc当地agtacaa	1980
cagcacgtac	c当地gggtggta	gc当地gtcc	c当地gtcc	c当地ggactggc	t当地aatggcaa	2040
ggaggtacaag	tgcaagggtct	cca当地acaaagc	c当地tcccagcc	cccat当地cgaga	aaaccatctc	2100
caaagccaaa	ggc当地agcccc	gagaaccaca	ggt当地gtacacc	ctg当地ccccat	ccc当地gggatga	2160
gctgaccaag	aaccaggtca	gc当地ctgac	c当地tggtaaa	ggctt当地ctatc	ccagc当地gacat	2220
c当地ccgtggag	t当地gggagagca	atg当地ggcagcc	ggagaacaac	taca当地agacca	c当地cctcccgt	2280
gctggactcc	gac当地ggctc	t当地ttcctcta	cagcaagctc	acc当地gtggaca	agagc当地agg	2340
gc当地aggggg	aac当地gtcttct	catg当地tccgt	gatgcatgag	gctct当地gcaca	accactacac	2400
gc当地agaagac	ctctccctgt	ctccggtaa	ataaaatcgat	ggc当地cgcc		2448

<210> 44
 <211> 2430
 <212> DNA
 <213> Artificial Sequence

<220>
 <223> IgG2 Hinge Remicade

<400> 44						
gctagcaagc	ttgttatcca	ccatggagac	agacacactc	ctgctatggg	tactgctgct	60
ctgggttcca	ggttccactg	gtgacgagcg	caaatagttgt	gtcgagtgcc	caccgtgccc	120
agttaacggc	ggc当地ggc当地	gc当地ggccc当地	gggtgtgaga	gc当地ggccc当地	cg当地ggc当地acat	180
cttgctgact	cagtc当地ccag	ccatc当地tgc	tgtgagtc当地a	ggagaaagag	t当地agtttctc	240
ctgc当地aggcc	agtca	gtc当地gtcg	ttggctcaag	catccactgg	tatcagcaa	300
ttctccaagg	cttctcataa	agtatgcttc	t当地agtc当地atg	tctggatcc	cttccaggtt	360
tagtggcag	ggatcagg	cagat	tttac	tcttagcatc	aa	420
tattgcagat	tattactg	tc当地aa	aa	gtc当地gtgg	agtc当地tgaaga	
						480

aaatggaa gtaaacgga ctgtggctgc accatctgtc ttcatcttcc cgccatctga 540
tgagcagttg aaatctggaa ctgcctctgt tgtgtgcctg ctgaataact tctatcccag 600
agaggccaaa gtacagtgga aggtggataa cgccctccaa tcgggtaact cccaggagag 660
tgtcacagag caggacagca aggacagcac ctacagcctc agcagcaccc tgacgctgag 720
caaagcagac tacgagaaac acaaactcta cgccctgcgaa gtcacccatc agggcctgag 780
ctcgcccgta acaaagagct tcaacagggg agagtgcctc gagcgagcaa aacgagcacc 840
agtaaaacaa acactaaact tcgacctact aaaactagca ggagacgtag aatcaaacct 900
aggaccagcc acaaccatgg agacagacac actcctgcta tgggtactgc tgctctgggt 960
tccaggttcc actggtgacg agcCAAATG ttgtgtcgag tgcccaccgt gcccaggcgg 1020
ccgcggcggc ggcggcagcg gtcccctggg tgtgagaaga tctgaagtga agctggagga 1080
gtctggagga ggcttggtgc aacctggagg atccatgaaa ctctcctgtg ttgcctctgg 1140
attcattttc agtaaccact ggatgaactg ggtccggcag tctccagaga aggggcttga 1200
gtgggttgct gaaatttagat caaaatctat taattctgca acacattatg cggagtctgt 1260
gaaaggagg ttcaccatct caagagatga ttccaaaagt gctgtctacc tgcaaattgac 1320
cgacttaaga actgaagaca ctggcgTTA ttactgttcc aggaattact acggttagtac 1380
ctacgactac tggggccaag gcaccactct cacagtcTCC tcagcctcca ccaagggccc 1440
atcggtcttc cccctggcac cctcctccaa gagcacctct gggggcacag cggccctggg 1500
ctgcctggtc aaggactact tccccgaacc ggtgacggtg tcgtggact caggcgccct 1560
gaccagcggc gtgcacacct tcccgctgt cctacagtcc tcaggactct actccctcag 1620
cagcgtggtg accgtgcctt ccagcagctt gggcacccag acctacatct gcaacgtgaa 1680
tcacaagccc agcaacacca aggtcgacaa gaaagttgag cccaaatctt gtgacaaaac 1740
tcacacatgc ccaccgtgcc cagcacctga actcctgggg ggaccgtcag tcttccttctt 1800
ccccccaaaa cccaaggaca ccctcatgat ctcccggacc cctgaggtca catcggttgt 1860
ggtgacgtg agccacgaag accctgaggt caagttcaac tggtagtgg acggcgtgga 1920
ggtcataat gccaagacaa agcccgggga ggagcagttac aacagcacgt accgggttgt 1980
cagcgtcctc accgtcctgc accaggactg gctgaatggc aaggagtaca agtgcacagg 2040
ctccaacaaa gccctccag ccccatcga gaaaaccatc tccaaagcca aaggcagcc 2100
ccgagaacca caggtgtaca ccctgcccc atcccggat gagctgacca agaaccaggt 2160
cagcctgacc tgcctggtca aaggcttcta tcccagcgac atcgccgtgg agtggagag 2220
caatggcag ccggagaaca actacaagac cacgcctccc gtgctggact ccgacggctc 2280
cttcttcctc tacagcaagc tcaccgtgga caagagcagg tggcagcagg ggaacgttt 2340
ctcatgctcc gtgatgcattt aggtctgca caaccactac acgcagaaga gcctctccct 2400

gtctccgggt aaataaaatcg atggcgcgcc	2430
<210> 45	
<211> 3048	
<212> DNA	
<213> Artificial Sequence	
<220>	
<223> IgG3 Hinge Remicade	
<400> 45	
gctagcaagg ttgttatcca ccatggagac agacacactc ctgctatggg tactgctgct	60
ctgggttcca ggttccactg gtgacgagct caaaaacccc cttggtgaca caactcacac	120
atgcccacgg tgcccagagc ccaaattcttg tgacacacctt cccccgtgcc cacggtgccc	180
agagcccaaa tcttgtgaca cacctcccc atgcccacgg tgcccagagc ccaaattcttg	240
tgacacacctt cccccgtgcc caaggtgccccc agttaacggc ggcggcggca gcgggtccct	300
gggtgtgaga gcggcccccagc cgccgcacat cttgctgact cagtctccag ccatcctgtc	360
tgtgagtcca ggagaaaagag tcagtttctc ctgcagggcc agtcagttcg ttggctcaag	420
catccactgg tatcagcaaa gaacaaatgg ttctccaagg cttctcataaa agtatgcttc	480
tgagtctatg tctggatcc cttccaggtt tagtggcagt ggatcaggga cagattttac	540
tcttagcatc aacactgtgg agtctgaaga tattgcagat tattactgtc aacaaagtca	600
tagctggcca ttcacgttcg gctggggac aaatttggaa gtaaaacgga ctgtggctgc	660
accatctgtc ttcatcttcc cgccatctga tgagcagttg aaatctggaa ctgcctctgt	720
tgtgtgcctg ctgaataact tctatcccag agaggccaaa gtacagtggaa aggtggataa	780
cgcctccaa tcgggtaact cccaggagag tgtcacagag caggacagca aggacagcac	840
ctacagcctc agcagcaccc tgacgctgag caaagcagac tacgagaaac acaaactcta	900
cgcctgcgaa gtcacccatc agggctgag ctgcggcgtc acaaagagct tcaacagggg	960
agagtgccctc gagcgagcaa aacgagcacc agtaaaacaa acactaaact tcgacact	1020
aaaactagca ggagacgtag aatcaaacc accgaccagcc acaaccatgg agacagacac	1080
actcctgcta tgggtactgc tgctctgggt tccaggttcc actggtgacg agctcaaaac	1140
cccacttgggt gacacaactc acacatgccc acgggtgccca gagcccaaattt cttgtgacac	1200
acctcccccg tgcccacggc gcccagagcc caaatcttgt gacacaccc cccatgccc	1260
acgggtgccca gagcccaaattt cttgtgacac acctcccccg tgcccaggtt gcccaggcgg	1320
ccgcggcggc ggcggcagcg gtcccctggg tgtgagaaga tctgaagtga agctggagga	1380
gtctggagga ggcttgggc aacctggagg atccatgaaa ctctcctgtg ttgcctctgg	1440
attcattttc agtaaccact ggatgaactg ggtccggccag tctccagaga aggggcttga	1500
gtgggttgc gaaatttagat caaaaatctat taattctgca acacattatg cggagtctgt	1560

gaaaggagg ttcaccatct caagagatga ttccaaaagt gctgtctacc tgcaaatgac	1620
cgacttaaga actgaagaca ctggcgttta ttactgttcc aggaattact acggttagtac	1680
ctacgactac tggggccaag gcaccactct cacagtctcc tcagcctcca ccaagggccc	1740
atcggtcttc cccctggcac ctcctccaa gagcacctct gggggcacag cggccctggg	1800
ctgcctggtc aaggactact tccccgaacc ggtgacggtg tcgtggaact caggcgccct	1860
gaccagcggc gtgcacacct tcccgctgt cctacagtcc tcaggactct actccctcag	1920
cagcgtggtg accgtccct ccagcagctt gggcacccag acctacatct gcaacgtgaa	1980
tcacaagccc agcaacacca aggtcgacaa gaaagttgag cccaaatctt gtgacaaaac	2040
tcacacatgc ccaccgtgcc cagcacctga actcctgggg ggaccgtcag tcttccttctt	2100
ccccccaaaa cccaaggaca ccctcatgtat ctcccggacc cctgaggtca catgcgtgg	2160
ggtggacgtg agccacgaag accctgaggt caagttcaac tggtaacgtgg acggcgtgga	2220
ggtcataat gccaagacaa agccgcggga ggagcagttac aacagcacgt accgggtgg	2280
cagcgtcctc accgtcctgc accaggactg gctaatggc aaggagtaca agtcaaggt	2340
ctccaacaaa gccctccag ccccatcga gaaaaccatc tccaaagcca aaggcagcc	2400
ccgagaacca caggtgtaca ccctgcccccc atcccggat gagctgacca agaaccaggt	2460
cagcctgacc tgcctggta aaggcttcta tcccagcgac atcgccgtgg agtggagag	2520
caatggcag ccggagaaca actacaagac cacgcctccc gtgctggact ccgacggctc	2580
cttcttcctc tacagcaagc tcaccgtgga caagagcagg tggcagcagg ggaacgttt	2640
ctcatgctcc gtatgcattt aggtctgca caaccactcc cccatcgaga aaaccatctc	2700
caaagccaaa gggcagcccc gagaaccaca ggtgtacacc ctgccccat cccggatga	2760
gctgaccaag aaccaggtaa gcctgacctg cctggtaaa ggcttctatc ccagcgacat	2820
cggcgtggag tgggagagca atggcagcc ggagaacaac tacaagacca cgcctccgt	2880
gctggactcc gacggctcct tcttcctcta cagcaagctc accgtggaca agagcaggtg	2940
gcagcagggg aacgtcttct catgctccgt gatgcatgag gctctgcaca accactacac	3000
gcagaagagc ctctccctgt ctccggtaa ataaatcgat ggcgcgccc	3048

<210> 46
 <211> 2430
 <212> DNA
 <213> Artificial Sequence

<220>
 <223> IgG4 Hinge Remicade

<400> 46	
gctagcaagc ttgttatcca ccatggagac agacacactc ctgctatggg tactgctgt	60
ctgggttcca gttccactg gtgacgagtc caaatatggt ccccatgccc catcatgccc	120

agttaacggc ggcggcgca gcggtcccct gggtgtgaga gcggcccagc cggccgacat 180
cttgctgact cagtctccag ccatcctgtc tgtgagtcca ggagaaaagag tcagttctc 240
ctgcagggcc agtcagttcg ttggctcaag catccactgg tatcagcaaa gaacaaatgg 300
ttctccaagg cttctcataa agtatgcttc tgagtctatg tctggatcc cttccaggtt 360
tagtggcagt ggatcaggga cagatttac tcttagcatc aacactgtgg agtctgaaga 420
tattgcagat tattactgtc aacaaagtca tagctggca ttcacgttcg gctcggggac 480
aaatttggaa gtaaaacgga ctgtggctgc accatctgtc ttcatcttcc cgccatctga 540
tgagcagttg aaatctggaa ctgcctctgt tgtgtgcctg ctgaataact tctatcccag 600
agaggccaaa gtacagtgga aggtggataa cgccctccaa tcgggtaact cccaggagag 660
tgtcacagag caggacagca aggacagcac ctacagcctc agcagcaccc tgacgctgag 720
caaagcagac tacgagaaaac acaaactcta cgccctgcgaa gtcacccatc agggcctgag 780
ctcggccgtc acaaagagct tcaacagggg agagtgcctc gagcagcaaa aacgagcacc 840
agtaaaaacaa acactaaact tcgacctact aaaactagca ggagacgtag aatcaaaccc 900
aggaccagcc acaaccatgg agacagacac actcctgcta tgggtactgc tgctctgggt 960
tccaggttcc actggtgacg agtccaaata tggtccccca tgcccatcat gcccaggcgg 1020
ccgcggcggc ggcggcagcg gtcccctggg tgtgagaaga tctgaagtga agctggagga 1080
gtctggagga ggcttggtg aacctggagg atccatgaaa ctctcctgtg ttgcctctgg 1140
attcattttc agtaaccact ggatgaactg ggtccgccag tctccagaga aggggcttga 1200
gtgggttgct gaaatttagat caaaatctat taattctgca acacattatg cggagtctgt 1260
gaaagggagg ttcaccatct caagagatga ttccaaaagt gctgtctacc tgcaaattgac 1320
cgacttaaga actgaagaca ctggcggtta ttactgttcc aggaattact acggttagtac 1380
ctacgactac tggggccaag gcaccactct cacagtcctcc tcagcctcca ccaagggccc 1440
atcggttttc cccctggcac cctcctccaa gagcacctct gggggcacag cggccctggg 1500
ctgcctggtc aaggactact tccccgaacc ggtgacggtg tcgtggaact caggcgccct 1560
gaccagcggc gtgcacacct tcccgctgt cctacagtcc tcaggactct actccctcag 1620
cagcgtggtg accgtgcctt ccagcagctt gggcacccag acctacatct gcaacgtgaa 1680
tcacaagccc agcaacacca aggtcgacaa gaaagttgag cccaaatctt gtgacaaaac 1740
tcacacatgc ccaccgtgcc cagcacctga actcctgggg ggaccgtcag tcttccttctt 1800
ccccccaaaa cccaggaca ccctcatgtat ctcccgacc cctgaggtca catcgctgg 1860
ggtgacgtg agccacgaag accctgaggt caagttcaac tggtaacgtgg acggcgtgga 1920
ggtgacataat gccaagacaa agccgcggga ggagcagttac aacagcacgt accgggtgg 1980
cagcgtcctc accgtcctgc accaggactg gctgaatggc aaggagtaca agtgcaaggt 2040

ctccaacaaa	gccctccag	ccccatcga	gaaaaccatc	tccaaagcca	aaggcagcc	2100
ccgagaacca	caggtgtaca	ccctgcccc	atcccggat	gagctgacca	agaaccaggt	2160
cagcctgacc	tgcctggtca	aaggcttcta	tcccagcgac	atcgccgtgg	agtggagag	2220
caatggcag	ccggagaaca	actacaagac	cacgcctccc	gtgctggact	ccgacggctc	2280
cttcttcctc	tacagcaagc	tcaccgtgga	caagagcagg	tggcagcagg	ggaacgttt	2340
ctcatgctcc	gtgatgcatt	aggctctgca	caaccactac	acgcagaaga	gcctctccct	2400
gtctccgggt	aaataaatcg	atggcgcgccc				2430

<210> 47
<211> 2421
<212> DNA
<213> Artificial Sequence

<220>
<223> IgA1 Hinge Remicade

<400> 47						
gctagcaagc	ttgttatcca	ccatggagac	agacacactc	ctgctatggg	tactgctgct	60
ctgggttcca	ggttccactg	gtgacccagt	tccctcaact	ccacctaccc	catctccctc	120
aactccacct	accccatctc	cctcatgctg	ccacgttaac	ggcgccggcg	gcagcggtcc	180
cctgggtgtg	agagcggccc	agccggccag	agttagttc	tcctgcaggg	ccagtcagtt	240
cgttggctca	agcatccact	ggtatcagca	aagaacaaat	ggttctccaa	ggcttctcat	300
aaagtatgct	tctgagtcta	tgtctggat	cccttccagg	tttagtggca	gtggatcagg	360
gacagatttt	actcttagca	tcaacactgt	ggagtctgaa	gatattgcag	attattactg	420
tcaacaaagt	catagctggc	cattcacgtt	cggctcgaaa	acaaatttg	aagtaaaacg	480
gactgtggct	gcaccatctg	tcttcatctt	cccgccatct	gatgagcagt	tgaaatctgg	540
aactgcctct	gttgtgtgcc	tgctgaataa	cttctatccc	agagaggcca	aagtacagt	600
gaagggtggat	aacgcccctcc	aatcggttaa	ctcccaggag	agtgtcacag	agcaggacag	660
caaggacagc	acctacagcc	tcagcagcac	cctgacgctg	agcaaagcag	actacgagaa	720
acacaaactc	tacgcctgct	aagtcaccca	tcagggcctg	agctcgcccg	tcacaaagag	780
cttcaacagg	ggagagtgcc	tcgagcgagc	aaaacgagca	ccagtaaaac	aaacactaaa	840
cttcgaccta	ctaaaactag	caggagacgt	agaatcaaac	ccaggaccag	ccacaaccat	900
ggagacagac	acactcctgc	tatgggtact	gctgctctgg	gttccaggtt	ccactgggtga	960
cgagccaaa	tcttgtgaca	aaactcacac	atgcccaccc	tgcccaggcg	gccgcggcg	1020
cggccggcagc	ggtcccctgg	gtgtgagaag	atctgaagt	aagctggagg	agtctggagg	1080
aggcttggtg	caacctggag	gatccatgaa	actctcctgt	gttgccctctg	gattcatttt	1140
cagtaaccac	tggatgaact	gggtccgcca	gtctccagag	aaggggcttg	agtgggttgc	1200

tgaaattaga tcaaaatcta ttaattctgc aacacattat gcggagtctg tgaaagggag	1260
gttcaccatc tcaagagatg attccaaaag tgctgtctac ctgcaaatacgactt	1320
aactgaagac actggcgaaaattactgttc caggaattac tacggtagta cctacgacta	1380
ctggggccaa ggcaccactc tcacagtctc ctcagcctcc accaagggcc catcggttt	1440
ccccctggca ccctcctcca agagcacctc tggggcaca gcccgcctgg gctgcctgg	1500
caaggactac ttccccgaac cggtgacggt gtcgtgaaac tcaggcgccc tgaccagcgg	1560
cgtgcacacc ttcccggttg tcctacagtc ctcaggactc tactccctca gcagcgtgg	1620
gaccgtgccc tccagcagct tggcaccca gacctacatc tgcaacgtga atcacaagcc	1680
cagcaacacc aaggtcgaca agaaagttga gcccaaatact tgtgacaaaa ctcacacatg	1740
cccacccgtgc ccagcacctg aactcctggg gggaccgtca gtcttcctct tccccccaaa	1800
acccaaggac accctcatga tctcccgac ccctgaggac acatgcgtgg tggtgacgt	1860
gagccacgaa gaccctgagg tcaagttcaa ctggtagtgc gacggcgtgg aggtgcataa	1920
tgccaagaca aagccgcggg aggagcagta caacagcacg taccgggtgg tcagcgtcct	1980
caccgtcctg caccaggact ggctgaatgg caaggagtagc aagtgcagg tctccaacaa	2040
agccctccca gccccatcg agaaaaccat ctccaaagcc aaagggcagc cccgagaacc	2100
acaggtgtac accctgcccc catcccgga tgagctgacc aagaaccagg tcagcctgac	2160
ctgcctggtc aaaggcttct atcccagcga catcgccgtg gagtgggaga gcaatggca	2220
gccggagaac aactacaaga ccacgcctcc cgtgctggac tccgacggct ctttttcct	2280
ctacagcaag ctcaccgtgg acaagagcag gtggcagcag gggAACGTCT tctcatgctc	2340
cgtatgcgtt gaggctctgc acaaccacta cacgcagaag agcctctccc tgtctccggg	2400
taataaaatc gatggcgccgc c	2421

<210> 48
 <211> 2418
 <212> DNA
 <213> Artificial Sequence

<220>
 <223> IgA2 Hinge Remicade

<400> 48	
gctagcaagc ttgttatcca ccatggagac agacacactc ctgctatggg tactgctgt	60
ctgggttcca ggttccactg gtgaccagt tccccaccc ccccatgct gccacgttaa	120
cggcggcggc ggcagcgtc ccctgggtgt gagagcggcc cagccggccg acatcttgc	180
gactcagtct ccagccatcc tgtctgttag tccaggagaa agagtcagtt tctcctgcag	240
ggccagtcag ttcgttggct caagcatcca ctggtagtca caaagaacaa atggttctcc	300
aaggcttctc ataaagtatg cttctgagtc tatgtctggg atcccttcca ggttttagtgg	360

cagtggatca gggacagatt ttactcttag catcaacact gtggagtctg aagatattgc 420
agattattac tgtcaacaaa gtcatalogtgc cccattcactg ttccggctcg ggacaaattt 480
sgaagtaaaa cggactgtgg ctgcaccatc tgtcttcatc ttcccgccat ctgatgagca 540
gttgaatct ggaactgcct ctgttgtgtg cctgctgaat aacttctatc ccagagaggc 600
caaagtacag tggaaagggtgg ataacgcctt ccaatcggt aactcccagg agagtgtcac 660
agagcaggac agcaaggaca gcacctacag cctcagcagc accctgacgc tgagcaaagc 720
agactacgag aaacacaaac tctacgcctg cgaagtcacc catcagggcc tgagctgcc 780
cgtcacaaag agcttcaaca ggggagagtg cctcgagcga gcaaaacgag caccagtaaa 840
acaacacata aacttcgacc tactaaaact agcaggagac gtagaatcaa acccaggacc 900
agccacaacc atggagacag acacactcct gctatggta ctgctgctct gggttccagg 960
ttccactggt gacccagttc ccccacctcc cccatgctgc cacggcggcc gcggcggcgg 1020
cggcagcggt cccctgggtg tgagaagatc tgaagtgaag ctggaggagt ctggaggagg 1080
cttggtgcaa cctggaggat ccatgaaact ctcctgtgtt gcctctggat tcatttcag 1140
taaccactgg atgaactggg tccgccagtc tccagagaag gggcttgagt gggttgctga 1200
aattagatca aaatctatta attctgcaac acattatgcg gagtctgtga aaggaggtt 1260
caccatctca agagatgatt ccaaaagtgc tgtctacctg caaatgaccg acttaagaac 1320
tgaagacact ggcgttatt actgttccag gaattactac ggttagtacct acgactactg 1380
gggccaaggc accactctca cagtcctc cagctccacc aagggcccat cggtcttccc 1440
cctggcaccc tcctccaaga gcacctctgg gggcacagcg gccctggct gcctggtcaa 1500
ggactacttc cccgaaccgg tgacgggtgc gtggactca ggcgcctga ccagggcgt 1560
gcacacccctc ccggctgtcc tacagtctc aggactctac tccctcagca gcgtggtgac 1620
cgtgccctcc agcagcttgg gcacccagac ctacatctgc aacgtgaatc acaagcccag 1680
caacaccaag gtcgacaaga aagttgagcc caaatcttgt gacaaaactc acacatgccc 1740
accgtgccccca gcacctgaac tcctgggggg accgtcagtc ttccctttcc ccccaaaacc 1800
caaggacacc ctcatgatct cccggacccc tgaggtcaca tgcgtggtgg tggacgtgag 1860
ccacgaagac cctgaggtca agttcaactg gtacgtggac ggcgtggagg tgcataatgc 1920
caagacaaag ccgcgggagg agcagtacaa cagcacgtac cgggtggtca gcgtcctcac 1980
cgtcctgcac caggacttggc tgaatggcaa ggagtacaag tgcaaggctt ccaacaaagc 2040
cctcccagcc cccatcgaga aaaccatctc caaagccaaa gggcagcccc gagaaccaca 2100
ggtgtacacc ctgccccat cccggatga gctgaccaag aaccaggtca gcctgacctg 2160
cctggtcaaa ggcttctatc ccagcgacat cggcgtggag tggagagca atggcagcc 2220
ggagaacaac tacaagacca cgccctccgt gctggactcc gacggctcct tcttcctcta 2280

cagcaagctc accgtggaca agagcaggtg gcagcagggg aacgtttct catgctccgt	2340
gatgcatttgc gctctgcaca accactacac gcagaagagc ctctccctgt ctccggtaa	2400
ataaaatcgat ggccgcgcc	2418

<210> 49
<211> 2413
<212> DNA
<213> Artificial Sequence

<220>
<223> IgG1 Hinge Stelara

<400> 49	
aagcttgtta tccaccatgg agacagacac actcctgcta tgggtactgc tgctctgggt	60
tccaggttcc actggtgacg agcccaaatac ttgtgacaaa actcacacat gcccaccgtg	120
cccagttAAC ggcggcggcg gcagcccctt cagagcggcc cagccggccg acatccagat	180
gaccaggAGC cccagcagCC tgagcgccag cgtggcgac agagtgacca tcacctgcag	240
agccagCCAG ggcatcagCA gctggctggc ctggtaccag cagaagccc agaaggcccc	300
caagAGCCTG atctacGCCG ccagcagCCT gcagagCGGC gtgcccagca gattcagcgg	360
cagcggcAGC ggcaccgACT tcaccctgAC catcagcAGC ctgcagcccc aggacttcgc	420
cacctactAC tgccAGCAGt acaacatcta cccctacACC ttccggccagg gcaccaagct	480
ggagatcaAG agaactgtgg ctgcaccATC tgtttcatc ttcccgccat ctgatgagca	540
gttgaatctt ggaactgcct ctgttgtgtg cctgctGAAT aacttctATC ccagAGAGGC	600
caaagtACAG tggaaggTGG ataacGCCCT ccaatCGGGT aactcccAGG agagtgtcac	660
agAGCAGGAC agcaaggACA gcacctACAG CCTCAGCAGC accCTGACGC tgagcaaAGC	720
agactACGAG aaACACAAAC tctacGCCTG cgaagtCACC catcAGGGCC tgagctcgcc	780
cgtcacAAAG agcttcaACA ggggAGAGTG CCTCAGCGA gcaAAACAGAG caccAGTAAC	840
acaAAACACTA aacttcgACC tactAAAAct agcaggAGAC gtAGAAATCAA acccAGGACC	900
agccacaACC atggAGAGACAG acacACTCCT gctatGGGTa ctgctgtctt gggTTCCAGG	960
ttccactGGT gacgAGCCC AATCTTGTGA caAAACTCAC acatGCCAC cgtGCCAGG	1020
cggccgcggc ggcggcggca gcccTTcAG aagatCTGAG gtgcAGCTGG tgcaAGAGCG	1080
cggcAGGAGTG aagaAGCCC GCGAGAGCCT gaagatCAGC tgcaAGGGCA gCGGCTACAG	1140
cttCACCACC tactGGCTGG gctGGGTGAG acagatGCCG ggcaAGGGCC tggactGGAT	1200
cggcatCATG agccccGTGG acagcGACAT cagatacAGC cccAGCTTCC agggCCAGGT	1260
gaccatGAGC gtggacaAGA gcatcaccAC cgCCTACCTG cagtGGAACA gcctGAAGGC	1320
cagcgacACC gCCATGTACT actgcGCCAG aagaAGACCC ggCCAGGGCT acttcgactt	1380
ctggggCCAG ggcaccCTGG tgaccGTGAG cagcgcCTCC accaAGGGAC catcggTCTT	1440

ccccctggca ccctcctcca agagcacctc tggggcaca gcggccctgg gctgcctggt	1500
caaggactac ttccccgaac cggtgacggt gtcgtgaaac tcaggcgccc tgaccagcgg	1560
cgtgcacacc ttcccggtg tcctacagtc ctcaggactc tactccctca gcagcgtgg	1620
gaccgtgccc tccagcagct tggcaccca gacctacatc tgcaacgtga atcacaagcc	1680
cagcaacacc aaggtcgaca agaaagttga gcccaaattct tgtgacaaaaa ctcacacatg	1740
cccaccgtgc ccagcacctg aactcctggg gggaccgtca gtctcctct tcccccaaa	1800
acccaaggac accctcatga tctccggac ccctgaggtc acatgcgtgg tggtgacgt	1860
gagccacgaa gaccctgagg tcaagttcaa ctggtagtgc gacggcgtgg aggtgcataa	1920
tgccaagaca aagccgcgg aggagcagta caacagcacg taccgggtgg tcagcgtcct	1980
caccgtcctg caccaggact ggctgaatgg caaggagtac aagtgcagg tctccaacaa	2040
agccctccca gccccatcg agaaaaccat ctccaaagcc aaagggcagc cccgagaacc	2100
acaggtgtac accctgcccc catcccgga ttagctgacc aagaaccagg tcagcctgac	2160
ctgcctggtc aaaggcttct atcccagcga catcgccgtg gagtgggaga gcaatggca	2220
gccggagaac aactacaaga ccacgcctcc cgtgctggac tccgacggct ctttttct	2280
ctacagcaag ctcaccgtgg acaagagcag gtggcagcag gggAACGTCT tctcatgctc	2340
cgtgatgcat gaggctctgc acaaccacta cacgcagaag agcctctccc tgtctccggg	2400
taaataaaatc gat	2413

<210> 50
 <211> 2459
 <212> DNA
 <213> Artificial Sequence

<220>
 <223> IgG1 Hinge Trastuzumab

<400> 50	
gctagcaagc ttgttatcca ccatggagac agacacactc ctgctatggg tactgctgt	60
ctgggttcca gtttccactg gtgacgagcc caaatcttgt gacaaaactc acacatgccc	120
accgtgcccc gttAACGGCG GCGGCGGCAG CGGTCCCTG GGTGTGAGAG CGGCCAGCC	180
GGCGACATCC AGATGACCCA GAGCCCCAGC AGCCTGAGCG CCAGCGTGGG CGACAGAGTG	240
ACCATCACCT GCAGAGCCAG CCAGGACGTG AACACCGCCG TGGCCTGGTA CCAGCAGAAG	300
CCCGGCAAGG CCCCCAAGCT GCTGATCTAC AGCGCCAGCT TCCTGTACAG CGGCCTGCC	360
AGCAGATTCA CGGGCAGCAG AAGCGGCACC GACTTCACCC TGACCATCAG CAGCCTGCAG	420
CCCGAGGACT TCGCCACCTA CTACTGCCAG CAGCACTACA CCACCCCCCCC CACCTTCGGC	480
CAGGGCACCA AGGTGGAGAT CAAGAGAACCG GTGGCCGCC CGAGCGTGTGTT CATCTTCCCC	540
CCCAAGCGACG AGCAGCTGAA GAGCGGCACC GCCAGCGTGG TGTGCCTGCT GAACAACCTC	600

taccccaagag aggccaaggt gcagtggaaag gtggacaacg ccctgcagag cggcaacagc 660
caggagagcg tgaccgagca ggacagcaag gacagcacct acagcctgag cagcaccctg 720
accctgagca aggccgacta cgagaagcac aaggtgtacg cctgcgaggt gacccaccag 780
ggcctgagca gccccgtgac caagagcttc aacagaggcg agtgcctcga gcgagcaaaa 840
cgagcaccag taaaacaaac actaaacttc gacctactaa aactagcagg agacgttagaa 900
tcaaaccagg gaccagccac aaccatggag acagacacac tcctgctatg ggtactgctg 960
ctctgggttc caggttccac tggtgacgag cccaaatctt gtgacaaaac tcacacatgc 1020
ccaccgtgcc caggcggccg cggcggcggc ggcagcggtc ccctgggtgt gagaagatct 1080
gaggtgcagc tggtgagag cggcggcggc ctggtgacgc ccggcggcag cctgagactg 1140
agctgcgccc ccagcggctt caacatcaag gacacctaca tccactgggt gagacaggcc 1200
cccgcaagg gcctggagtg ggtggccaga atctaccca ccaacggcta caccagatac 1260
gccgacagcg tgaagggcag attcaccatc agcgccgaca ccagcaagaa caccgcctac 1320
ctgcagatga acagcctgag agccgaggac accgcccgtgt actactgcag cagatggggc 1380
ggcgacggct tctacgccat ggactactgg ggccagggca ccctggtgac cgtgagcagc 1440
gccagcacca agggccccag cgtttcccc ctggcccca gcagcaagag caccagcggc 1500
ggcacccgccc ccctgggtcg cctggtaag gactactcc ccgagcccggt gaccgtgagc 1560
tggAACAGCG GCGCCCTGAC CAGCGCGTG CACACCTCC CGCCGTGCT GCAGAGCAGC 1620
GGCCTGTACA GCCTGAGCAG CGTGGTGACC GTGCCAGCA GCAGCCTGGG CACCCAGACC 1680
TACATCTGCA ACGTGAACCA CAAGCCCAGC AACACCAAGG TGGACAAGAA GGTGGTCGAC 1740
AAGAAAGTTG AGCCCAAATC TTGTGACAAA ACTCACACAT GCCCACCGTG CCCAGCACCT 1800
GAACTCCTGG GGGGACCGTC AGTCTTCCTC TTCCCCCAA AACCCAAGGA CACCCCTCATG 1860
ATCTCCCGGA CCCCTGAGGT CACATGCCTG GTGGTGACG TGAGCCACGA AGACCCTGAG 1920
GTCAAGTTCA ACTGGTACGT GGACGGCGTG GAGGTGCATA ATGCCAAGAC AAAGCCGCGG 1980
GAGGAGCAGT ACAACAGCAC GTACCGGGTG GTCAGCGTCC TCACCGTCCT GCACCAGGAC 2040
TGGCTGAATG GCAAGGAGTA CAAGTGCAAG GTCTCCAACA AAGCCCTCCC AGCCCCATC 2100
GAGAAAACCA TCTCCAAAGC CAAAGGGCAG CCCCCAGAACAC CACAGGTGTA CACCCCTGCC 2160
CCATCCCGGG ATGAGCTGAC CAAGAACCGAG GTCAGCCTGA CCTGCCTGGT CAAAGGCTTC 2220
TATCCCAGCG ACATCGCCGT GGAGTGGGAG AGCAATGGGC AGCCGGAGAA CAACTACAAG 2280
ACCACGCTC CCCTGCTGGA CTCCGACGGC TCCTTCTTC TCTACAGCAA GTCACCGTG 2340
GACAAGAGCA GGTGGCAGCA GGGGAACGTC TTCTCATGCT CCCTGATGCA TGAGGCTCTG 2400
CACAACCACT ACACGCAAGAA GAGCCTCTCC CTGTCTCCGG GTAAAATCGA TGGCGCGCC 2459

<210> 51
<211> 7
<212> PRT
<213> Artificial Sequence

<220>
<223> MMP2 substrate

<400> 51
Pro Leu Gly Met Trp Ser Arg
1 5

<210> 52
<211> 7
<212> PRT
<213> Artificial Sequence

<220>
<223> MMP2 substrate

<400> 52
Pro Leu Gly Leu Trp Ala Arg
1 5

<210> 53
<211> 8
<212> PRT
<213> Artificial Sequence

<220>
<223> MMP2 substrate

<400> 53
Pro Gln Gly Ile Ala Gly Gln Arg
1 5

<210> 54
<211> 35
<212> PRT
<213> Artificial Sequence

<220>
<223> IgD1 Hinge

<400> 54
Ser Pro Lys Ala Gln Ala Ser Ser Val Pro Thr Ala Gln Pro Gln Ala
1 5 10 15
Glu Gly Ser Leu Ala Lys Ala Thr Thr Ala Pro Ala Thr Thr Arg Asn
20 25 30

Thr Glu Cys
35

<210> 55
<211> 25
<212> PRT
<213> Artificial Sequence

<220>
<223> IgD2 Hinge

<400> 55
Arg Gly Gly Glu Glu Lys Lys Glu Lys Glu Lys Glu Glu Gln Glu
1 5 10 15
Glu Arg Glu Thr Lys Thr Pro Glu Cys

20

25

<210> 56
 <211> 105
 <212> DNA
 <213> Artificial Sequence

<220>
 <223> IgD1 Hinge

<400> 56		
tctccaaagg cacaggcctc ctccgtgccc actgcacaac cccaaggcaga gggcagcctc		60
gccaaaggcaa ccacagcccc agccaccacc cgtaaacacag agtgt		105

<210> 57
 <211> 75
 <212> DNA
 <213> Artificial Sequence

<220>
 <223> IgD2 Hinge

<400> 57		
agaggaggag aagagaagaa gaaggagaag gagaaagagg aacaagaaga gagagagaca		60
aagacaccag agtgt		75

<210> 58
 <211> 450
 <212> PRT
 <213> Artificial Sequence

<220>
 <223> infliximab heavy chain

<400> 58		
Glu Val Lys Leu Glu Glu Ser Gly Gly Gly Leu Val Gln Pro Gly Gly		
1 5 10 15		
Ser Met Lys Leu Ser Cys Val Ala Ser Gly Phe Ile Phe Ser Asn His		
20 25 30		
Trp Met Asn Trp Val Arg Gln Ser Pro Glu Lys Gly Leu Glu Trp Val		
35 40 45		
Ala Glu Ile Arg Ser Lys Ser Ile Asn Ser Ala Thr His Tyr Ala Glu		
50 55 60		
Ser Val Lys Gly Arg Phe Thr Ile Ser Arg Asp Asp Ser Lys Ser Ala		
65 70 75 80		
Val Tyr Leu Gln Met Thr Asp Leu Arg Thr Glu Asp Thr Gly Val Tyr		
85 90 95		
Tyr Cys Ser Arg Asn Tyr Tyr Gly Ser Thr Tyr Asp Tyr Trp Gly Gln		
100 105 110		
Gly Thr Thr Leu Thr Val Ser Ser Ala Ser Thr Lys Gly Pro Ser Val		
115 120 125		
Phe Pro Leu Ala Pro Ser Ser Lys Ser Thr Ser Gly Gly Thr Ala Ala		
130 135 140		
Leu Gly Cys Leu Val Lys Asp Tyr Phe Pro Glu Pro Val Thr Val Ser		
145 150 155 160		
Trp Asn Ser Gly Ala Leu Thr Ser Gly Val His Thr Phe Pro Ala Val		
165 170 175		
Leu Gln Ser Ser Gly Leu Tyr Ser Leu Ser Ser Val Val Thr Val Pro		
180 185 190		
Ser Ser Ser Leu Gly Thr Gln Thr Tyr Ile Cys Asn Val Asn His Lys		

195	200	205
Pro Ser Asn Thr Lys Val Asp Lys Lys Val Glu Pro Lys Ser Cys Asp		
210	215	220
Lys Thr His Thr Cys Pro Pro Cys Pro Ala Pro Glu Leu Leu Gly Gly		
225	230	235
240		
Pro Ser Val Phe Leu Phe Pro Pro Lys Pro Lys Asp Thr Leu Met Ile		
245	250	255
Ser Arg Thr Pro Glu Val Thr Cys Val Val Val Asp Val Ser His Glu		
260	265	270
Asp Pro Glu Val Lys Phe Asn Trp Tyr Val Asp Gly Val Glu Val His		
275	280	285
Asn Ala Lys Thr Lys Pro Arg Glu Glu Gln Tyr Asn Ser Thr Tyr Arg		
290	295	300
Val Val Ser Val Leu Thr Val Leu His Gln Asp Trp Leu Asn Gly Lys		
305	310	315
320		
Glu Tyr Lys Cys Lys Val Ser Asn Lys Ala Leu Pro Ala Pro Ile Glu		
325	330	335
Lys Thr Ile Ser Lys Ala Lys Gly Gln Pro Arg Glu Pro Gln Val Tyr		
340	345	350
Thr Leu Pro Pro Ser Arg Asp Glu Leu Thr Lys Asn Gln Val Ser Leu		
355	360	365
Thr Cys Leu Val Lys Gly Phe Tyr Pro Ser Asp Ile Ala Val Glu Trp		
370	375	380
Glu Ser Asn Gly Gln Pro Glu Asn Asn Tyr Lys Thr Thr Pro Pro Val		
385	390	395
400		
Leu Asp Ser Asp Gly Ser Phe Phe Leu Tyr Ser Lys Leu Thr Val Asp		
405	410	415
Lys Ser Arg Trp Gln Gln Gly Asn Val Phe Ser Cys Ser Val Met His		
420	425	430
Glu Ala Leu His Asn His Tyr Thr Gln Lys Ser Leu Ser Leu Ser Pro		
435	440	445
Gly Lys		
450		

<210> 59
<211> 385
<212> PRT
<213> Artificial Sequence

<220>
<223> Panitumumab heavy chain

<400> 59		
Gln Val Gln Leu Leu Gln Ser Gly Ala Glu Val Lys Lys Pro Gly Glu		
1	5	10
		15
Ser Leu Lys Ile Ser Cys Lys Gly Ser Gly Tyr Ser Phe Thr Ser Tyr		
20	25	30
Trp Ile Ala Trp Val Arg Gln Met Pro Gly Lys Gly Leu Glu Tyr Met		
35	40	45
Gly Leu Ile Tyr Pro Gly Asp Ser Asp Thr Lys Tyr Ser Pro Ser Phe		
50	55	60
Gln Gly Gln Val Thr Ile Ser Val Asp Lys Ser Val Ser Thr Ala Tyr		
65	70	75
		80
Leu Gln Trp Ser Ser Leu Lys Pro Ser Asp Ser Ala Val Tyr Phe Cys		
85	90	95
Ala Arg His Asp Val Gly Tyr Cys Ser Ser Ser Asn Cys Ala Lys Trp		
100	105	110
Pro Glu Tyr Phe Gln His Trp Gly Gln Gly Thr Leu Val Thr Val Ser		
115	120	125
Ser Ala Ser Thr Lys Gly Pro Ser Val Phe Pro Leu Ala Pro Ser Ser		
130	135	140
Lys Ser Thr Ser Gly Gly Thr Ala Ala Leu Gly Cys Leu Val Lys Asp		
145	150	155
		160
Tyr Phe Pro Glu Pro Val Thr Val Ser Trp Asn Ser Gly Ala Leu Thr		

	165	170	175												
Ser	Gly	Val	His	Thr	Phe	Pro	Ala	Val	Leu	Gln	Ser	Ser	Gly	Leu	Tyr
		180			185								190		
Ser	Leu	Ser	Ser	Val	Val	Thr	Val	Pro	Ser	Ser	Ser	Leu	Gly	Thr	Gln
		195			200							205			
Thr	Tyr	Ile	Cys	Asn	Val	Asn	His	Lys	Pro	Ser	Asn	Thr	Lys	Val	Asp
		210			215							220			
Lys	Arg	Val	Val	Asp	Glu	Pro	Lys	Ser	Cys	Asp	Lys	Thr	His	Thr	Cys
		225			230					235			240		
Pro	Pro	Cys	Pro	Ala	Pro	Glu	Leu	Leu	Gly	Gly	Pro	Ser	Val	Phe	Leu
		245			250							255			
Phe	Pro	Pro	Lys	Pro	Lys	Asp	Thr	Leu	Met	Ile	Ser	Arg	Thr	Pro	Glu
		260			265							270			
Val	Thr	Cys	Val	Val	Asp	Val	Ser	His	Glu	Asp	Pro	Glu	Val	Lys	
		275			280							285			
Phe	Asn	Trp	Tyr	Val	Asp	Gly	Val	Glu	Val	His	Asn	Ala	Lys	Thr	Lys
		290			295						300				
Pro	Arg	Glu	Glu	Gln	Tyr	Asn	Ser	Thr	Tyr	Arg	Val	Val	Ser	Val	Leu
		305			310					315			320		
Thr	Val	Leu	His	Gln	Asp	Trp	Leu	Asn	Gly	Lys	Glu	Tyr	Lys	Cys	Lys
		325			330							335			
Val	Ser	Asn	Lys	Ala	Leu	Pro	Ala	Pro	Ile	Glu	Lys	Thr	Ile	Ser	Lys
		340			345							350			
Ala	Lys	Gly	Gln	Pro	Arg	Glu	Pro	Gln	Val	Tyr	Thr	Leu	Pro	Pro	Ser
		355			360							365			
Arg	Glu	Glu	Met	Thr	Lys	Asn	Gln	Val	Ser	Leu	Thr	Cys	Leu	Val	Lys
		370			375						380				
Gly															
		385													

<210> 60

<211> 439

<212> PRT

<213> Artificial Sequence

<220>

<223> Trastuzumab heavy chain

<400> 60

Val	Gln	Leu	Val	Glu	Ser	Gly	Gly	Leu	Val	Gln	Pro	Gly	Gly	Ser	
1				5				10				15			
Leu	Arg	Leu	Ser	Cys	Ala	Ala	Ser	Gly	Phe	Asn	Ile	Lys	Asp	Thr	Tyr
									20		25			30	
Ile	His	Trp	Val	Arg	Gln	Ala	Pro	Gly	Lys	Gly	Leu	Glu	Trp	Val	Ala
									35		40			45	
Arg	Ile	Tyr	Pro	Thr	Asn	Gly	Tyr	Thr	Arg	Tyr	Ala	Asp	Ser	Val	Lys
									50		55			60	
Gly	Arg	Phe	Thr	Ile	Ser	Ala	Asp	Thr	Ser	Lys	Asn	Thr	Ala	Tyr	Leu
									65		70		75		80
Gln	Met	Asn	Ser	Leu	Arg	Ala	Glu	Asp	Thr	Ala	Val	Tyr	Tyr	Cys	Ser
									85		90			95	
Arg	Trp	Gly	Gly	Asp	Gly	Phe	Tyr	Ala	Met	Asp	Tyr	Trp	Gly	Gln	Gly
									100		105			110	
Thr	Leu	Val	Thr	Val	Ser	Ser	Ala	Ser	Thr	Lys	Gly	Pro	Ser	Val	Phe
									115		120			125	
Pro	Leu	Ala	Pro	Ser	Ser	Lys	Ser	Thr	Ser	Gly	Gly	Thr	Ala	Ala	Leu
										130		135		140	
Gly	Cys	Leu	Val	Lys	Asp	Tyr	Phe	Pro	Glu	Pro	Val	Thr	Val	Ser	Trp
									145		150		155		160
Asn	Ser	Gly	Ala	Leu	Thr	Ser	Gly	Val	His	Thr	Phe	Pro	Ala	Val	Leu
									165		170			175	
Gln	Ser	Ser	Gly	Leu	Tyr	Ser	Leu	Ser	Ser	Val	Val	Thr	Val	Pro	Ser
									180		185			190	
Ser	Ser	Leu	Gly	Thr	Gln	Thr	Tyr	Ile	Cys	Asn	Val	Asn	His	Lys	Pro

195	200	205
Ser Asn Thr Lys Val Asp Lys	Val Val Asp Lys	Lys Val Glu Pro
210	215	220
Lys Ser Cys Asp Lys	Thr His Thr Cys Pro	Pro Cys Pro Ala Pro Glu
225	230	235
Leu Leu Gly Gly Pro	Ser Val Phe Leu Phe	Pro Pro Lys Pro Lys Asp
	245	250
Thr Leu Met Ile Ser Arg Thr Pro	Glu Val Thr Cys Val	Val Val Asp
	260	265
Val Ser His Glu Asp Pro	Glu Val Lys Phe Asn Trp	Tyr Val Asp Gly
	275	280
Val Glu Val His Asn Ala	Lys Thr Lys Pro Arg	Glu Glu Gln Tyr Asn
	290	295
Ser Thr Tyr Arg Val Val	Ser Val Leu Thr Val	Leu His Gln Asp Trp
	305	310
Leu Asn Gly Lys Glu Tyr Lys Cys Lys	Val Ser Asn Lys Ala	Leu Pro
	325	330
Ala Pro Ile Glu Lys Thr Ile Ser Lys Ala	Lys Gly Gln Pro Arg Glu	
	340	345
Pro Gln Val Tyr Thr Leu Pro Pro	Ser Arg Asp Glu	Leu Thr Lys Asn
	355	360
Gln Val Ser Leu Thr Cys	Leu Val Lys Gly Phe	Tyr Pro Ser Asp Ile
	370	375
Ala Val Glu Trp Glu Ser Asn Gly Gln Pro	Glu Asn Asn Tyr Lys Thr	
	385	390
Thr Pro Pro Val Leu Asp Ser Asp Gly	Ser Phe Phe Leu Tyr	Ser Lys
	405	410
Leu Thr Val Asp Lys Ser Arg Trp Gln Gln	Gly Asn Val Phe	Ser Cys
	420	425
Ser Val Met His Glu Ala Leu		
	435	

<210> 61
<211> 451
<212> PRT
<213> Artificial Sequence

<220>
<223> adalimumab heavy chain

<400> 61		
Glu Val Gln Leu Val Glu Ser Gly	Gly Leu Val Gln Pro	Gly Arg
1	5	10
Ser Leu Arg Leu Ser Cys Ala	Ala Ser Gly Phe	Thr Phe Asp Asp Tyr
	20	25
Ala Met His Trp Val Arg Gln	Ala Pro Gly Lys Gly	Leu Glu Trp Val
	35	40
Ser Ala Ile Thr Trp Asn Ser	Gly His Ile Asp	Tyr Ala Asp Ser Val
	50	55
Glu Gly Arg Phe Thr Ile Ser	Arg Asp Asn Ala	Lys Asn Ser Leu Tyr
	65	70
Leu Gln Met Asn Ser Leu Arg	Ala Glu Asp	Thr Ala Val Tyr Tyr Cys
	85	90
Ala Lys Val Ser Tyr Leu Ser	Thr Ala Ser Ser	Leu Asp Tyr Trp Gly
	100	105
Gln Gly Thr Leu Val Thr Val	Ser Ser Ala Ser	Thr Lys Gly Pro Ser
	115	120
Val Phe Pro Leu Ala Pro Ser	Ser Lys Ser	Thr Ser Gly Gly Thr Ala
	130	135
Ala Leu Gly Cys Leu Val Lys	Asp Tyr Phe	Pro Glu Pro Val Thr Val
	145	150
Ser Trp Asn Ser Gly Ala Leu Thr	Ser Gly Val His	Thr Phe Pro Ala
	165	170
Val Leu Gln Ser Ser Gly	Leu Tyr Ser	Leu Ser Ser Val Val Thr Val
	175	

	180	185	190
Pro Ser Ser Ser Leu Gly Thr Gln Thr Tyr Ile Cys Asn Val Asn His			
195	200	205	
Lys Pro Ser Asn Thr Lys Val Asp Lys Lys Val Glu Pro Lys Ser Cys			
210	215	220	
Asp Lys Thr His Thr Cys Pro Pro Cys Pro Ala Pro Glu Leu Leu Gly			
225	230	235	240
Gly Pro Ser Val Phe Leu Phe Pro Pro Lys Pro Lys Asp Thr Leu Met			
245	250	255	
Ile Ser Arg Thr Pro Glu Val Thr Cys Val Val Val Asp Val Ser His			
260	265	270	
Glu Asp Pro Glu Val Lys Phe Asn Trp Tyr Val Asp Gly Val Glu Val			
275	280	285	
His Asn Ala Lys Thr Lys Pro Arg Glu Glu Gln Tyr Asn Ser Thr Tyr			
290	295	300	
Arg Val Val Ser Val Leu Thr Val Leu His Gln Asp Trp Leu Asn Gly			
305	310	315	320
Lys Glu Tyr Lys Cys Lys Val Ser Asn Lys Ala Leu Pro Ala Pro Ile			
325	330	335	
Glu Lys Thr Ile Ser Lys Ala Lys Gly Gln Pro Arg Glu Pro Gln Val			
340	345	350	
Tyr Thr Leu Pro Pro Ser Arg Asp Glu Leu Thr Lys Asn Gln Val Ser			
355	360	365	
Leu Thr Cys Leu Val Lys Gly Phe Tyr Pro Ser Asp Ile Ala Val Glu			
370	375	380	
Trp Glu Ser Asn Gly Gln Pro Glu Asn Asn Tyr Lys Thr Thr Pro Pro			
385	390	395	400
Val Leu Asp Ser Asp Gly Ser Phe Phe Leu Tyr Ser Lys Leu Thr Val			
405	410	415	
Asp Lys Ser Arg Trp Gln Gln Gly Asn Val Phe Ser Cys Ser Val Met			
420	425	430	
His Glu Ala Leu His Asn His Tyr Thr Gln Lys Ser Leu Ser Leu Ser			
435	440	445	
Pro Gly Lys			
450			

<210> 62
<211> 448
<212> PRT
<213> Artificial Sequence

<220>
<223> denosumab heavy chain

	<400> 62		
Glu Val Gln Leu Leu Glu Ser Gly Gly Gly Leu Val Gln Pro Gly Gly			
1	5	10	15
Ser Leu Arg Leu Ser Cys Ala Ala Ser Gly Phe Thr Phe Ser Ser Tyr			
20	25	30	
Ala Met Ser Trp Val Arg Gln Ala Pro Gly Lys Gly Leu Glu Trp Val			
35	40	45	
Ser Gly Ile Thr Gly Ser Gly Gly Ser Thr Tyr Tyr Ala Asp Ser Val			
50	55	60	
Lys Gly Arg Phe Thr Ile Ser Arg Asp Asn Ser Lys Asn Thr Leu Tyr			
65	70	75	80
Leu Gln Met Asn Ser Leu Arg Ala Glu Asp Thr Ala Val Tyr Tyr Cys			
85	90	95	
Ala Lys Asp Pro Gly Thr Thr Val Ile Met Ser Trp Phe Asp Pro Trp			
100	105	110	
Gly Gln Gly Thr Leu Val Thr Val Ser Ser Ala Ser Thr Lys Gly Pro			
115	120	125	
Ser Val Phe Pro Leu Ala Pro Cys Ser Arg Ser Thr Ser Glu Ser Thr			
130	135	140	
Ala Ala Leu Gly Cys Leu Val Lys Asp Tyr Phe Pro Glu Pro Val Thr			

145	150	155	160
Val Ser Trp Asn Ser Gly Ala Leu Thr Ser Gly Val His Thr Phe Pro			
165	170	175	
Ala Val Leu Gln Ser Ser Gly Leu Tyr Ser Leu Ser Ser Val Val Thr			
180	185	190	
Val Pro Ser Ser Asn Phe Gly Thr Gln Thr Tyr Thr Cys Asn Val Asp			
195	200	205	
His Lys Pro Ser Asn Thr Lys Val Asp Lys Thr Val Glu Arg Lys Cys			
210	215	220	
Cys Val Glu Cys Pro Pro Cys Pro Ala Pro Pro Val Ala Gly Pro Ser			
225	230	235	240
Val Phe Leu Phe Pro Pro Lys Pro Lys Asp Thr Leu Met Ile Ser Arg			
245	250	255	
Thr Pro Glu Val Thr Cys Val Val Asp Val Ser His Glu Asp Pro			
260	265	270	
Glu Val Gln Phe Asn Trp Tyr Val Asp Gly Val Glu Val His Asn Ala			
275	280	285	
Lys Thr Lys Pro Arg Glu Glu Gln Phe Asn Ser Thr Phe Arg Val Val			
290	295	300	
Ser Val Leu Thr Val Val His Gln Asp Trp Leu Asn Gly Lys Glu Tyr			
305	310	315	320
Lys Cys Lys Val Ser Asn Lys Gly Leu Pro Ala Pro Ile Glu Lys Thr			
325	330	335	
Ile Ser Lys Thr Lys Gly Gln Pro Arg Glu Pro Gln Val Tyr Thr Leu			
340	345	350	
Pro Pro Ser Arg Glu Glu Met Thr Lys Asn Gln Val Ser Leu Thr Cys			
355	360	365	
Leu Val Lys Gly Phe Tyr Pro Ser Asp Ile Ala Val Glu Trp Glu Ser			
370	375	380	
Asn Gly Gln Pro Glu Asn Asn Tyr Lys Thr Thr Pro Pro Met Leu Asp			
385	390	395	400
Ser Asp Gly Ser Phe Phe Leu Tyr Ser Lys Leu Thr Val Asp Lys Ser			
405	410	415	
Arg Trp Gln Gln Gly Asn Val Phe Ser Cys Ser Val Met His Glu Ala			
420	425	430	
Leu His Asn His Tyr Thr Gln Lys Ser Leu Ser Leu Ser Pro Gly Lys			
435	440	445	

<210> 63
<211> 448
<212> PRT
<213> Artificial Sequence

<220>
<223> Ipilimumab heavy chain

<400> 63			
Gln Val Gln Leu Val Glu Ser Gly Gly Val Val Gln Pro Gly Arg			
1	5	10	15
Ser Leu Arg Leu Ser Cys Ala Ala Ser Gly Phe Thr Phe Ser Ser Tyr			
20	25	30	
Thr Met His Trp Val Arg Gln Ala Pro Gly Lys Gly Leu Glu Trp Val			
35	40	45	
Thr Phe Ile Ser Tyr Asp Gly Asn Asn Lys Tyr Tyr Ala Asp Ser Val			
50	55	60	
Lys Gly Arg Phe Thr Ile Ser Arg Asp Asn Ser Lys Asn Thr Leu Tyr			
65	70	75	80
Leu Gln Met Asn Ser Leu Arg Ala Glu Asp Thr Ala Ile Tyr Tyr Cys			
85	90	95	
Ala Arg Thr Gly Trp Leu Gly Pro Phe Asp Tyr Trp Gly Gln Gly Thr			
100	105	110	
Leu Val Thr Val Ser Ser Ala Ser Thr Lys Gly Pro Ser Val Phe Pro			

115	120	125
Leu Ala Pro Ser Ser Lys Ser	Thr Ser Gly Gly	Thr Ala Ala Leu Gly
130	135	140
Cys Leu Val Lys Asp Tyr Phe Pro Glu Pro	Val Thr Val Ser Trp Asn	
145	150	155
Ser Gly Ala Leu Thr Ser Gly Val His	Thr Phe Pro Ala Val Leu Gln	160
165	170	175
Ser Ser Gly Leu Tyr Ser Leu Ser	Ser Val Val Thr Val Pro Ser Ser	
180	185	190
Ser Leu Gly Thr Gln Thr Tyr Ile Cys Asn	Val Asn His Lys Pro Ser	
195	200	205
Asn Thr Lys Val Asp Lys Lys	Val Glu Pro Lys Ser Cys Asp Lys Thr	
210	215	220
His Thr Cys Pro Pro Cys Pro Ala Pro	Glu Leu Leu Gly Gly Pro Ser	
225	230	235
Val Phe Leu Phe Pro Pro Lys Pro	Lys Asp Thr Leu Met Ile Ser Arg	240
245	250	255
Thr Pro Glu Val Thr Cys Val Val	Asp Val Ser His Glu Asp Pro	
260	265	270
Glu Val Lys Phe Asn Trp Tyr Val Asp Gly	Val Glu Val His Asn Ala	
275	280	285
Lys Thr Lys Pro Arg Glu Glu Gln Tyr Asn	Ser Thr Tyr Arg Val Val	
290	295	300
Ser Val Leu Thr Val Leu His Gln Asp Trp	Leu Asn Gly Lys Glu Tyr	
305	310	315
Lys Cys Lys Val Ser Asn Lys Ala Leu	Pro Ala Pro Ile Glu Lys Thr	
325	330	335
Ile Ser Lys Ala Lys Gly Gln Pro Arg	Glu Pro Gln Val Tyr Thr Leu	
340	345	350
Pro Pro Ser Arg Asp Glu Leu Thr Lys Asn	Gln Val Ser Leu Thr Cys	
355	360	365
Leu Val Lys Gly Phe Tyr Pro Ser Asp Ile	Ala Val Glu Trp Glu Ser	
370	375	380
Asn Gly Gln Pro Glu Asn Asn Tyr Lys	Thr Thr Pro Pro Val Leu Asp	
385	390	395
Ser Asp Gly Ser Phe Phe Leu Tyr Ser Lys	Leu Thr Val Asp Lys Ser	
405	410	415
Arg Trp Gln Gln Gly Asn Val Phe Ser	Cys Ser Val Met His Glu Ala	
420	425	430
Leu His Asn His Tyr Thr Gln Lys Ser	Leu Ser Leu Ser Pro Gly Lys	
435	440	445

<210> 64
<211> 451
<212> PRT
<213> Artificial Sequence

<220>
<223> tremelimumab heavy chain

<400> 64
Gln Val Gln Leu Val Glu Ser Gly Gly Val Val Gln Pro Gly Arg
1 5 10 15
Ser Leu Arg Leu Ser Cys Ala Ala Ser Gly Phe Thr Phe Ser Ser Tyr
20 25 30
Gly Met His Trp Val Arg Gln Ala Pro Gly Lys Gly Leu Glu Trp Val
35 40 45
Ala Val Ile Trp Tyr Asp Gly Ser Asn Lys Tyr Tyr Ala Asp Ser Val
50 55 60
Lys Gly Arg Phe Thr Ile Ser Arg Asp Asn Ser Lys Asn Thr Leu Tyr
65 70 75 80
Leu Gln Met Asn Ser Leu Arg Ala Glu Asp Thr Ala Val Tyr Tyr Cys

85	90	95
Ala Arg Asp Pro Arg Gly Ala Thr	Leu Tyr Tyr Tyr Tyr	Tyr Gly Met
100	105	110
Asp Val Trp Gly Gln Gly Thr	Thr Val Thr Val Ser	Ser Ala Ser Thr
115	120	125
Lys Gly Pro Ser Val Phe Pro	Leu Ala Pro Cys Ser	Arg Ser Thr Ser
130	135	140
Glu Ser Thr Ala Ala Leu Gly	Cys Leu Val Lys	Asp Tyr Phe Pro Glu
145	150	160
Pro Val Thr Val Ser Trp Asn	Ser Gly Ala Leu Thr Ser	Gly Val His
165	170	175
Thr Phe Pro Ala Val Leu Gln	Ser Ser Gly Leu Tyr Ser	Leu Ser Ser
180	185	190
Val Val Thr Val Pro Ser Ser	Asn Phe Gly Thr Gln	Thr Tyr Thr Cys
195	200	205
Asn Val Asp His Lys Pro Ser	Asn Thr Lys Val Asp	Lys Thr Val Glu
210	215	220
Arg Lys Cys Cys Val Glu Cys	Pro Pro Cys Pro Ala	Pro Pro Val Ala
225	230	240
Gly Pro Ser Val Phe Leu Phe	Pro Pro Lys Pro Lys Asp	Thr Leu Met
245	250	255
Ile Ser Arg Thr Pro Glu Val	Thr Cys Val Val Val	Asp Val Ser His
260	265	270
Glu Asp Pro Glu Val Gln Phe	Asn Trp Tyr Val Asp	Gly Val Glu Val
275	280	285
His Asn Ala Lys Thr Lys	Pro Arg Glu Glu Gln	Phe Asn Ser Thr Phe
290	295	300
Arg Val Val Ser Val Leu	Thr Val Val His Gln Asp	Trp Leu Asn Gly
305	310	320
Lys Glu Tyr Lys Cys Lys Val	Ser Asn Lys Gly	Leu Pro Ala Pro Ile
325	330	335
Glu Lys Thr Ile Ser Lys Thr	Lys Gly Gln Pro Arg	Glu Pro Gln Val
340	345	350
Tyr Thr Leu Pro Pro Ser Arg	Glu Glu Met Thr Lys	Asn Gln Val Ser
355	360	365
Leu Thr Cys Leu Val Lys	Gly Phe Tyr Pro Ser Asp	Ile Ala Val Glu
370	375	380
Trp Glu Ser Asn Gly Gln	Pro Glu Asn Asn Tyr	Lys Thr Thr Pro Pro
385	390	400
Met Leu Asp Ser Asp Gly Ser	Phe Leu Tyr Ser Lys	Leu Thr Val
405	410	415
Asp Lys Ser Arg Trp Gln Gln	Gly Asn Val Phe Ser	Cys Ser Val Met
420	425	430
His Glu Ala Leu His Asn His	Tyr Thr Gln Lys Ser	Leu Ser Leu Ser
435	440	445
Pro Gly Lys		
450		

<210> 65
<211> 451
<212> PRT
<213> Artificial Sequence

<220>
<223> efalizumab heavy chain

<400> 65
Glu Val Gln Leu Val Glu Ser Gly Gly Leu Val Gln Pro Gly Gly
1 5 10 15
Ser Leu Arg Leu Ser Cys Ala Ala Ser Gly Tyr Ser Phe Thr Gly His
20 25 30
Trp Met Asn Trp Val Arg Gln Ala Pro Gly Lys Gly Leu Glu Trp Val
35 40 45
Gly Met Ile His Pro Ser Asp Ser Glu Thr Arg Tyr Asn Gln Lys Phe

50	55	60
Lys Asp Arg Phe Thr Ile Ser Val Asp Lys Ser	Lys Asn Thr Leu Tyr	
65	70	75
Leu Gln Met Asn Ser Leu Arg Ala Glu Asp Thr Ala Val Tyr Tyr Cys		80
85	90	95
Ala Arg Gly Ile Tyr Phe Tyr Gly Thr Thr Tyr Phe Asp Tyr Trp Gly		
100	105	110
Gln Gly Thr Leu Val Thr Val Ser Ser Ala Ser Thr Lys Gly Pro Ser		
115	120	125
Val Phe Pro Leu Ala Pro Ser Ser Lys Ser Thr Ser Gly Gly Thr Ala		
130	135	140
Ala Leu Gly Cys Leu Val Lys Asp Tyr Phe Pro Glu Pro Val Thr Val		
145	150	155
Ser Trp Asn Ser Gly Ala Leu Thr Ser Gly Val His Thr Phe Pro Ala		160
165	170	175
Val Leu Gln Ser Ser Gly Leu Tyr Ser Leu Ser Ser Val Val Thr Val		
180	185	190
Pro Ser Ser Ser Leu Gly Thr Gln Thr Tyr Ile Cys Asn Val Asn His		
195	200	205
Lys Pro Ser Asn Thr Lys Val Asp Lys Lys Val Glu Pro Lys Ser Cys		
210	215	220
Asp Lys Thr His Thr Cys Pro Pro Cys Pro Ala Pro Glu Leu Leu Gly		
225	230	235
Gly Pro Ser Val Phe Leu Phe Pro Pro Lys Pro Lys Asp Thr Leu Met		
245	250	255
Ile Ser Arg Thr Pro Glu Val Thr Cys Val Val Val Asp Val Ser His		
260	265	270
Glu Asp Pro Glu Val Lys Phe Asn Trp Tyr Val Asp Gly Val Glu Val		
275	280	285
His Asn Ala Lys Thr Lys Pro Arg Glu Glu Gln Tyr Asn Ser Thr Tyr		
290	295	300
Arg Val Val Ser Val Leu Thr Val Leu His Gln Asp Trp Leu Asn Gly		
305	310	315
Lys Glu Tyr Lys Cys Lys Val Ser Asn Lys Ala Leu Pro Ala Pro Ile		
325	330	335
Glu Lys Thr Ile Ser Lys Ala Lys Gly Gln Pro Arg Glu Pro Gln Val		
340	345	350
Tyr Thr Leu Pro Pro Ser Arg Asp Glu Leu Thr Lys Asn Gln Val Ser		
355	360	365
Leu Thr Cys Leu Val Lys Gly Phe Tyr Pro Ser Asp Ile Ala Val Glu		
370	375	380
Trp Glu Ser Asn Gly Gln Pro Glu Asn Asn Tyr Lys Thr Thr Pro Pro		
385	390	395
Val Leu Asp Ser Asp Gly Ser Phe Phe Leu Tyr Ser Lys Leu Thr Val		
405	410	415
Asp Lys Ser Arg Trp Gln Gln Gly Asn Val Phe Ser Cys Ser Val Met		
420	425	430
His Glu Ala Leu His Asn His Tyr Thr Gln Lys Ser Leu Ser Leu Ser		
435	440	445
Pro Gly Lys		
450		

<210> 66
<211> 449
<212> PRT
<213> Artificial Sequence

<220>
<223> ustekinumab heavy chain

<400> 66
Glu Val Gln Leu Val Gln Ser Gly Ala Glu Val Lys Lys Pro Gly Glu
1 5 10 15
Ser Leu Lys Ile Ser Cys Lys Gly Ser Gly Tyr Ser Phe Thr Thr Tyr

	20	25	30												
Trp	Leu	Gly	Trp	Val	Arg	Gln	Met	Pro	Gly	Lys	Gly	Leu	Asp	Trp	Ile
	35			40						45					
Gly	Ile	Met	Ser	Pro	Val	Asp	Ser	Asp	Ile	Arg	Tyr	Ser	Pro	Ser	Phe
	50				55					60					
Gln	Gly	Gln	Val	Thr	Met	Ser	Val	Asp	Lys	Ser	Ile	Thr	Thr	Ala	Tyr
	65			70					75				80		
Leu	Gln	Trp	Asn	Ser	Leu	Lys	Ala	Ser	Asp	Thr	Ala	Met	Tyr	Tyr	Cys
	85					90					95				
Ala	Arg	Arg	Arg	Pro	Gly	Gln	Gly	Tyr	Phe	Asp	Phe	Trp	Gly	Gln	Gly
	100				105						110				
Thr	Leu	Val	Thr	Val	Ser	Ser	Ala	Ser	Thr	Lys	Gly	Pro	Ser	Val	Phe
	115				120						125				
Pro	Leu	Ala	Pro	Ser	Ser	Lys	Ser	Thr	Ser	Gly	Gly	Thr	Ala	Ala	Leu
	130				135					140					
Gly	Cys	Leu	Val	Lys	Asp	Tyr	Phe	Pro	Glu	Pro	Val	Thr	Val	Ser	Trp
	145				150				155				160		
Asn	Ser	Gly	Ala	Leu	Thr	Ser	Gly	Val	His	Thr	Phe	Pro	Ala	Val	Leu
	165					170					175				
Gln	Ser	Ser	Gly	Leu	Tyr	Ser	Leu	Ser	Ser	Val	Val	Thr	Val	Pro	Ser
	180					185					190				
Ser	Ser	Leu	Gly	Thr	Gln	Thr	Tyr	Ile	Cys	Asn	Val	Asn	His	Lys	Pro
	195					200					205				
Ser	Asn	Thr	Lys	Val	Asp	Lys	Lys	Val	Glu	Pro	Lys	Ser	Cys	Asp	Lys
	210				215					220					
Thr	His	Thr	Cys	Pro	Pro	Cys	Pro	Ala	Pro	Glu	Leu	Leu	Gly	Gly	Pro
	225				230				235			240			
Ser	Val	Phe	Leu	Phe	Pro	Pro	Lys	Pro	Lys	Asp	Thr	Leu	Met	Ile	Ser
	245					250					255				
Arg	Thr	Pro	Glu	Val	Thr	Cys	Val	Val	Val	Asp	Val	Ser	His	Glu	Asp
	260					265					270				
Pro	Glu	Val	Lys	Phe	Asn	Trp	Tyr	Val	Asp	Gly	Val	Glu	Val	His	Asn
	275					280					285				
Ala	Lys	Thr	Lys	Pro	Arg	Glu	Glu	Gln	Tyr	Asn	Ser	Thr	Tyr	Arg	Val
	290				295					300					
Val	Ser	Val	Leu	Thr	Val	Leu	His	Gln	Asp	Trp	Leu	Asn	Gly	Lys	Glu
	305				310				315			320			
Tyr	Lys	Cys	Lys	Val	Ser	Asn	Lys	Ala	Leu	Pro	Ala	Pro	Ile	Glu	Lys
	325					330					335				
Thr	Ile	Ser	Lys	Ala	Lys	Gly	Gln	Pro	Arg	Glu	Pro	Gln	Val	Tyr	Thr
	340					345					350				
Leu	Pro	Pro	Ser	Arg	Asp	Glu	Leu	Thr	Lys	Asn	Gln	Val	Ser	Leu	Thr
	355					360					365				
Cys	Leu	Val	Lys	Gly	Phe	Tyr	Pro	Ser	Asp	Ile	Ala	Val	Glu	Trp	Glu
	370				375					380					
Ser	Asn	Gly	Gln	Pro	Glu	Asn	Asn	Tyr	Lys	Thr	Thr	Pro	Pro	Val	Leu
	385				390				395			400			
Asp	Ser	Asp	Gly	Ser	Phe	Phe	Leu	Tyr	Ser	Lys	Leu	Thr	Val	Asp	Lys
	405					410					415				
Ser	Arg	Trp	Gln	Gln	Gly	Asn	Val	Phe	Ser	Cys	Ser	Val	Met	His	Glu
	420					425					430				
Ala	Leu	His	Asn	His	Tyr	Thr	Gln	Lys	Ser	Leu	Ser	Leu	Ser	Pro	Gly
	435					440					445				
Lys															

<210> 67

<211> 744

<212> DNA

<213> Artificial Sequence

<220>

<223> IgG1 Hinge+ Ipilimumab light chain

<400> 67
 gagcccaaat cttgtgacaa aactcacaca tgcccaccgt gcccagttaa cggcggcggc 60
 ggcagcggtc ccctgggtgt gagagcggcc cagccggccg aaattgtgtt gacgcagtct
 ccaggcaccc tgtctttgtc tccaggggaa agagccaccc tctcctgcag ggccagtcag 120
 agtgttggca gcagctactt agcctggtac cagcagaaac ctggccaggc tcccaggctc
 ctcatctatg gtgcattcag cagggccact ggcattccag acaggttcag tggcagtgg 180
 tctggacag acttcactct caccatcagc agactggagc ctgaagattt tgcagtgtat
 tactgtcagc agtatggtag ctaccgtgg acgttcggcc aagggaccaa ggtggaaatc 240
 aaacggactg tggctgcacc atctgtttc atcttcccgcc catctgatga gcagttgaaa
 tctggaactg cctctgtgt gtgcctgctg aataacttct atccccagaga gccaaagta 300
 cagtggaagg tggataacgc cttccaatcg ggtaactccc aggagagtgt cacagagcag
 gacagcaagg acagcaccta cagcctcagc agcaccctga cgctgagcaa agcagactac 360
 gagaaacaca aactctacgc ctgcgaagtc acccatcagg gcctgagctc gcccgtcaca
 aagagcttca acaggggaga gtgc 420
 744

<210> 68
 <211> 1440
 <212> DNA
 <213> Artificial Sequence

<220>
 <223> IgG1 Hinge+ Ipilimumab heavy chain

<400> 68
 gagcccaaat cttgtgacaa aactcacaca tgcccaccgt gcccaggcgg ccgcggcggc 60
 ggcggcagcg gtccccctggg tgtgagaaga tctcaggtgc agctggtgg gtctggggga
 ggcgtggtcc agcctggag gtcctgaga ctctcctgtg cagcctctgg attcaccttc 120
 agtagctata ctatgcactg gtcggccag gtcaggca aggggctgg gtgggtgaca
 tttatatcat atgatggaaa caataaatac tacgcagact ccgtgaaggg ccgattcacc
 atctccagag acaattccaa gaacacgctg tatctgc当地 tgaacacgct gagagctgag
 gacacggcta tatattactg tgcgaggacc ggctggctgg ggcctttga ctactggggc
 cagggAACCC tggtcaccgt ctccctcagcc tccaccaagg gaccatcggt cttccccctg
 gcaccctcct ccaagagcac ctctggggc acagcggccc tggctgcct ggtcaaggac
 tacttccccg aaccggtgac ggtgttgtgg aactcaggcg ccctgaccag cggcgtgcac
 accttccccg ctgtcctaca gtcctcagga ctctactccc tcagcagcgt ggtgaccgtg
 ccctccagca gcttgggcac ccagacactac atctgcaacg tgaatcacaa gcccagcaac
 accaaggctcg acaagaaagt tgagccaaa tcttgtgaca aaactcacac atgcccaccc
 tgcccagcac ccgaactcct gggggaccc tcagtcttcc tcttcccccc aaaacccaag 720
 780
 840

gacaccctca tgatctcccg gacccttag gtcacatgcg tggtggtgga cgtgagccac 900
gaagaccctg aggtcaagtt caactggtagt gtggacggcg tggaggtgca taatgccaaag 960
acaagaaggcgc gggaggagca gtacaacagc acgtaccgtg tggtcagcgt cctcaccgtc 1020
ctgcaccagg actggctgaa tggcaaggag tacaagtgcg aggtctccaa caaaggccctc 1080
ccagccccca tcgagaaaaac catctccaaa gccaaaggggc agccccgaga accacaggtg 1140
tacaccctgc ccccatcccg ggatgagctg accaagaacc aggtcagcct gacctgcctg 1200
gtcaaaggct tctatcccag cgacatcgcc gtggagtggg agagcaatgg gcagccggag 1260
aacaactaca agaccacgac tccctgtctg gactccgacg gctccttctt cctctacagc 1320
aagctcaccg tggacaagag caggtggcag cagggaaacg tcttctcatg ctccgtgatg 1380
catgaggctc tgcacaacca ctacacgcag aagagcctct ccctgtctcc gggtaaataa 1440

<210> 69
<211> 735
<212> DNA
<213> Artificial Sequence

<220>
<223> IgG2 Hinge+ Ipilimumab light chain

<400> 69
gagcgcaaat gttgtgtcga gtggccaccc tgcccaagtta acggcgccgg cggcagcgg 60
ccctgggtg tgagagcggc ccagccggcc gaaattgtgt tgacgcagtc tccaggcacc 120
ctgtcttgt ctccagggga aagagccacc ctctcctgca gggccagtca gagtggc 180
agcagctact tagcctggta ccagcagaaa cctggccagg ctcccaggct cctcatctat 240
ggtgcattca gcagggccac tggcatccca gacaggttca gtggcagtgg gtctggaca 300
gacttcactc tcaccatcag cagactggag cctgaagatt ttgcagtgtt ttactgtcag 360
cagtatggta gtcaccgtg gacggtcgcc caagggacca aggtggaaat caaacggact 420
gtggctgcac catctgtctt catcttcccg ccatctgtat agcagttgaa atctggaact 480
gcctctgttg tgtgcctgct gaataacttc tatcccagag aggccaaagt acagtggaaag 540
gtggataacg ccctccaatc gggtaactcc caggagagtgc tcacagagca ggacagcaag 600
gacagcacct acagcctcag cagcaccctg acgctgagca aagcagacta cgagaaacac 660
aaactctacg cctgcgaagt cacccatcag ggcctgagct cgcccggtcac aaagagcttc 720
aacaggggag agtgc 735

<210> 70
<211> 1431
<212> DNA
<213> Artificial Sequence

<220>

<223> IgG2 Hinge+ Ipilimumab heavy chain

<400> 70

gagcgcaaat gttgtgtcga gtgcccaccc tgcccaggcg gccgcggcgg cggcggcagc	60
ggtccccctgg gtgtgagaag atctcaggtg cagctggtgg agtctggggg aggcggtggc	120
cagcctggga ggtccctgag actctcctgt gcagcctctg gattcacctt cagtagctat	180
actatgcact gggtccgcca ggctccaggc aaggggctgg agtgggtgac atttatatca	240
tatgatggaa acaataaata ctacgcagac tccgtgaagg gccgattcac catctccaga	300
gacaattcca agaacacgct gtatctgcaa atgaacagcc tgagagctga ggacacggct	360
atatattact gtgcgaggac cggctggctg gggcccttg actactgggg ccagggAAC	420
ctggtcaccg tctcctcagc ctcaccaag ggaccatcgg tcttccccct ggcaccctcc	480
tccaagagca cctctgggg cacagcggcc ctgggctgccc tggtcaagga ctactcccc	540
gaaccggta cggtgtcggt gaactcaggc gccctgacca gcccgtgca cacctcccc	600
gctgtcctac agtcctcagg actctactcc ctcagcagcg tggtgaccgt gccctccagc	660
agcttggca cccagaccta catctgcaac gtgaatcaca agcccagcaa caccaaggc	720
gacaagaaag ttgagccaa atcttgcac aaaactcaca catgcccacc gtgcccagca	780
cccgaactcc tggggggacc gtcagtcttc ctcttcccc caaaacccaa ggacaccctc	840
atgatctccc ggaccctga ggtcacatgc gtgggtgg acgtgagcca cgaagaccct	900
gaggtcaagt tcaactggta cgtggacggc gtggaggtgc ataatgccaa gacaaagccg	960
cgggaggagc agtacaacag cacgtaccgt gtggtcagcg tcctcaccgt cctgcaccag	1020
gactggctga atggcaagga gtacaagtgc aaggtctcca acaaagccct cccagcccc	1080
atcgagaaaa ccatctccaa agccaagggg cagccccgag aaccacaggt gtacaccctg	1140
cccccatccc gggatgagct gaccaagaac caggtcagcc tgacctgcct ggtcaaaggc	1200
ttctatccca gcgacatcgc cgtggagtgg gagagcaatg ggcagccgga gaacaactac	1260
aagaccacgc ctccctgtct ggactccgac ggctccttct tcctctacag caagctcacc	1320
gtggacaaga gcaggtggca gcaggggaac gtcttctcat gctccgtgat gcatgaggct	1380
ctgcacaacc actacacgca gaagagcctc tccctgtctc cggtaaata a	1431

<210> 71

<211> 885

<212> DNA

<213> Artificial Sequence

<220>

<223> IgG3 Hinge+ Ipilimumab light chain

<400> 71

gagctcaaaa ccccacttgg tgacacaact cacacatgcc cacggtgccc agagccaaa	60
tcttgtgaca cacctccccc gtgcccacgg tgcccagagc ccaaatttg tgacacaccc	120

ccccatgcc cacggtgccc agagccaaa tcttgtaca cacctcccc gtgccaagg	180
tgcccatgtt acggcggcg cgccagcggt cccctgggtg tgagagcggc ccagccggcc	240
gaaattgtgt tgacgcagtc tccaggcacc ctgtcttgt ctccagggga aagagccacc	300
ctctcctgca gggccagtca gagtgttggc agcagctact tagcctggta ccagcagaaa	360
cctggccagg ctcggcaggct cctcatctat ggtgcattca gcagggccac tggcatccca	420
gacaggttca gtggcagtgg gtctggaca gacttcactc tcaccatcag cagactggag	480
cctgaagatt ttgcagtgta ttactgtcag cagtaggtta gtcaccgtg gacgttcggc	540
caagggacca aggtggaaat caaacggact gtggctgcac catctgtctt catcttcccg	600
ccatctgatg agcagttgaa atctggaact gcctctgtt tgcgcgtgt gaataacttc	660
tatcccagag aggccaaagt acagtggaaag gtggataacg ccctccaatc gggtaactcc	720
caggagagtg tcacagagca ggacagcaag gacagcacct acagcctcag cagcaccctg	780
acgctgagca aagcagacta cgagaaacac aaactctacg cctgcgaagt caccatcag	840
ggcctgagct cgcccggtcac aaagagcttc aacaggggag agtgc	885

<210> 72
<211> 1581
<212> DNA
<213> Artificial Sequence

<220>
<223> IgG3 Hinge+ Ipilimumab heavy chain

<400> 72 gagctaaaaa ccccacttgg tgacacaact cacacatgcc cacggtgccc agagccaaa	60
tcttgtaca cacctcccc gtgcccacgg tgcccaagac ccaaattttt tgacacaccc	120
ccccatgcc cacggtgccc agagccaaa tcttgtaca cacctcccc gtgccaagg	180
tgcccaaggcg gccggggcg cggggcagc ggtccctgg gtgtgagaag atctcagggt	240
cagctggtgg agtctgggg aggctggtc cagcctggta ggtccctgag actctcctgt	300
gcagcctctg gattcacctt cagtagctat actatgcact gggccgcaca ggctccaggc	360
aaggggctgg agtgggtgac atttatata tatgtatggaa acaataaata ctacgcagac	420
tccgtgaagg gccgattcac catctccaga gacaattcca agaacacgct gtatctgcaa	480
atgaacagcc tgagagctga ggacacggct atatattact gtgcgaggac cggctggctg	540
gggcctttt actactgggg ccagggacc ctggtcaccc tctcctcagc ctccaccaag	600
ggaccatcg tcttccccct ggcaccctcc tccaagagca cctctggggg cacagccggcc	660
ctgggctgcc tggtaagga ctactcccc gaaccggta cgggtcggtg gaactcaggc	720
gccctgacca gccccgtgca cacctccccg gctgtcctac agtcctcagg actctactcc	780
ctcagcagcg tggtaaccgt gccctccagc agcttggca cccagaccta catctgcaac	840

gtgaatcaca	agcccagcaa	caccaaggc	gacaagaaag	ttgagccaa	atcttgtac	900
aaaactcaca	catgcccacc	gtgcccagca	cccgaaactcc	tggggggacc	gtcagtctc	960
ctcttcccc	caaaacccaa	ggacaccctc	atgatctccc	ggaccctg	ggtcacatgc	1020
gtggtggtgg	acgtgagcca	cgaagaccct	gaggtcaagt	tcaactggta	cgtggacggc	1080
gtggaggtgc	ataatgcca	gacaaagccg	cgggaggagc	agtacaacag	cacgtaccgt	1140
gtggtcagcg	tcctcaccgt	cctgcaccag	gactggctg	atggcaagga	gtacaagtgc	1200
aaggcttcca	acaaagccct	cccagcccc	atcgagaaaa	ccatctccaa	agccaagggg	1260
cagccccgag	aaccacaggt	gtacaccctg	cccccatccc	gggatgagct	gaccaagaac	1320
caggtcagcc	tgacctgcct	ggtcaaaggc	ttctatccca	gcgacatcgc	cgtggagtgg	1380
gagagcaatg	ggcagccgga	gaacaactac	aagaccacgc	ctcccgtgct	ggactccgac	1440
ggctccttct	tcctctacag	caagctcacc	gtggacaaga	gcaggtggca	gcaggggaac	1500
gtcttctcat	gctccgtgat	gcatgaggct	ctgcacaacc	actacacgca	gaagagcctc	1560
tccctgtctc	cggtaaata	a				1581

<210> 73
<211> 735
<212> DNA
<213> Artificial Sequence

<220>
<223> IgG4 Hinge+ Ipilimumab light chain

<400> 73						
gagtccaaat	atggtcccc	atgcccattc	tgcccagtta	acggcggcgg	cggcagcggt	60
ccccctgggtg	tgagagcggc	ccagccggcc	gaaatttgtt	tgacgcagtc	tccaggcacc	120
ctgtcttct	ctccagggga	aagagccacc	ctctcctgca	gggccagtca	gagtgttggc	180
agcagctact	tagcctggta	ccagcagaaa	cctggccagg	ctcccaggct	cctcatctat	240
ggtgcattca	gcagggccac	tggcatccca	gacaggtca	gtggcagtgg	gtctggaca	300
gacttcactc	tcaccatcag	cagactggag	cctgaagatt	ttgcagtgt	ttactgtcag	360
cagtatggta	gctcaccgtg	gacgttcggc	caagggacca	aggtggaaat	caaacggact	420
gtggctgcac	catctgtctt	catcttccc	ccatctgatg	agcagttgaa	atctggaact	480
gcctctgttg	tgtgcctgct	gaataacttc	tatcccagag	aggccaaagt	acagtggaaag	540
gtggataacg	ccctccaatc	ggtaactcc	caggagagt	tcacagagca	ggacagcaag	600
gacagcacct	acagcctcag	cagcacccctg	acgctgagca	aagcagacta	cgagaaacac	660
aaactctacg	cctgcgaagt	cacccatcag	ggcctgagct	cgcccgac	aaagagctc	720
aacaggggag	agtgc					735

<210> 74
<211> 1431
<212> DNA
<213> Artificial Sequence

<220>
<223> IgG4 Hinge+ Ipilimumab heavy chain

<400> 74
gagtccaaat atggtcccc atgcccata tgcccaggcg gccgcggcgg cggcggcagc 60
ggtcccctgg gtgtgagaag atctcaggtg cagctggtgg agtctgggg aggctggtc 120
cagcctggga ggtccctgag acttcctgt gcagcccttg gattcacctt cagtagctat 180
actatgcact gggtccggca ggctccaggc aaggggctgg agtgggtgac atttatatca 240
tatgatggaa acaataaata ctacgcagac tccgtgaagg gccgattcac catctccaga 300
gacaattcca agaacacgct gtatctgcaa atgaacagcc tgagagctga ggacacggct 360
atatatattact gtgcgaggac cggctggctg gggccctttg actactgggg ccagggAAC 420
ctggtcaccg ttcctcagc ctccaccaag ggaccatcg tcttccccct ggcaccctcc 480
tccaagagca cctctgggg cacagcggcc ctgggctgcc tggtcaagga ctactcccc 540
gaaccggta cggtgtcgta gaactcaggc gcccgtacca gcggcgtgca cacctcccc 600
gctgtcctac agtcctcagg actctactcc ctcagcagcg tggtgaccgt gcccctccagc 660
agcttggca cccagaccta catctgcaac gtgaatcaca agcccagcaa caccaaggc 720
gacaagaaag ttgagccaa atcttgcac aaaactcaca catgcccacc gtgcccagca 780
cccgaaactcc tggggggacc gtcagtcttc ctcttcccc caaaacccaa ggacaccctc 840
atgatctccc ggaccctga ggtcacatgc gtgggtgg acgtgagcca cgaagaccct 900
gaggtcaagt tcaactggta cgtggacggc gtggaggtgc ataatgccaa gacaaagccg 960
cgggaggagc agtacaacag cacgtaccgt gtggtcagcg tcctcaccgt cctgcaccag 1020
gactggctga atggcaagga gtacaagtgc aaggtctcca acaaagccct cccagcccc 1080
atcgagaaaa ccatctccaa agccaagggg cagcccgag aaccacaggt gtacaccctg 1140
cccccatccc gggatgagct gaccaagaac caggtcagcc tgacctgcct ggtcaaaggc 1200
ttctatccca gcgacatcgc cgtggagtgg gagagcaatg ggcagccgga gaacaactac 1260
aagaccacgc ctccctgtgc ggactccgac ggctccttct tcctctacag caagctcacc 1320
gtggacaaga gcaggtggca gcagggaaac gtattctcat gctccgtgat gcatgaggct 1380
ctgcacaacc actacacgca gaagagcctc tccctgtctc cggtaaata a 1431

<210> 75
<211> 768
<212> DNA
<213> Artificial Sequence

<220>

<223> IgA1 Hinge+ Ipilimumab light chain

<400> 75

ccagttccct caactccacc tacccatct ccctaactc cacctacccc attcctca	60
tgctgccacg ttaacggcg cgccggcagc ggtccctgg gtgtgagagc ggcccagccg	120
gccgaaattg tggtgacgca gtctccaggc accctgtctt tgtctccagg ggaaagagcc	180
accctctcct gcagggccag tcagagtgtt ggcagcagct acttagcctg gtaccagcag	240
aaacctggcc aggctccag gctcctcatc tatggtgcatt tcagcagggc cactggcatc	300
ccagacaggt tcagtggcag tgggtctggg acagacttca ctctcaccat cagcagactg	360
gagcctgaag attttgcagt gtattactgt cagcagttatg gtagctcacc gtggacgttc	420
ggccaaggga ccaaggtgga aatcaaacgg actgtggctg caccatctgt cttcatttc	480
ccgccccatctg atgagcagtt gaaatctgga actgcctctg ttgtgtgcct gctgaataac	540
ttctatccca gagaggccaa agtacagtgg aaggtggata acgcctccca atcggtaac	600
tcccaggaga gtgtcacaga gcaggacagc aaggacagca cctacagcct cagcagcacc	660
ctgacgctga gcaaaggcaga ctacgagaaa cacaactct acgcctgcga agtcacccat	720
cagggcctga gctcgccctg cacaagagc ttcaacaggg gagagtgc	768

<210> 76

<211> 768

<212> DNA

<213> Artificial Sequence

<220>

<223> IgA1 Hinge+ Ipilimumab heavy chain

<400> 76

ccagttccct caactccacc tacccatct ccctaactc cacctacccc attcctca	60
tgctgccacg ttaacggcg cgccggcagc ggtccctgg gtgtgagagc ggcccagccg	120
gccgaaattg tggtgacgca gtctccaggc accctgtctt tgtctccagg ggaaagagcc	180
accctctcct gcagggccag tcagagtgtt ggcagcagct acttagcctg gtaccagcag	240
aaacctggcc aggctccag gctcctcatc tatggtgcatt tcagcagggc cactggcatc	300
ccagacaggt tcagtggcag tgggtctggg acagacttca ctctcaccat cagcagactg	360
gagcctgaag attttgcagt gtattactgt cagcagttatg gtagctcacc gtggacgttc	420
ggccaaggga ccaaggtgga aatcaaacgg actgtggctg caccatctgt cttcatttc	480
ccgccccatctg atgagcagtt gaaatctgga actgcctctg ttgtgtgcct gctgaataac	540
ttctatccca gagaggccaa agtacagtgg aaggtggata acgcctccca atcggtaac	600
tcccaggaga gtgtcacaga gcaggacagc aaggacagca cctacagcct cagcagcacc	660
ctgacgctga gcaaaggcaga ctacgagaaa cacaactct acgcctgcga agtcacccat	720
cagggcctga gctcgccctg cacaagagc ttcaacaggg gagagtgc	768

<210> 77
 <211> 729
 <212> DNA
 <213> Artificial Sequence

<220>
 <223> IgA2 Hinge+ Ipilimumab light chain

<400>	77
ccagttcccc cacctccccc atgctgccac gttaacggcg gcggcggcag cggtccctg	60
ggtgtgagag cggcccagcc ggccgaaatt gtgttgacgc agtctccagg caccctgtct	120
ttgtctccag gggaaagagc caccctctcc tgcagggcca gtcagagtgt tggcagcagc	180
tacttagcct ggtaccagca gaaacctggc caggctccca ggctcctcat ctatggtca	240
ttcagcaggg ccactggcat cccagacagg ttcaagtggca gtgggtctgg gacagacttc	300
actctcacca tcagcagact ggagcctgaa gatttgcag tgtattactg tcagcagtat	360
ggtagctcac cgtggacggtt cggccaaggg accaagggtgg aaatcaaacg gactgtggct	420
gcaccatctg tcttcatctt cccgccccatct gatgagcagt taaaatctgg aactgcctct	480
gttgtgtgcc tgctgaataa cttctatccc agagaggcca aagtacagtgt gaaggtggat	540
aacgccctcc aatcgggtaa ctcccaggag agtgcacag agcaggacag caaggacagc	600
acctacagcc tcagcagcac cctgacgctg agcaaagcag actacgagaa acacaaactc	660
tacgcctgcg aagtcaccca tcagggcctg agctcgcccg tcacaaagag cttcaacagg	720
ggagagtgcc	729

<210> 78
 <211> 729
 <212> DNA
 <213> Artificial Sequence

<220>
 <223> IgA2 Hinge+ Ipilimumab heavy chain

<400>	78
ccagttcccc cacctccccc atgctgccac gttaacggcg gcggcggcag cggtccctg	60
ggtgtgagag cggcccagcc ggccgaaatt gtgttgacgc agtctccagg caccctgtct	120
ttgtctccag gggaaagagc caccctctcc tgcagggcca gtcagagtgt tggcagcagc	180
tacttagcct ggtaccagca gaaacctggc caggctccca ggctcctcat ctatggtca	240
ttcagcaggg ccactggcat cccagacagg ttcaagtggca gtgggtctgg gacagacttc	300
actctcacca tcagcagact ggagcctgaa gatttgcag tgtattactg tcagcagtat	360
ggtagctcac cgtggacggtt cggccaaggg accaagggtgg aaatcaaacg gactgtggct	420
gcaccatctg tcttcatctt cccgccccatct gatgagcagt taaaatctgg aactgcctct	480
gttgtgtgcc tgctgaataa cttctatccc agagaggcca aagtacagtgt gaaggtggat	540

aacgccctcc aatcggttaa ctcccaggag agtgtcacag agcaggacag caaggacagc	600
acctacagcc tcagcagcac cctgacgctg agcaaagcag actacgagaa acacaaactc	660
tacgcctgcg aagtcaccca tcagggcctg agctcgcccg tcacaaagag cttcaacagg	720
ggagagtgc	729

ФОРМУЛА ИЗОБРЕТЕНИЯ

1. Антитело с шарнирной областью, способное селективно активироваться в клетке-мишени или в ткани-мишени для лечения заболевания, включающее:

функциональное антитело, в активированном состоянии способное к лечению заболевания, содержащее две лёгких цепи и две тяжёлых цепи;

два ингибиторных домена, причём каждый ингибиторный домен состоит из двух пептидных плечей, соединённых друг с другом дисульфидными связями; и четырёх отщепляемых линкеров, причём каждый отщепляемый линкер содержит пептидный субстрат, расщепляемый ферментом, который специфически или с высокой степенью экспрессирован в клетке-мишени или в ткани-мишени, и который соединяет одно из двух пептидных плечей двух ингибиторных доменов с N-концами одной из двух лёгких цепей и двух тяжёлых цепей функционального антитела.

2. Антитело с шарнирной областью по п. 1, в котором функциональное антитело выбрано из группы, состоящей из антитела к TNF- α , антитела к RANKL, антитела к CTLA-4, антитела к HER2, антитела к EGFR, антитела к VEGF, антитела к VEGFR2, антитела к IL6R, антитела к IL12/23, антитела к CD3, антитело к CD11a, антитела к CD20 и антитела к CD25, антитела к CD30, антитела к CD33 и антитела к CD52.

3. Антитело с шарнирной областью по п. 1, в котором лёгкая цепь функционального антитела содержит любую из аминокислотных последовательностей SEQ ID Nos. 1, 2, 3, 4, 5, 6, 7, 8 или 9, и тяжёлая цепь функционального антитела содержит любую из аминокислотных последовательностей SEQ ID Nos. 58, 59, 60, 61, 62, 63, 64, 65 и 66.

4. Антитело с шарнирной областью по п. 1, в котором каждый из двух ингибиторных доменов представляет собой шарнирный домен иммуноглобулина A (IgA), иммуноглобулина D (IgD) или иммуноглобулина G (IgG) или фрагмент шарнирного домена.

5. Антитело с шарнирной областью по п. 4, в котором IgA представляет собой IgA1 или IgA2.

6. Антитело с шарнирной областью по п. 4, в котором IgG представляет собой IgG1, IgG2, IgG3 или IgG4.

7. Антитело с шарнирной областью по п. 4, в котором каждый из ингибиторных доменов содержит любую из аминокислотных последовательностей SEQ ID Nos. 10, 11, 12, 13, 14, 15, 54 или 55.

8. Антитело с шарнирной областью по п. 1, в котором пептидный субстрат расщепляется любым из следующих ферментов: матриксной металлопротеиназой (ММР), катепсином (CTS), каспазой (CASP) или дисинтегрином и металлопротеиназой (ADAM).

9. Антитело с шарнирной областью по п. 8, в котором фермент представляет собой MMP-2 или MMP-9, и каждый отщепляемый линкер содержит аминокислотную последовательность SEQ ID No. 16.

10. Антитело с шарнирной областью по п. 1, в котором функциональное антитело представляет собой антитело к TNF- α , причём его лёгкая цепь содержит аминокислотную последовательность SEQ ID No. 1, и его тяжёлая цепь содержит аминокислотную последовательность SEQ ID No. 58;

каждый из отщепляемых линкеров содержит аминокислотную последовательность SEQ ID No. 16; и

каждый из ингибиторных доменов содержит аминокислотную последовательность SEQ ID No. 10.

11. Экспрессионная система для производства антитела с шарнирной областью, способного селективно активироваться в клетке-мишени или в ткани-мишени для лечения заболевания, включающее:

последовательность первой нуклеиновой кислоты, включающую в направлении от 5'-конца к 3'-концу:

область, кодирующую первый ингибиторный домен, которая кодирует первое пептидное плечо ингибиторного домена антитела с шарнирной областью, причём этот ингибиторный домен содержит шарнирный домен иммуноглобулина или фрагмент этого шарнирного домена,

область, кодирующую первый отщепляемый линкер, которая кодирует отщепляемый линкер антитела с шарнирной областью, причём отщепляемый линкер представляет собой пептидный субстрат, расщепляемый ферментом, который

специфически или с высокой степенью экспрессирован в клетке-мишени или в ткани-мишени, и

область, кодирующую лёгкую цепь, которая кодирует лёгкую цепь функционального антитела с шарнирной областью, причём функциональное антитело в активированном состоянии способно лечить заболевание; и

последовательность второй нуклеиновой кислоты, включающую в направлении от 5'-конца к 3'-концу:

область, кодирующую второй ингибиторный домен, которая кодирует второе пептидное плечо ингибиторного домена антитела с шарнирной областью,

область, кодирующую второй отщепляемый линкер, которая кодирует отщепляемый линкер антитела с шарнирной областью, и

область, кодирующую тяжёлую цепь, которая кодирует тяжёлую цепь функционального антитела антитела с шарнирной областью.

12. Экспрессионная система по п. 11, включающая также соединяющую последовательность нуклеиновой кислоты, которая соединяет последовательность первой нуклеиновой кислоты и последовательность второй нуклеиновой кислоты, причём соединяющая последовательность нуклеиновой кислоты представляет собой последовательность, кодирующую фурин-2А, или последовательность участка внутренней посадки рибосомы (IRES).

13. Экспрессионная система по п. 12, включающая также регуляторную последовательность, функционально соединённую с последовательностью первой нуклеиновой кислоты и с последовательностью второй нуклеиновой кислоты для осуществления экспрессии последовательности первой нуклеиновой кислоты, последовательности второй нуклеиновой кислоты и соединяющей последовательности нуклеиновой кислоты.

14. Экспрессионная система по п. 11, включающая также:

первую регуляторную последовательность, функционально соединённую с последовательностью первой нуклеиновой кислоты для осуществления экспрессии последовательности первой нуклеиновой кислоты; и

вторую регуляторную последовательность, функционально соединённую с последовательностью второй нуклеиновой кислоты для осуществления экспрессии последовательности второй нуклеиновой кислоты.

15. Экспрессионная система по п. 14, в которой:

последовательность первой нуклеиновой кислоты и первая регуляторная последовательность встроены в первый экспрессионный вектор; и

последовательность второй нуклеиновой кислоты и вторая регуляторная последовательность встроены во второй экспрессионный вектор.

16. Экспрессионная система по п. 14, в которой последовательность первой нуклеиновой кислоты, первая регуляторная последовательность, последовательность второй нуклеиновой кислоты и вторая регуляторная последовательность встроены в один экспрессионный вектор.

17. Экспрессионная система по п. 11, в которой функциональное антитело выбрано из группы, состоящей из антитела к TNF- α , антитела к RANKL, антитела к CTLA-4, антитела к HER2, антитела к EGFR, антитела к VEGF, антитела к VEGFR2), антитела к IL6R, антитела к IL12/23, антитела к CD3, антитело к CD11a, антитела к CD20 и антитела к CD25, антитела к CD30, антитела к CD33 и антитела к CD52.

18. Экспрессионная система по п. 11, в которой иммуноглобулин представляет собой иммуноглобулин A (IgA), иммуноглобулин D (IgD) или иммуноглобулин G (IgG).

19. Молекула синтетической нуклеиновой кислоты по п. 18 (**неверная отсылка**), в которой IgA представляет собой IgA1 или IgA2.

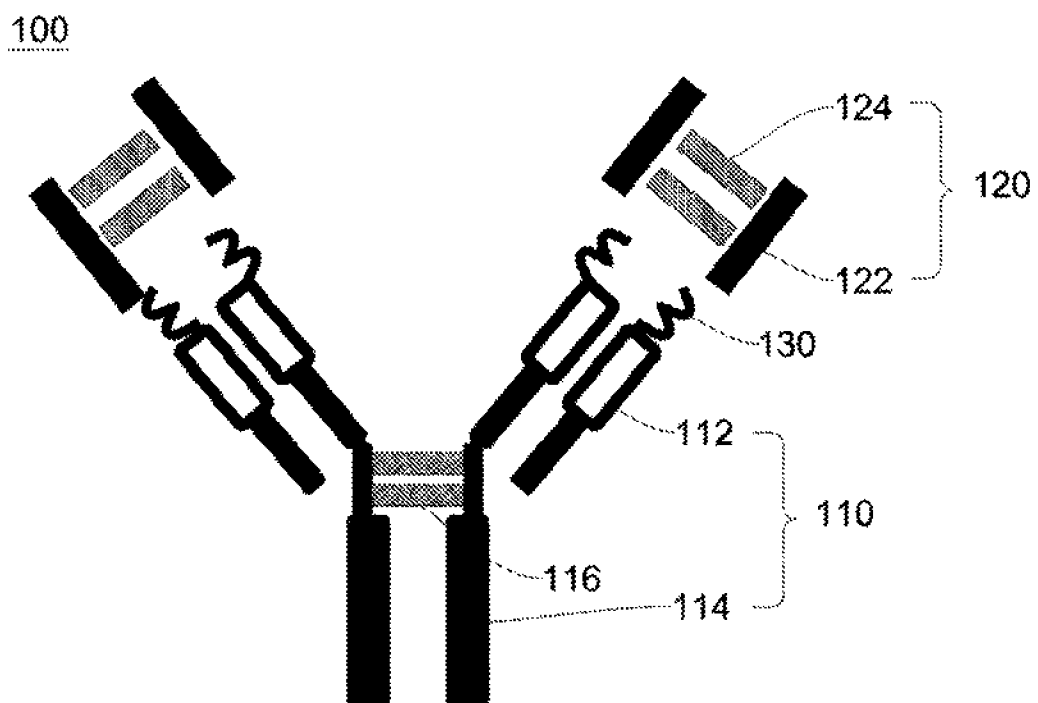
20. Молекула синтетической нуклеиновой кислоты по п. 18, в которой IgG представляет собой IgG1, IgG2, IgG3 или IgG4.

21. Молекула синтетической нуклеиновой кислоты по п. 11, в которой пептидный субстрат расщепляется любым из следующих ферментов: матриксной металлопротеиназой (ММР), катепсином (CTS), каспазой (CASP) или дисинтегрином и металлопротеиназой (ADAM).

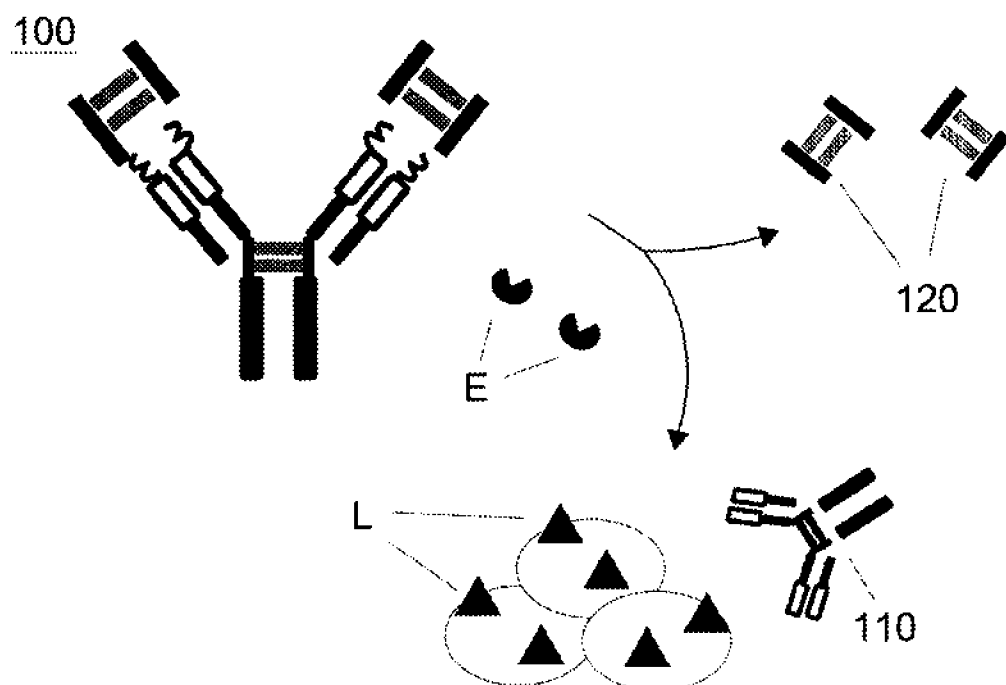
22. Молекула синтетической нуклеиновой кислоты по п. 11, которая содержит нуклеотидную последовательность, представляющую собой любую из SEQ ID Nos. 17 - 50.

23. Способ лечения рака или аутоиммунной болезни у субъекта, включающий введение субъекту терапевтически эффективного количества антитела с шарнирной областью по любому из п. п. 1 - 10.

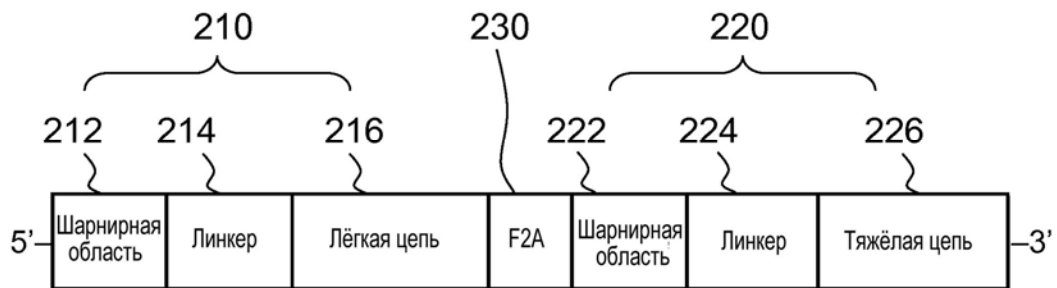
24. Способ по п. 23, в котором антитело с шарнирной областью вводят подкожно, перорально, внутривенно, внутритечально или внутримышечно.



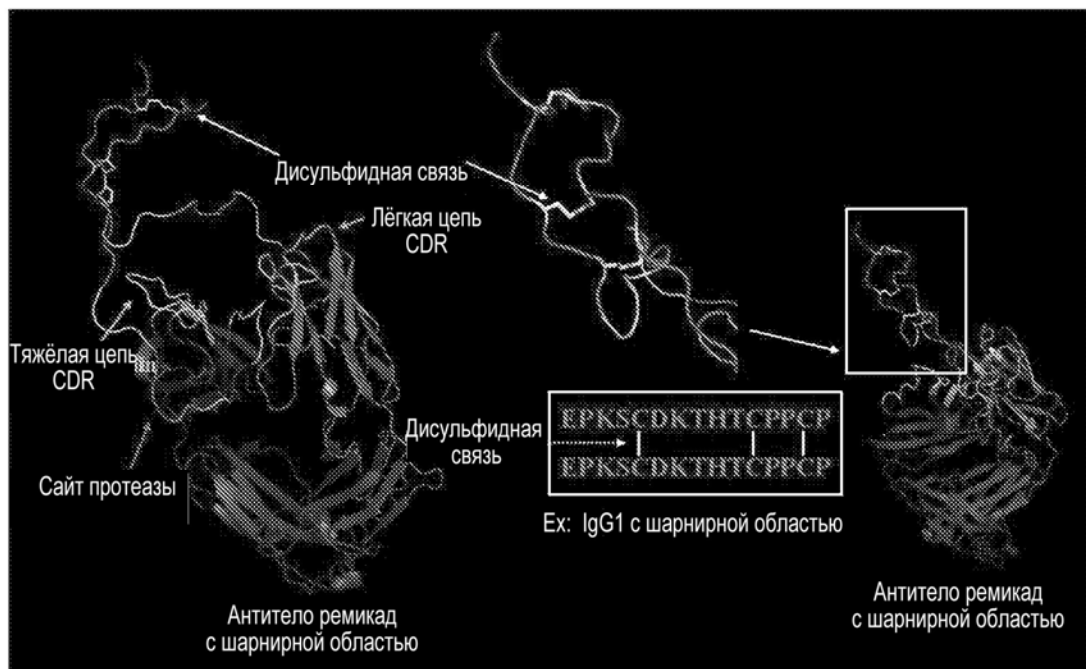
ФИГУРА 1



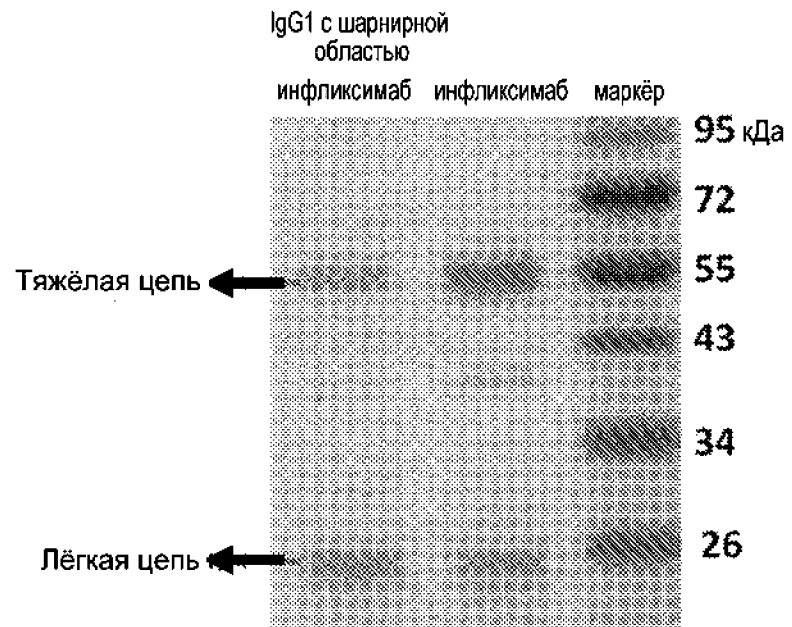
ФИГУРА 2



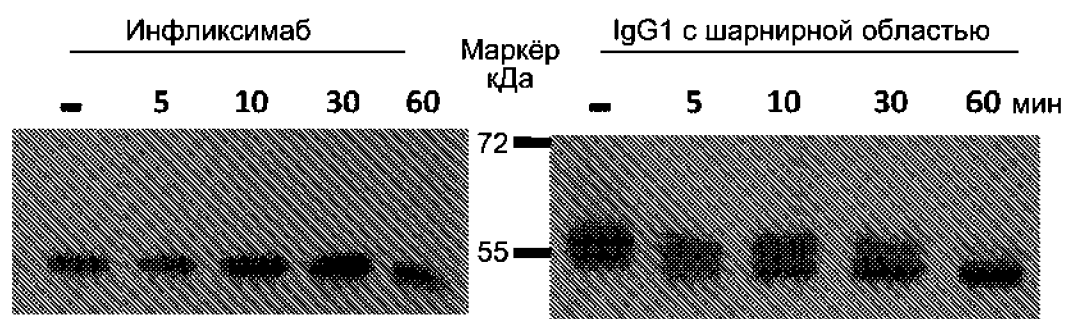
ФИГУРА 3



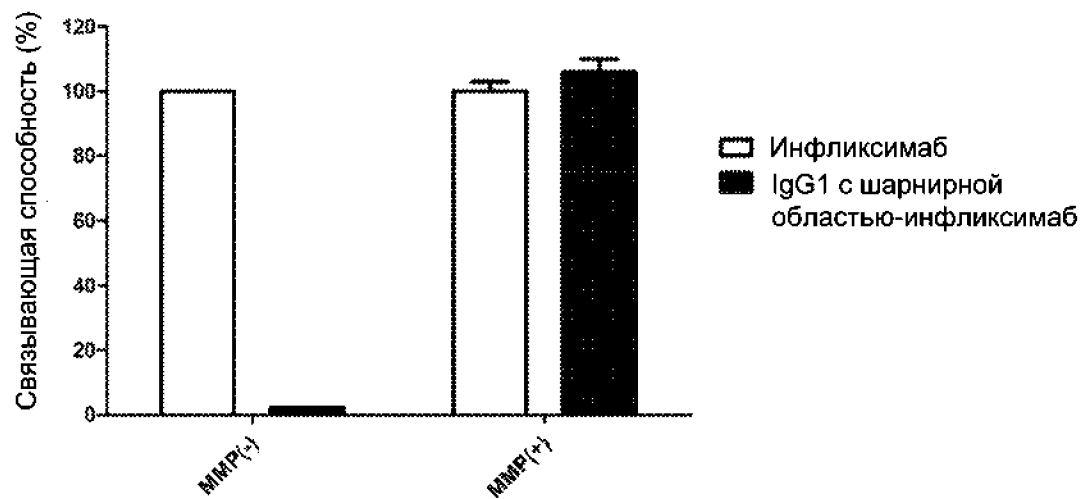
ФИГУРА 4



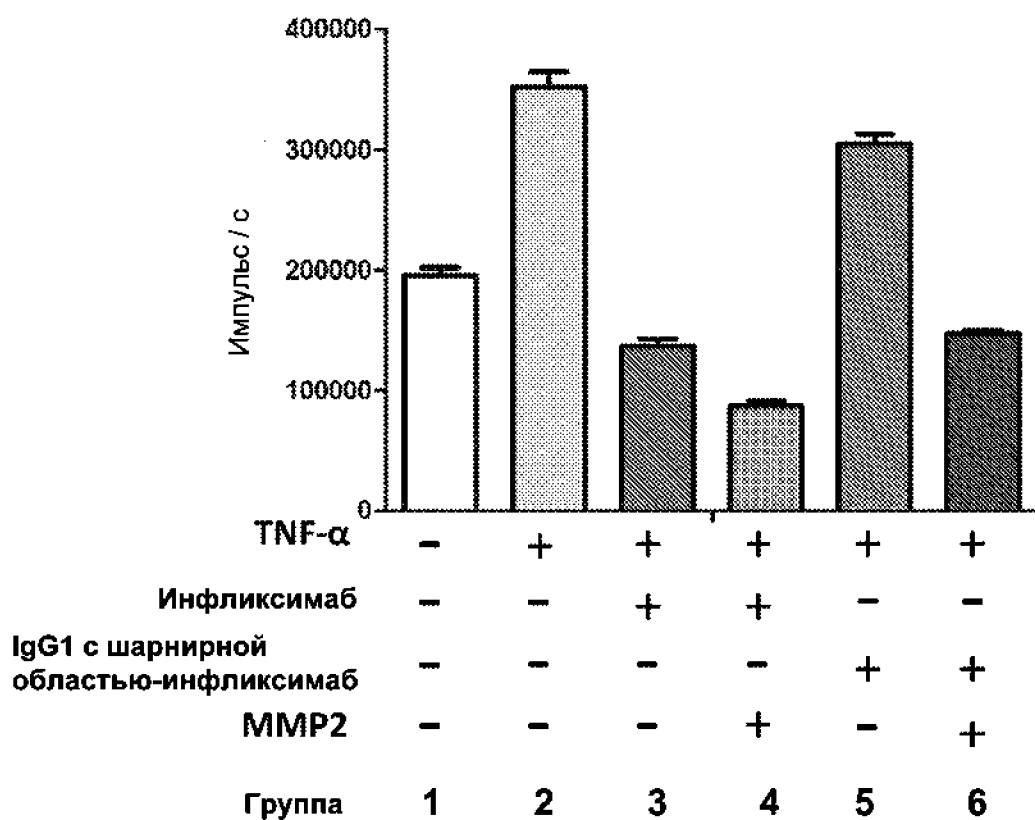
ФИГУРА 5



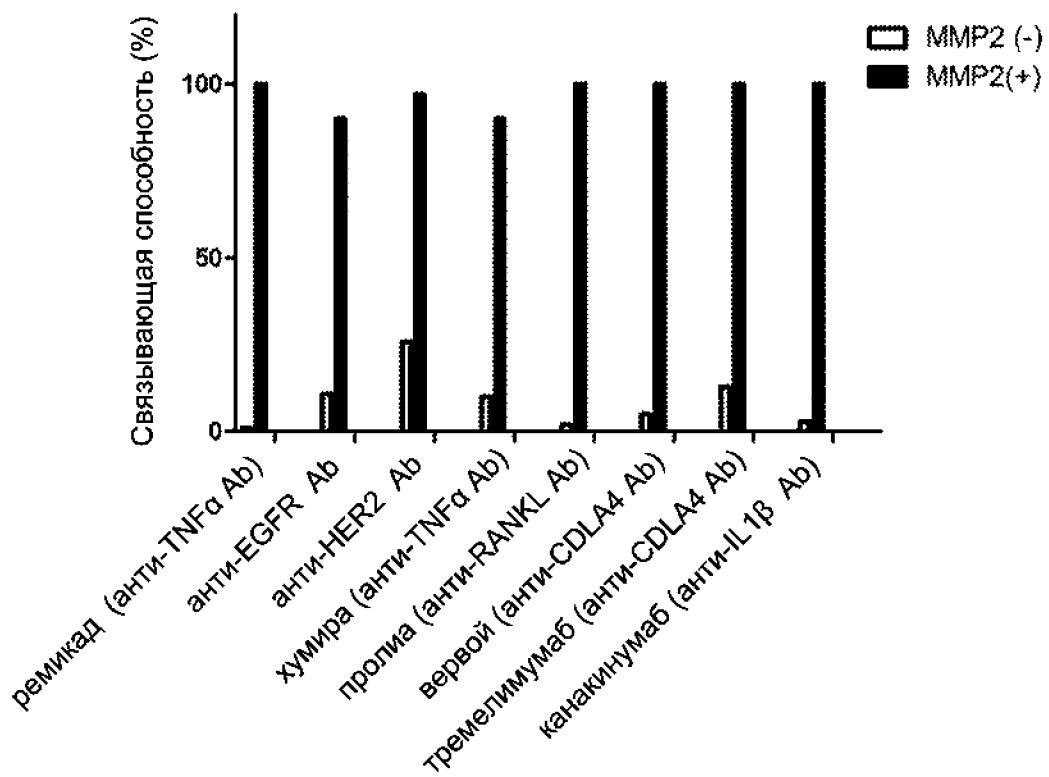
ФИГУРА 6



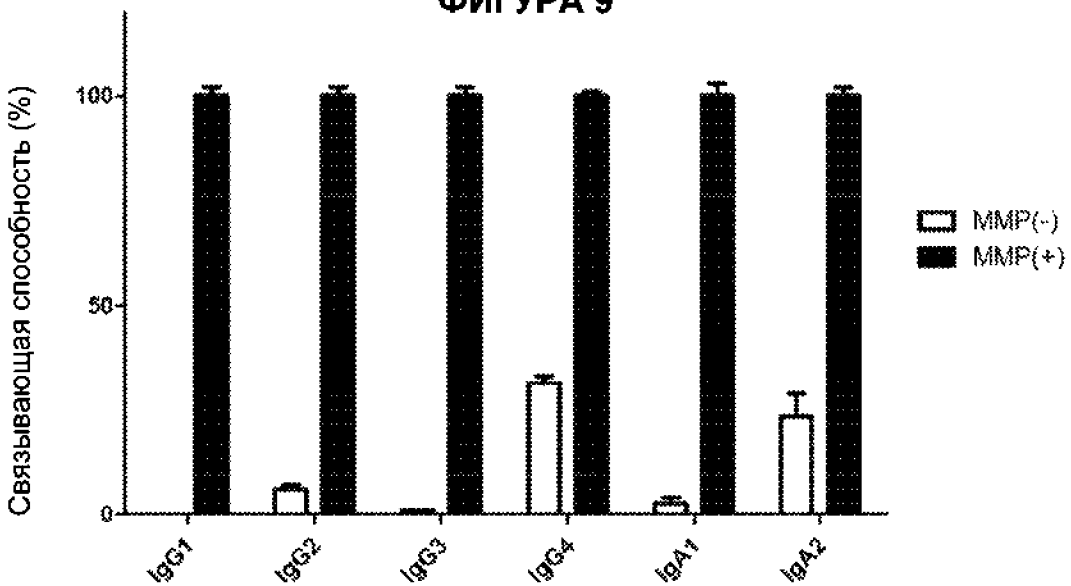
ФИГУРА 7



ФИГУРА 8

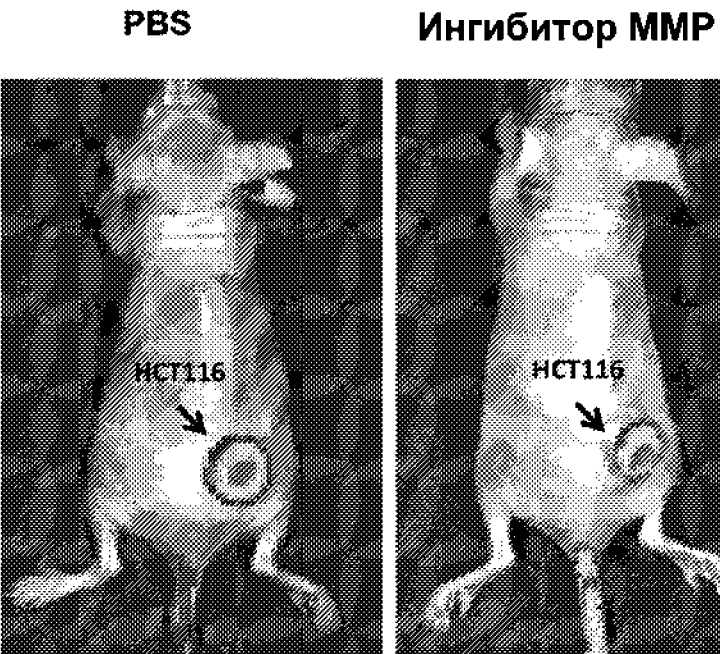


ФИГУРА 9

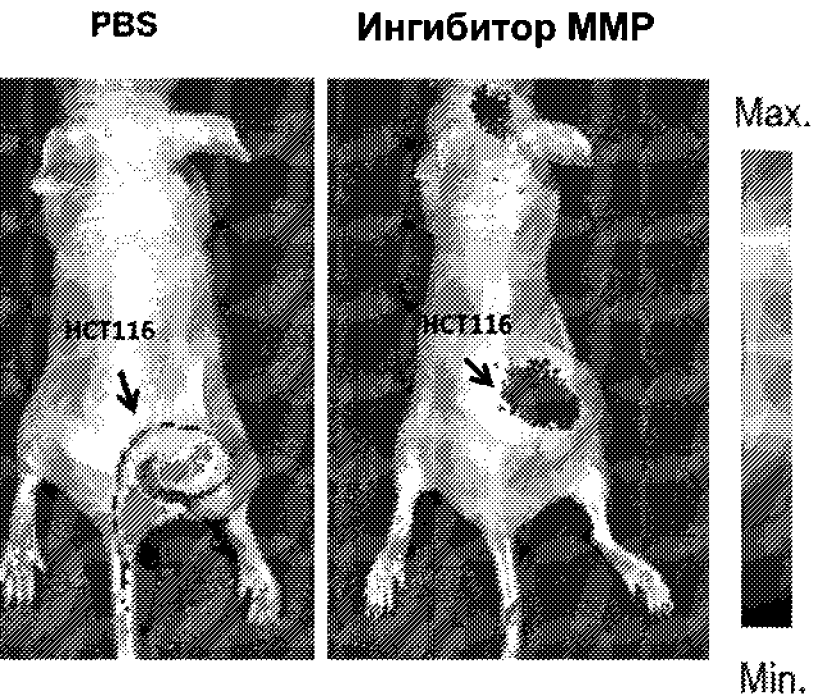


ФИГУРА 10

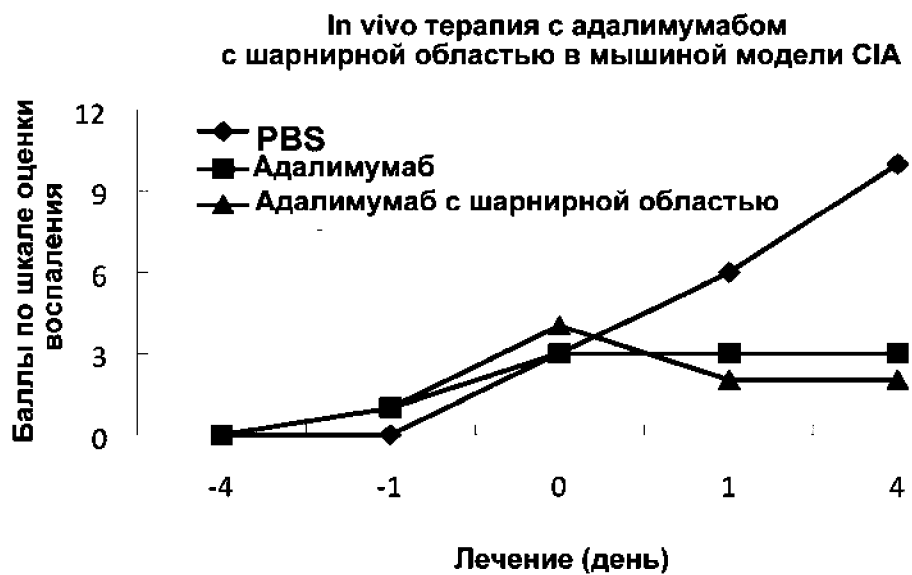
Анти- α EGFR антитело



Антитело к α EGFR с шарнирной областью



ФИГУРА 11



ФИГУРА 12